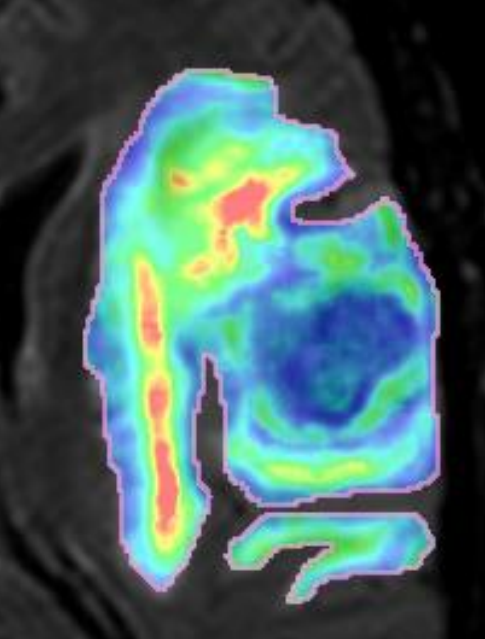






### Radiomique des Gliomes

Dissection des tumeurs par l'imagerie Avenir en clinique ?



David FADLI<sup>1</sup>

Pr. Vincent DOUSSET<sup>1,2</sup>, Pr. Thomas TOURDIAS<sup>1,2</sup>

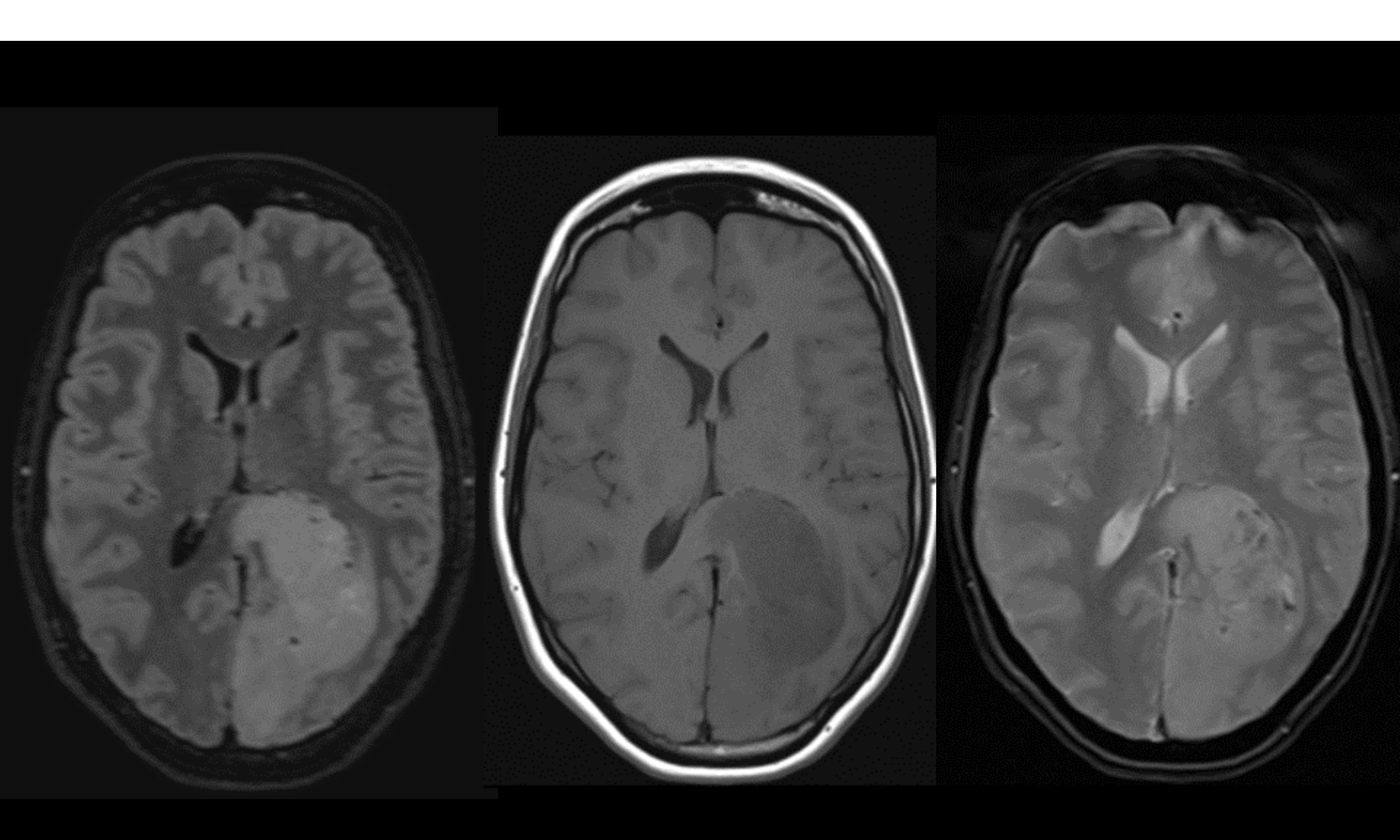
Dr. Patrice MENEGON<sup>1</sup>, Dr. Morgan OLLIVIER<sup>1</sup>

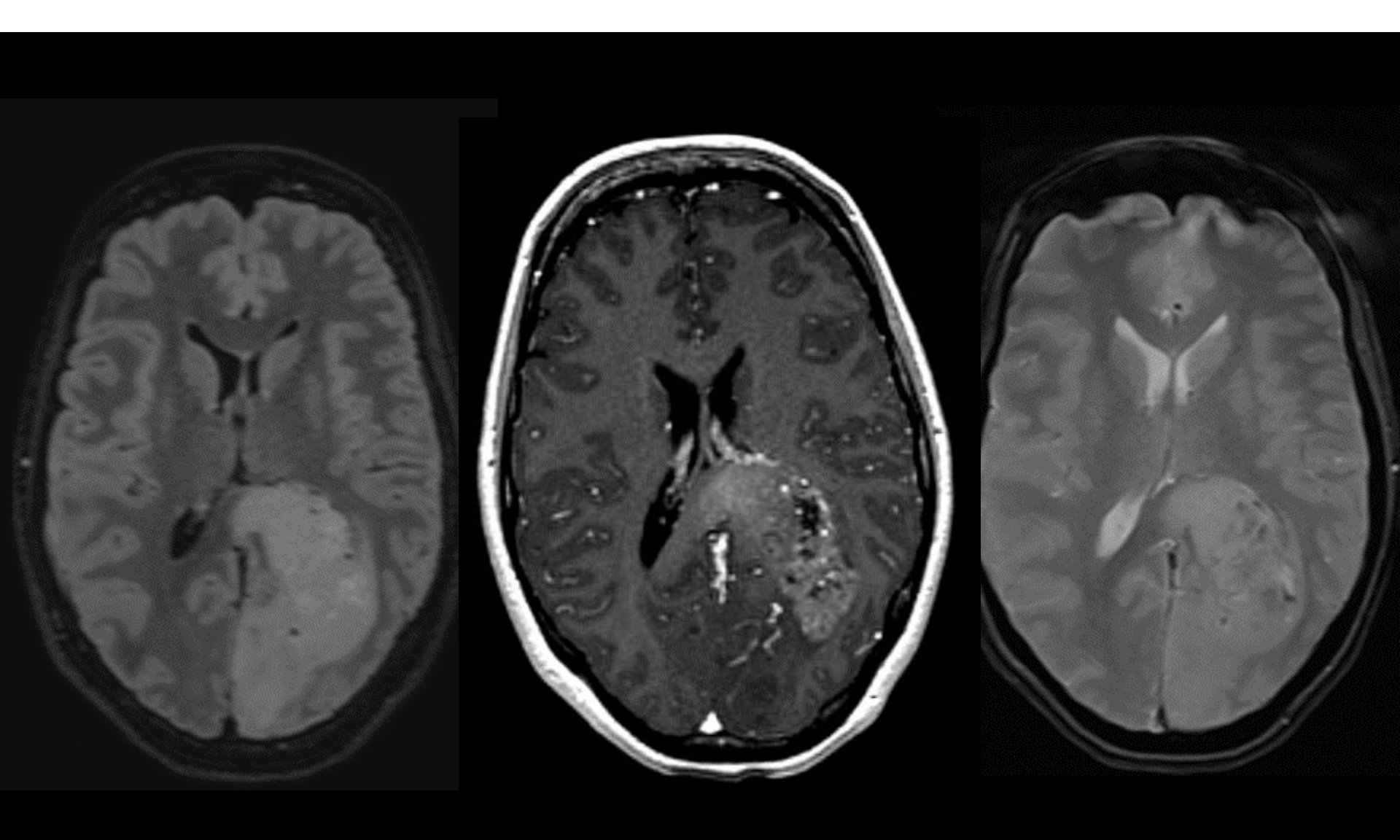
<sup>&</sup>lt;sup>1</sup> Service Neuroradiologie, CHU Bordeaux

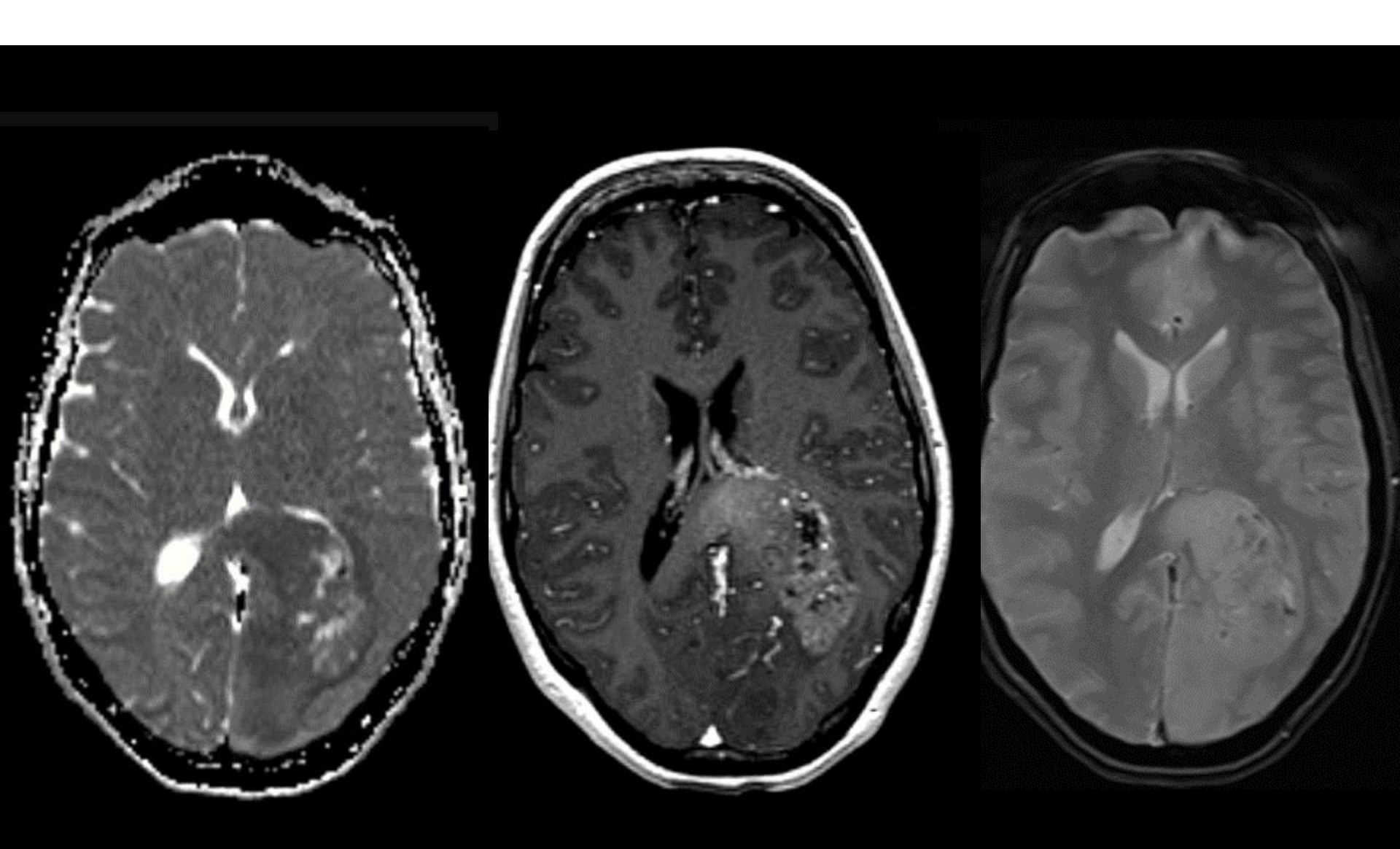
<sup>&</sup>lt;sup>2</sup> Institut de Biolmagerie, Université de Bordeaux

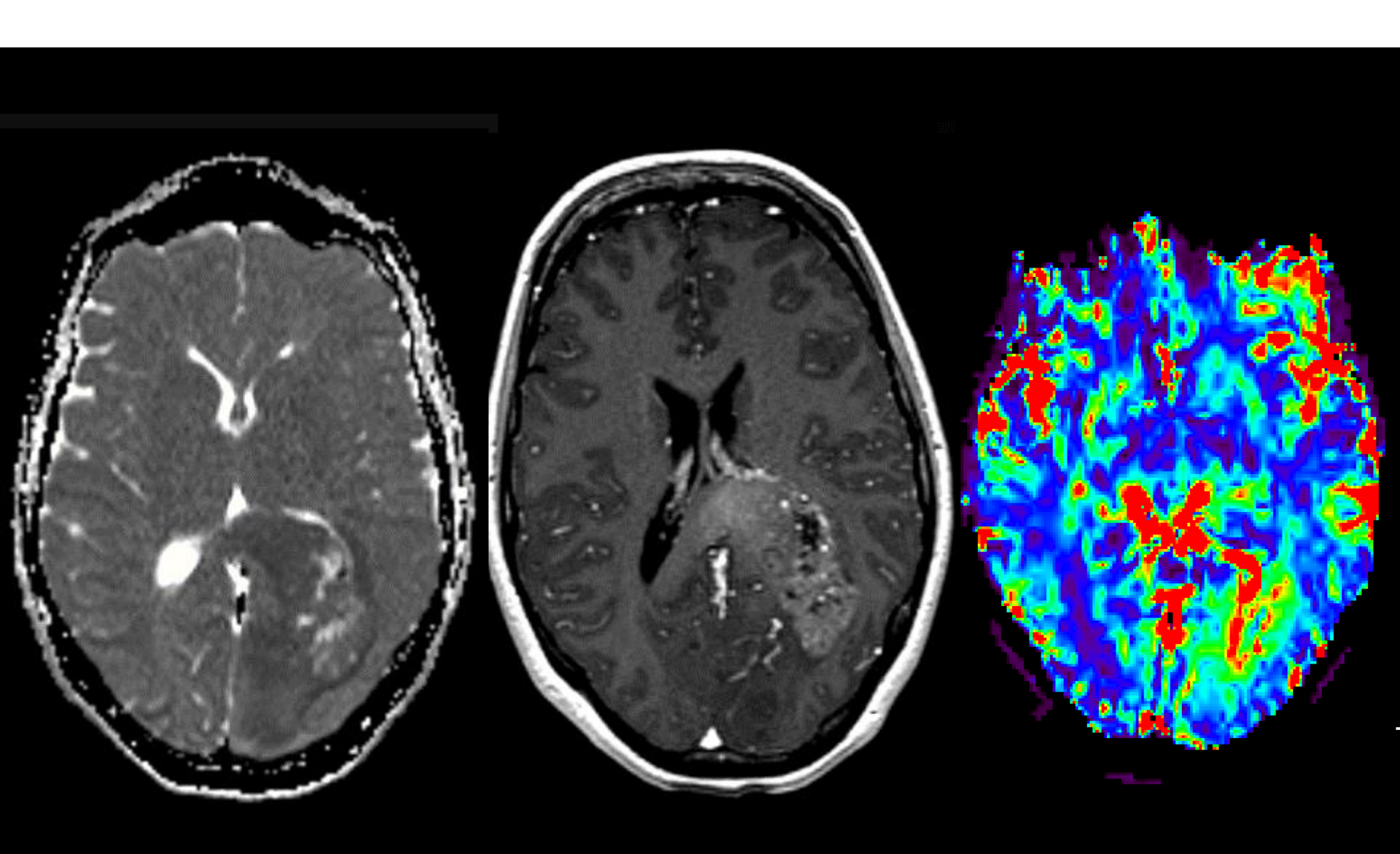
#### Sommaire

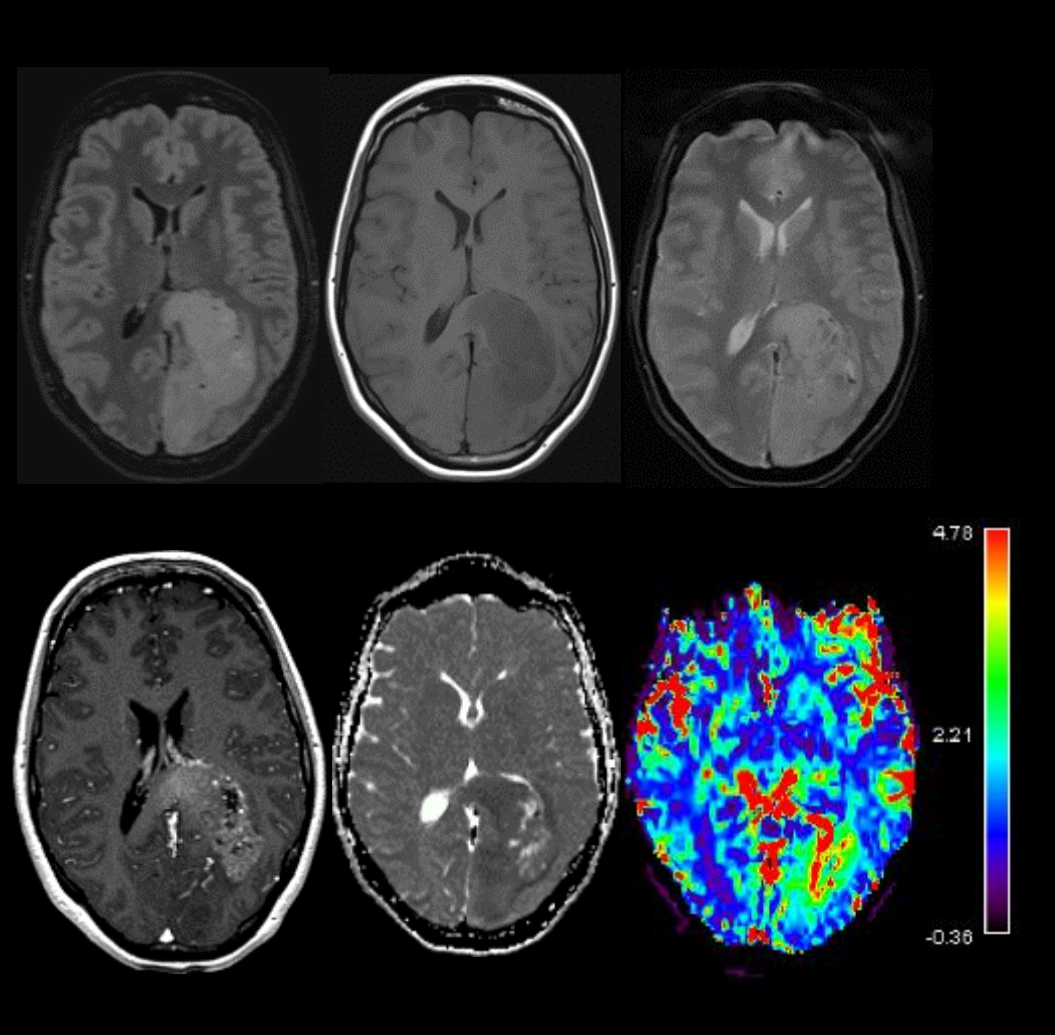
- Contextualisation & Définitions
- Recherche et applications en Neuro-Oncologie
- "Worklow": Limites et solutions
- Synthèse

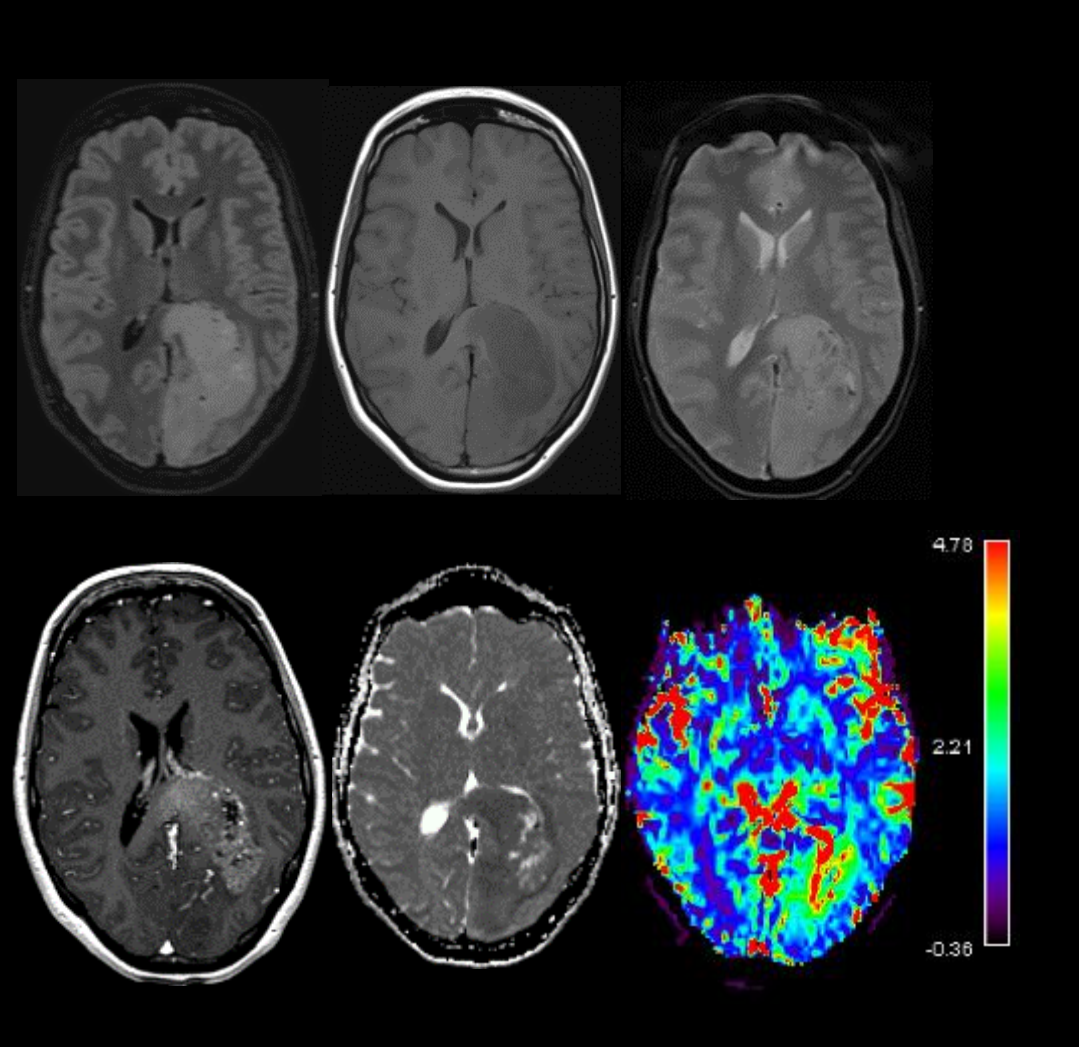


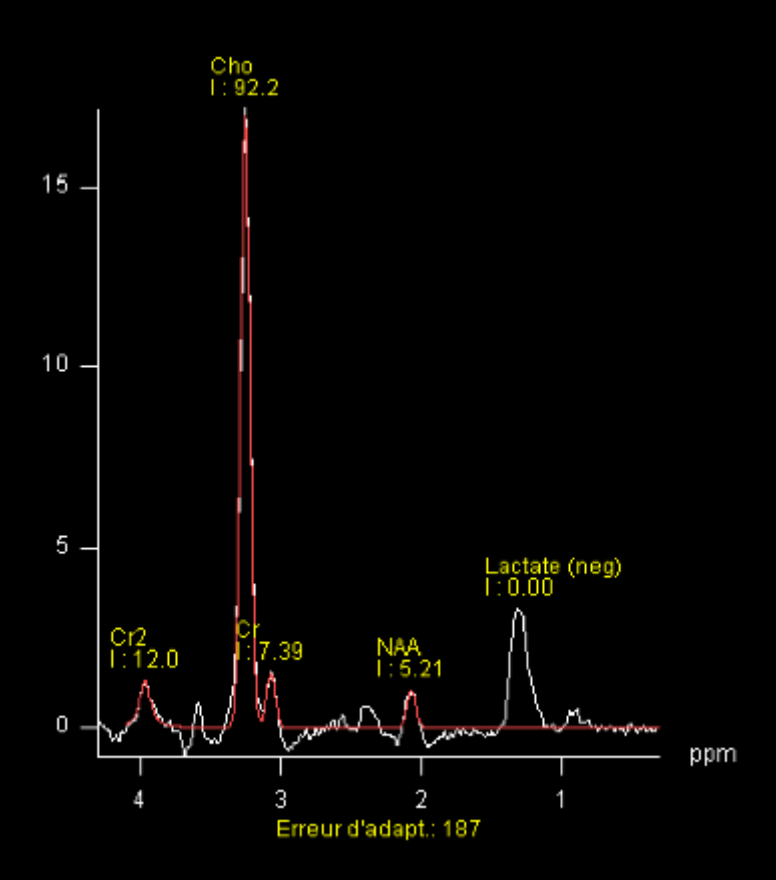


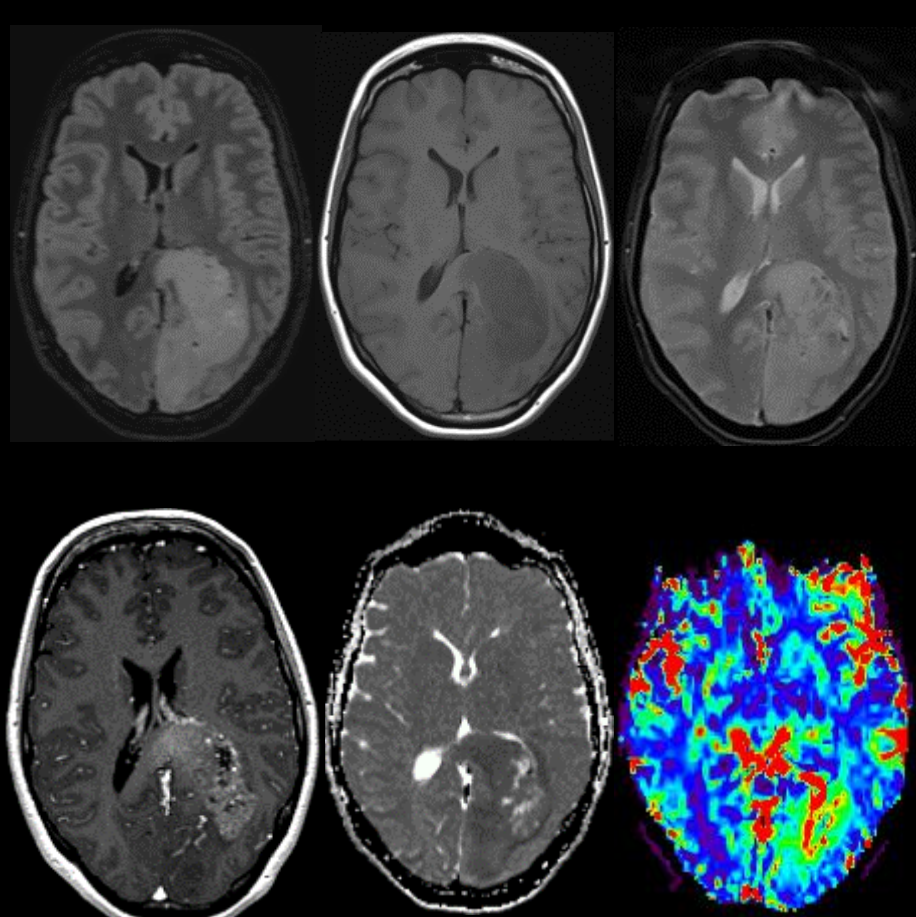












#### Résultat :

Lésion unique intra axiale bien limitée de contenu hétérogène cortico sous corticale développée aux dépens du lobe occipital gauche et se prolongeant jusqu'au contact du lobe pariétal et franchissant la ligne médiane par le splénium du corps calleux.

Cette lésion refoule les sillons corticaux adjacents ainsi que la corne occipitale du ventricule latéral gauche.

Cette lésion apparaît spontanément en hyposignal T1 en majorité avec quelques hypersignaux T1 et hyposignaux T2 en faveur de discrets remaniements hémorragiques au sein de celle-ci. Elle se rehausse de façon hétérogène après injection de produit de contraste avec quelques portions nécrotiques.

Sur les séquences de perfusion, il est visualisé une néo angiogénèse avec un rapport tumeur sur parenchyme sain estimé à 3.

Sur les séquences de diffusion, la lésion apparaît majoritairement en restriction de diffusion.

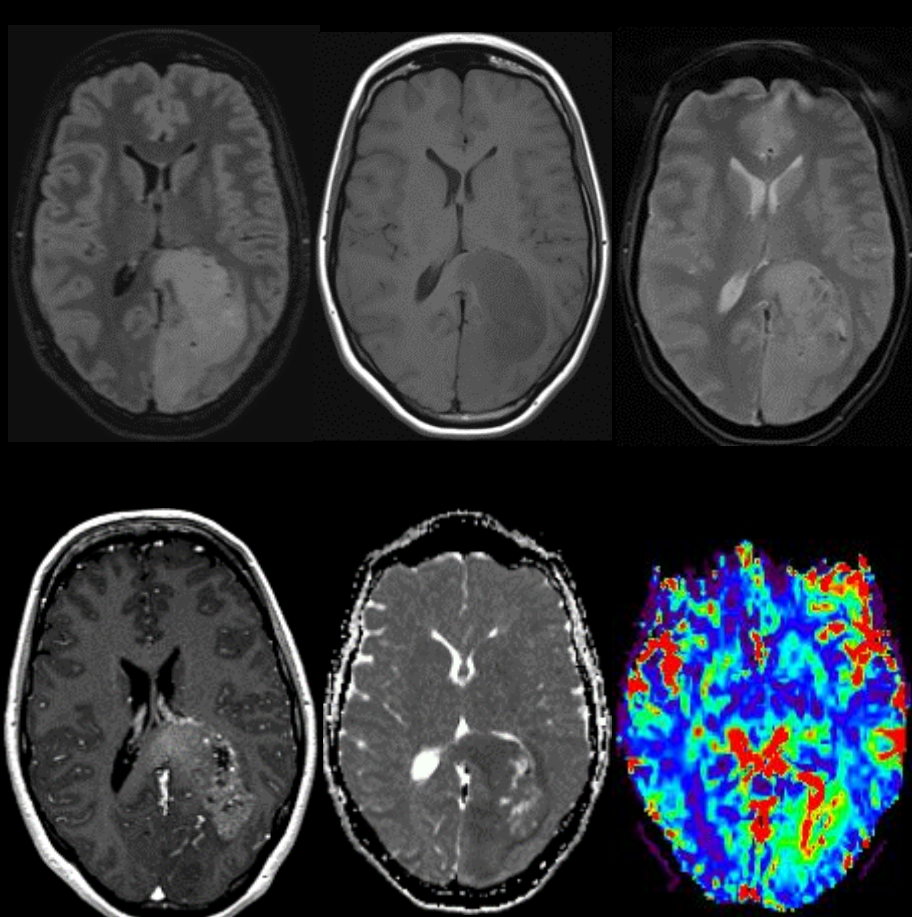
Sur l'analyse de la spectroscopie, on visualise un pic important de choline avec une inversion du rapport créatinine/choline et une diminution du NAA. Elles paraissent également augmentées au sein de la lésion.

On peut donc évoquer deux hypothèses :

- une tumeur de la ligne gliale, avec pour principaux arguments la néo angiogénèse, le caractère hétérogène et l'analyse de la spectroscopie.
- une pathologie lymphomateuse, avec pour principaux arguments la restriction de diffusion, et en défaveur de cette hypothèse, une néo angiogénèse, le caractère hétérogène et les remaniements hémorragiques.

#### Conclusion:

Lésion unique pariéto occipitale gauche prenant le contraste, plutôt d'allure gliale de haut grade, franchissant la ligne médiane par le splénium du corps calleux.



#### Résultat :

Lésion unique intra axiale bien limitée de contenu hétérogène cortico sous corticale développée aux dépens du lobe occipital gauche et se prolongeant jusqu'au contact du lobe pariétal et franchissant la ligne médiane par le splénium du corps calleux.

Cette lésion refoule les sillons corticaux adjacents ainsi que la corne occipitale du ventricule latéral gauche.

Cette lésion apparaît spontanément en hyposignal T1 en majorité avec quelques hypersignaux T1 et hyposignaux T2 en faveur de discrets remaniements hémorragiques au sein de celle-ci. Elle se rehausse de façon hétérogène après injection de produit de contraste avec quelques portions nécrotiques.

Sur les séquences de perfusion, il est visualisé une néo angiogénèse avec un rapport tumeur sur parenchyme sain estimé à 3.

Sur les séquences de diffusion, la lésion apparaît majoritairement en restriction de diffusion. Sur l'analyse de la spectroscopie, on visualise un pic important de choline avec une inversion du rapport créatinine/choline et une diminution du NAA. Elles paraissent également augmentées au sein de la lésion.

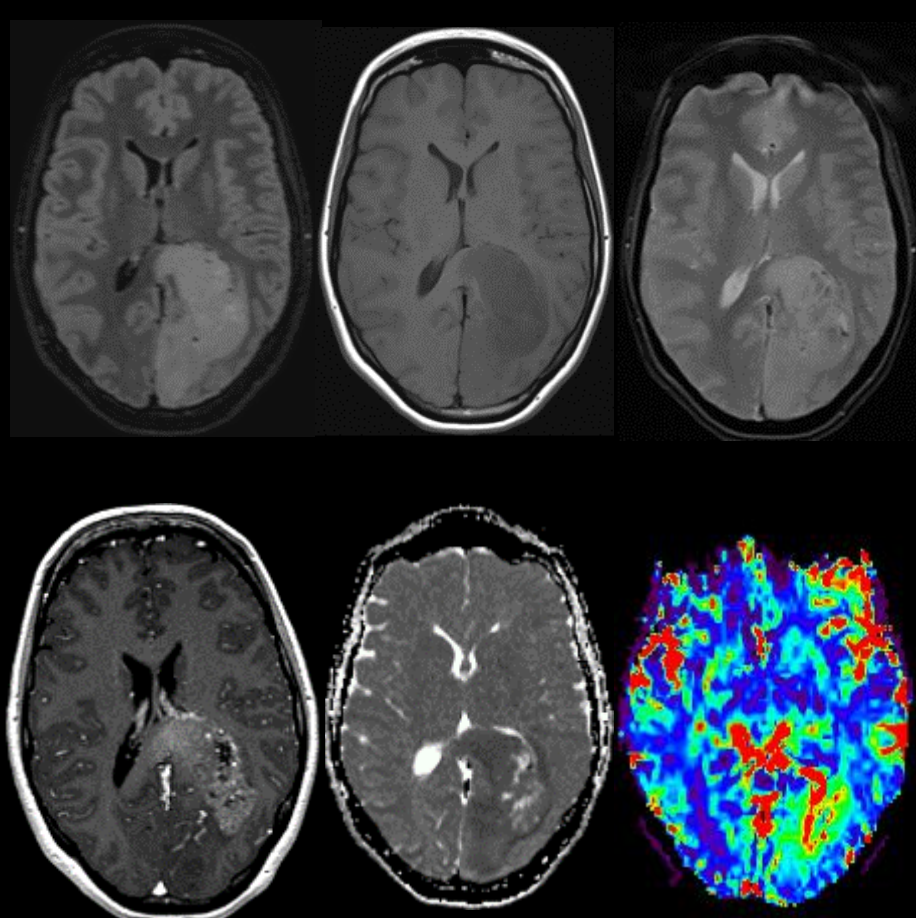
#### On peut donc évoquer deux hypothèses :

- une tumeur de la ligne gliale, avec pour principaux arguments la néo angiogénèse, le caractère hétérogène et l'analyse de la spectroscopie.
- une pathologie lymphomateuse, avec pour principaux arguments la restriction de diffusion, et en défaveur de cette hypothèse, une néo angiogénèse, le caractère hétérogène et les remaniements hémorragiques.

#### Conclusion :

Lésion unique pariéto occipitale gauche prenant le contraste, plutôt d'allure gliale de haut grade, franchissant la ligne médiane par le splénium du corps calleux.

#### Demain?!



#### Résultat :

Lésion unique intra axiale bien limitée de contenu hétérogène cortico sous corticale développée aux dépens du lobe occipital gauche et se prolongeant jusqu'au contact du lobe pariétal et franchissant la ligne médiane par le splénium du corps calleux.

Cette lésion refoule les sillons corticaux adjacents ainsi que la corne occipitale du ventricule latéral gauche.

Cette lésion apparaît spontanément en hyposignal T1 en majorité avec quelques hypersignaux T1 et hyposignaux T2 en faveur de discrets remaniements hémorragiques au sein de celle-ci. Elle se rehausse de façon hétérogène après injection de produit de contraste avec quelques portions nécrotiques.

Sur les séquences de perfusion, il est visualisé une néo angiogénèse avec un rapport tumeur sur parenchyme sain estimé à 3.

Sur les séquences de diffusion, la lésion apparaît majoritairement en restriction de diffusion. Sur l'analyse de la spectroscopie, on visualise un pic important de choline avec une inversion du rapport créatinine/choline et une diminution du NAA. Elles paraissent également augmentées au sein de la lésion.

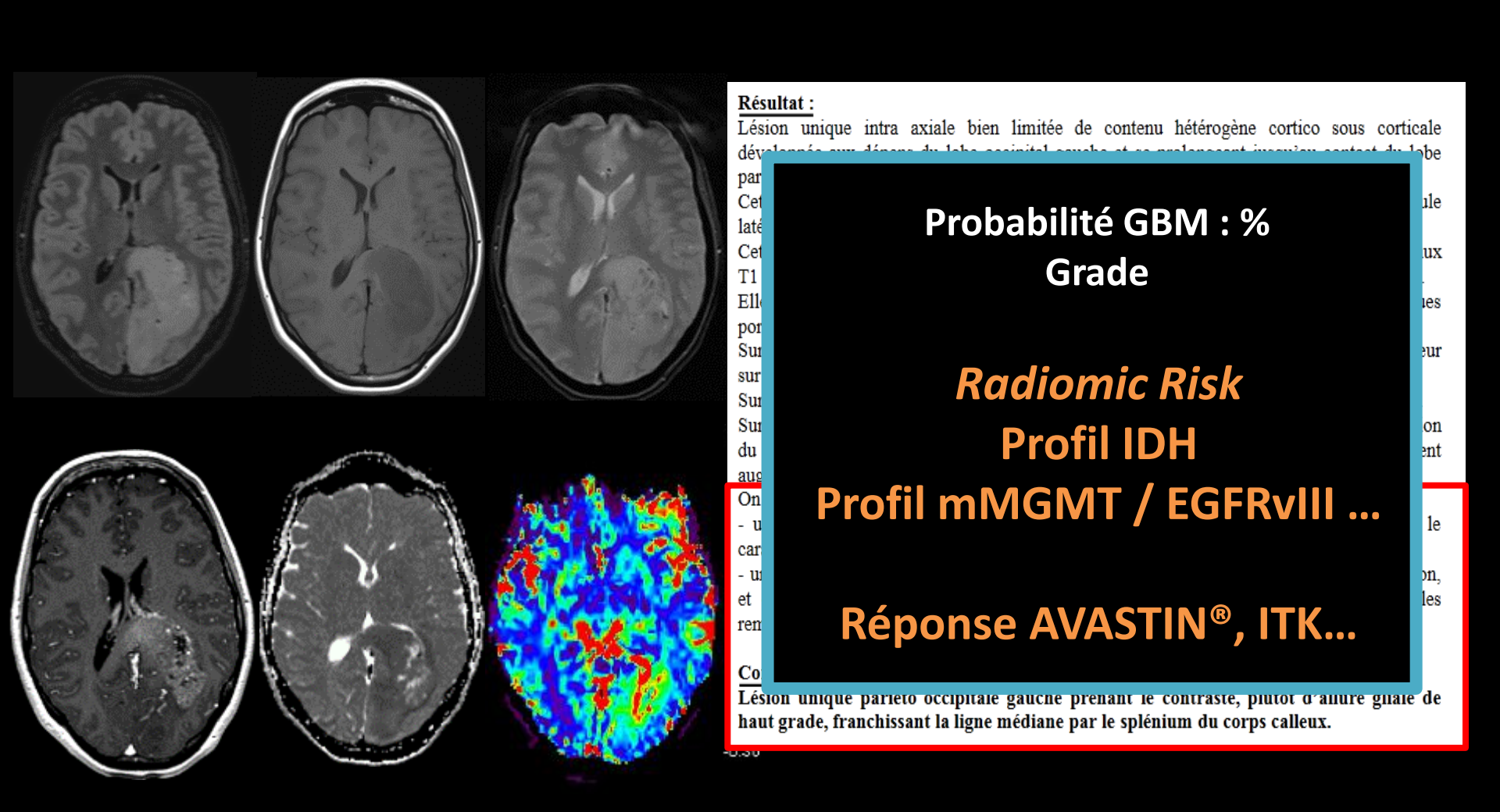
#### On peut donc évoquer deux hypothèses :

- une tumeur de la ligne gliale, avec pour principaux arguments la néo angiogénèse, le caractère hétérogène et l'analyse de la spectroscopie.
- une pathologie lymphomateuse, avec pour principaux arguments la restriction de diffusion, et en défaveur de cette hypothèse, une néo angiogénèse, le caractère hétérogène et les remaniements hémorragiques.

#### Conclusion:

Lésion unique pariéto occipitale gauche prenant le contraste, plutôt d'allure gliale de haut grade, franchissant la ligne médiane par le splénium du corps calleux.

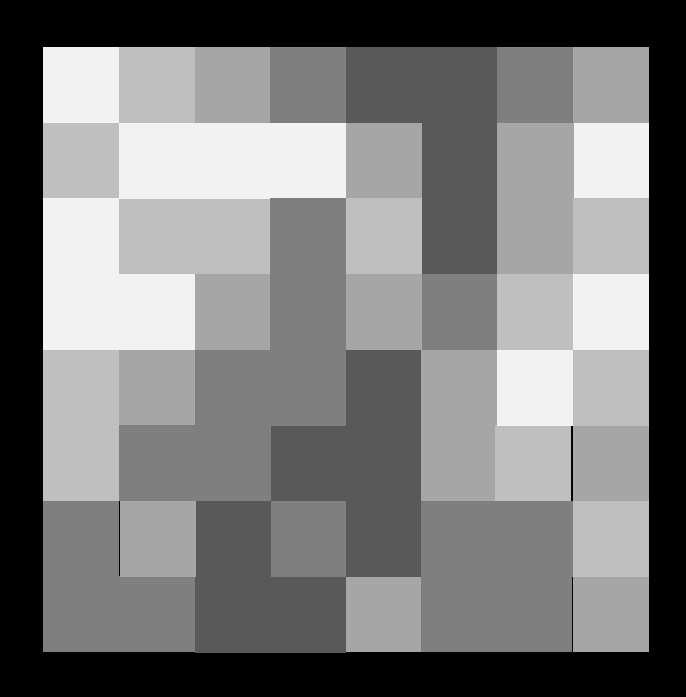
#### Demain?!

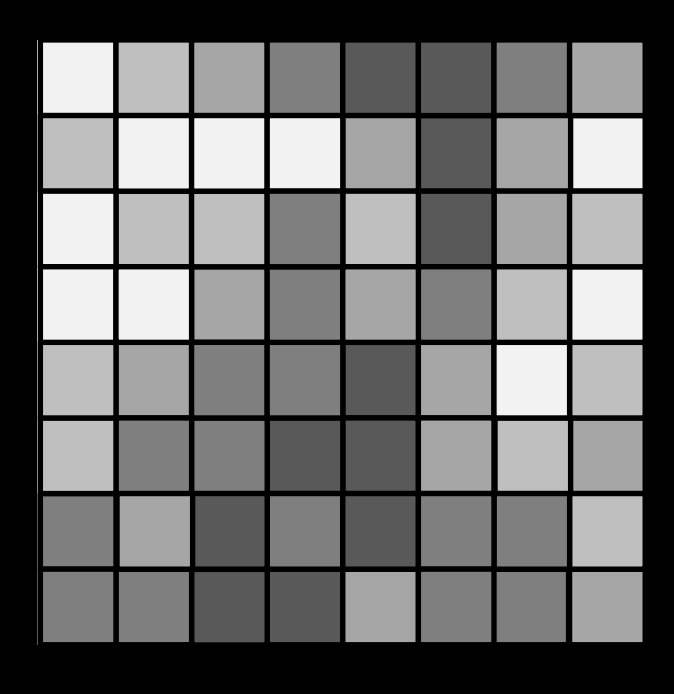


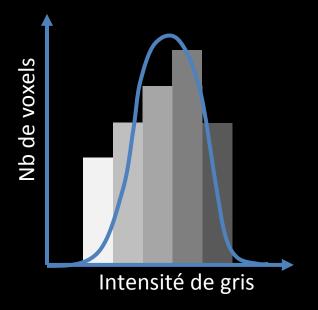
#### Généralités

#### -Omics

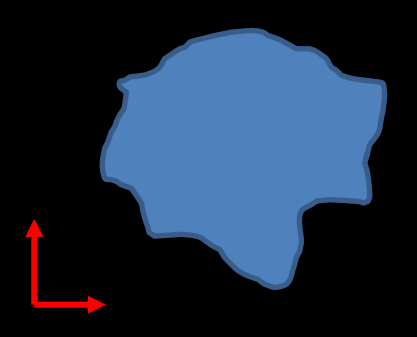
- Big Data
  - 1. Extraction grande quantité de données
  - 2. Traitement de l'information émission hypothèses
- Substratum physiopathologique ?
- Biomarqueur

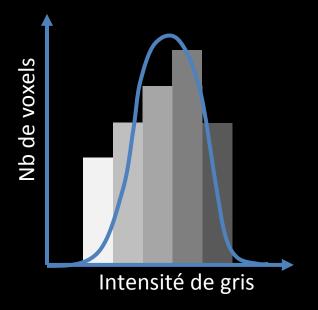




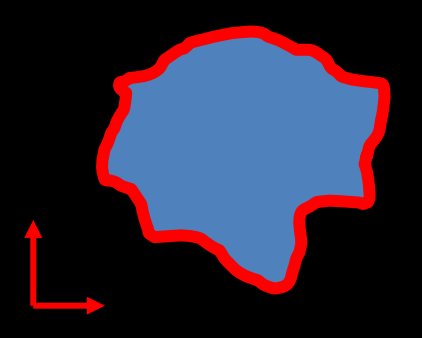


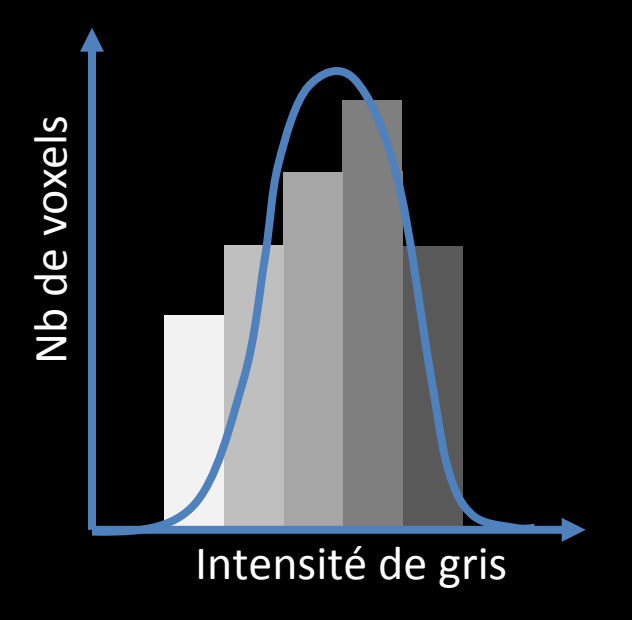
1	2	3	4	5	5	4	3
2	1	1	1	3	5	3	1
1	2	2	4	2	5	3	2
1	1	3	4	3	4	2	1
2	3	4	4	5	3	1	2
2	4	4	5	5	3	2	3
4	3	5	4	5	4	4	2
4	4	5	5	3	4	4	3



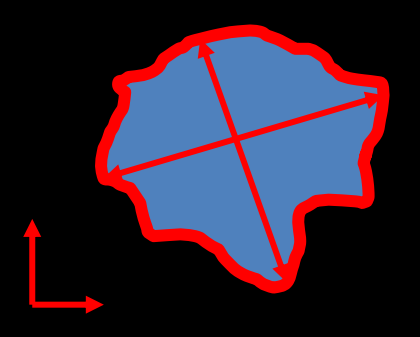


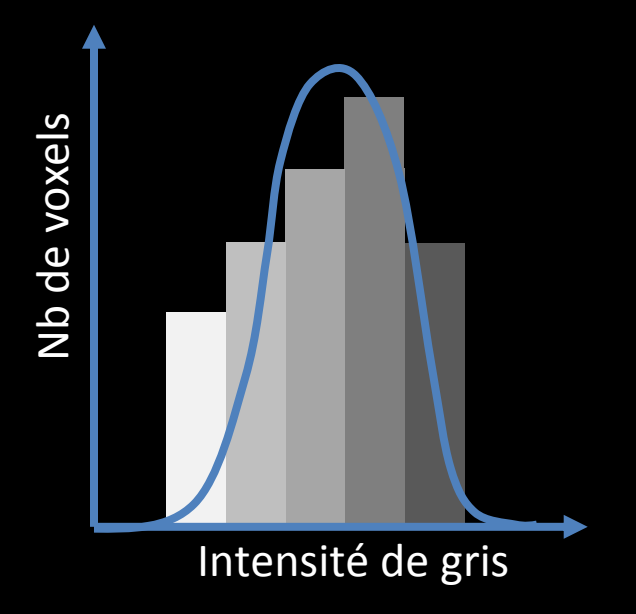
1	2	3	4	5	5	4	3
2	1	1	1	3	5	3	1
1	2	2	4	2	5	3	2
1	1	3	4	3	4	2	1
2	3	4	4	5	3	1	2
2	4	4	5	5	3	2	3
4	3	5	4	5	4	4	2
4	4	5	5	3	4	4	3



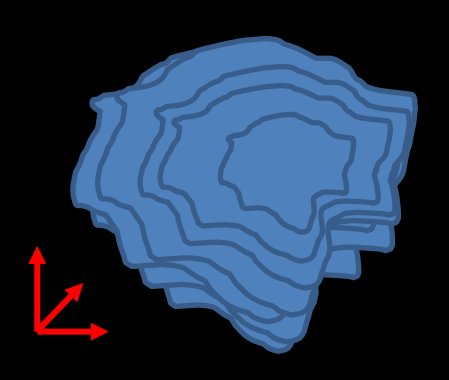


1	2	3	4	5	5	4	3
2	1	1	1	3	5	3	1
1	2	2	4	2	5	3	2
1	1	3	4	3	4	2	1
2	3	4	4	5	3	1	2
2	4	4	5	5	3	2	3
4	3	5	4	5	4	4	2
4	4	5	5	3	4	4	3

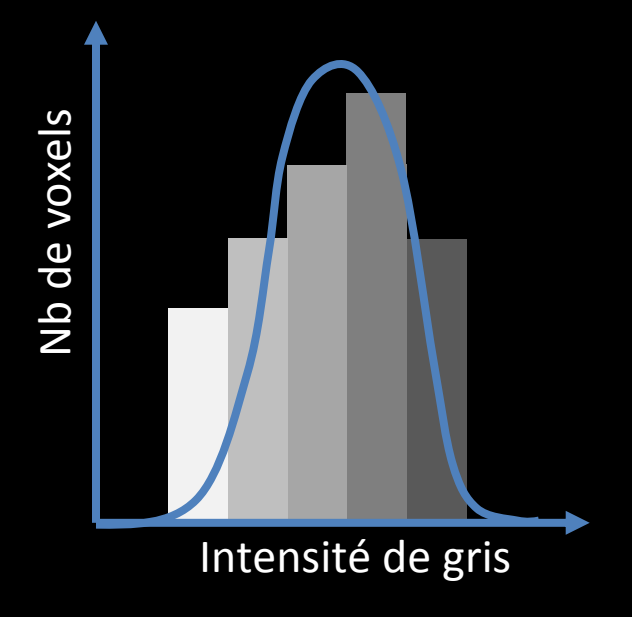




1	2	3	4	5	5	4	3
2	1	1	1	3	5	3	1
1	2	2	4	2	5	3	2
1	1	3	4	3	4	2	1
2	3	4	4	5	3	1	2
2	4	4	5	5	3	2	3
4	3	5	4	5	4	4	2
4	4	5	5	3	4	4	3

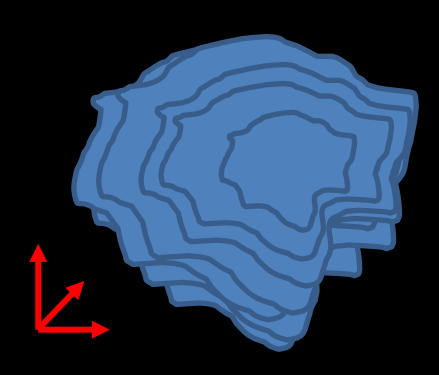


#### 1<sup>er</sup> Ordre

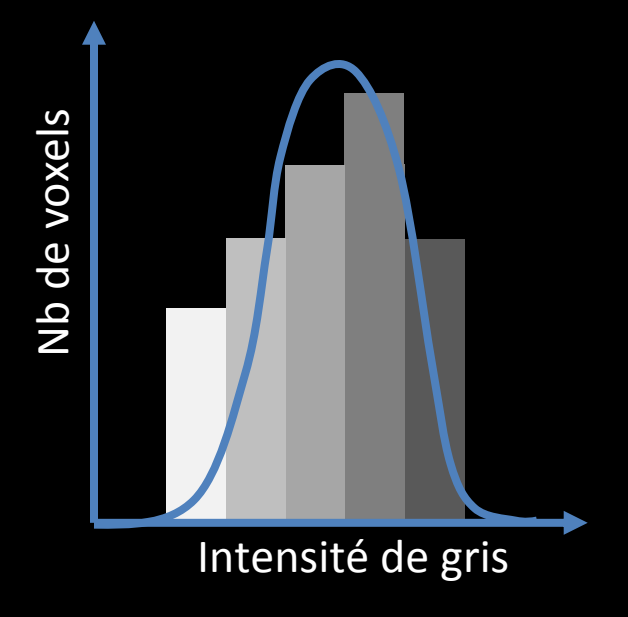


1	2	3	4	5	5	4	3
2	1	1	1	3	5	3	1
1	2	2	4	2	5	3	2
1	1	3	4	3	4	2	1
2	3	4	4	5	3	1	2
2	4	4	5	5	3	2	3
4	3	5	4	5	4	4	2
4	4	5	5	3	4	4	3

2<sup>e</sup> Ordre = TEXTURE

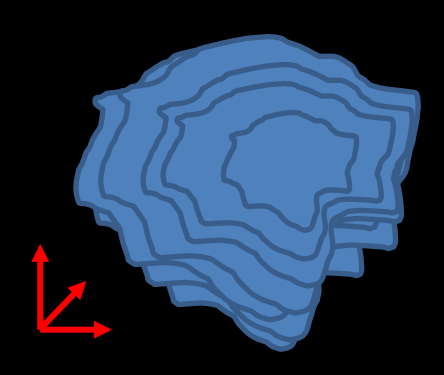


#### 1<sup>er</sup> Ordre

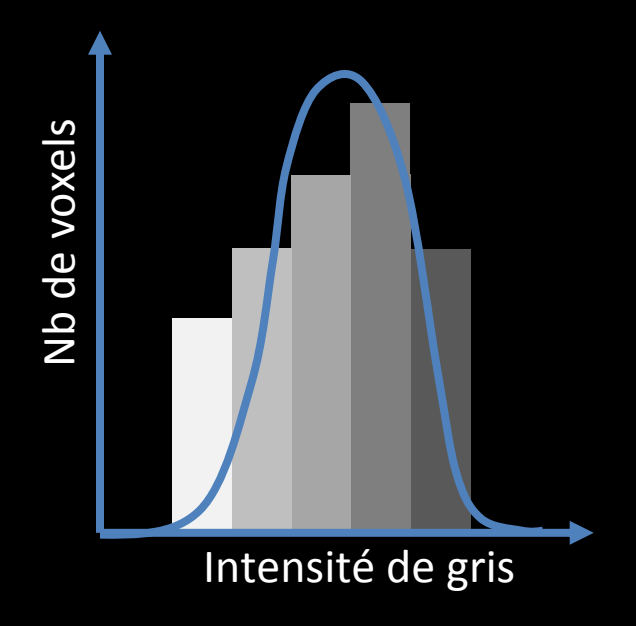


1	2	3	4	5	5	4	3
2	1	1	1	3	5	3	1
1	2	2	4	2	5	3	2
1	1	3	4	3	4	2	1
2	3	4	4	5	3	1	2
2	4	4	5	5	3	2	3
4	3	5	4	5	4	4	2
4	4	5	5	3	4	4	3

2<sup>e</sup> Ordre = TEXTURE



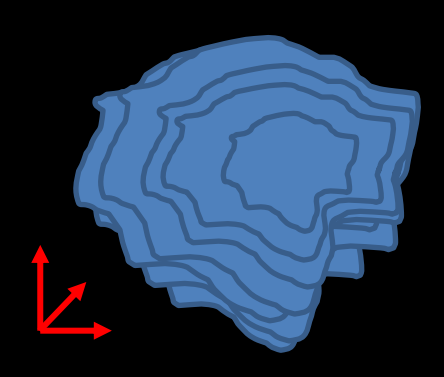
#### 1<sup>er</sup> Ordre



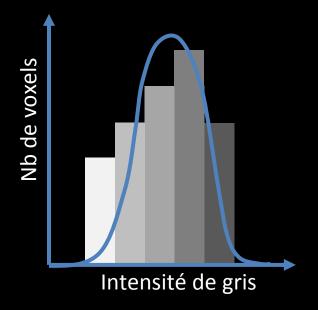
1	2	3	4	5	5	4	3
2	1	1	1	3	5	3	1
1	2	2	1	2	5	3	2
1	1	3	4	3	4	2	1
2	3	4	4	15	<b>€</b> >	1	2
2	4	/	5	5	3	2	3
4	3	5	4	5	4	4	2
4	4	5	5	3	4	4	3

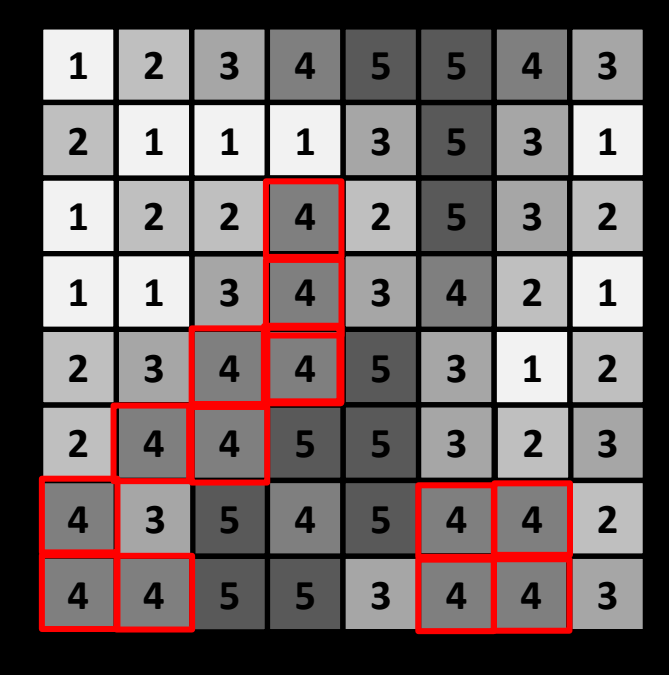
2<sup>e</sup> Ordre = TEXTURE

**GLCM** 



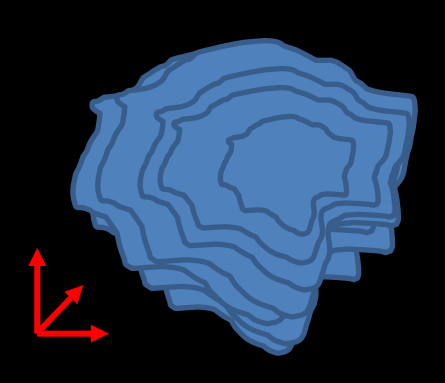
#### 1<sup>er</sup> Ordre



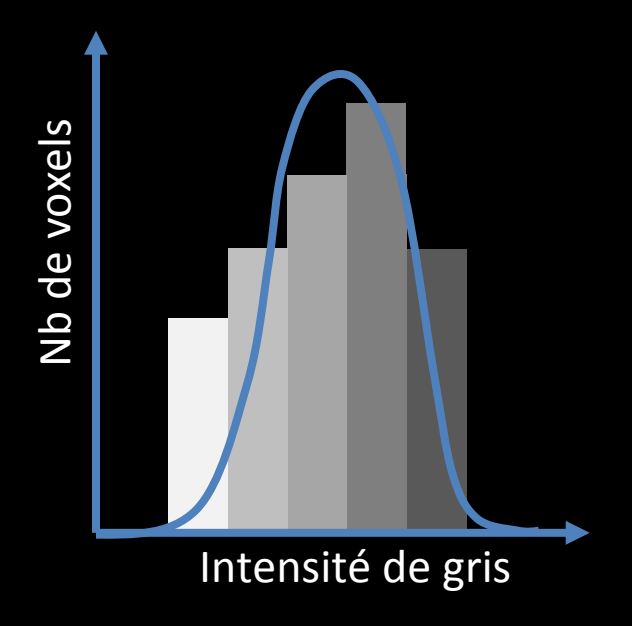


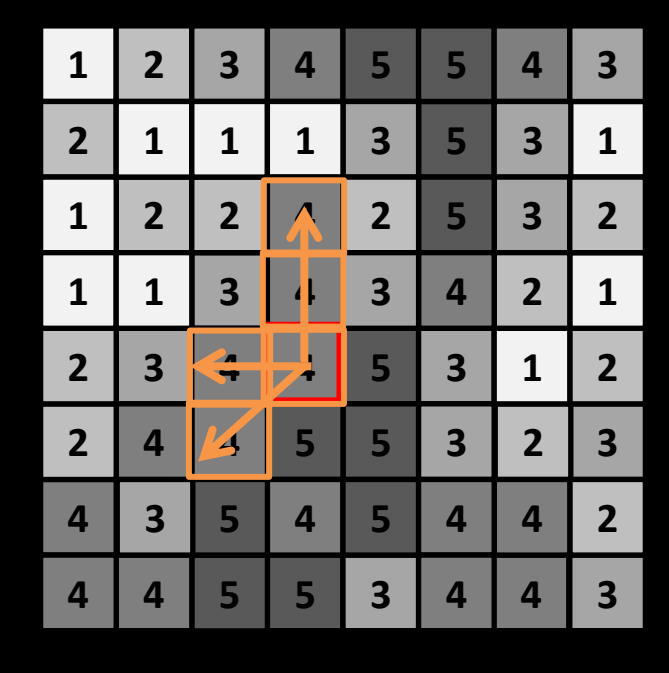
2<sup>e</sup> Ordre = TEXTURE

GLCM GLSZM



#### 1<sup>er</sup> Ordre



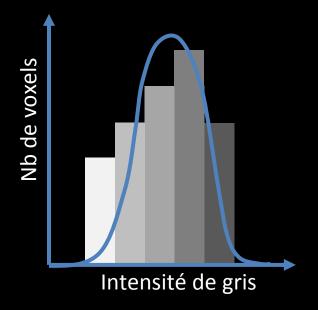


2<sup>e</sup> Ordre = TEXTURE

GLCM GLSZM GLRLM



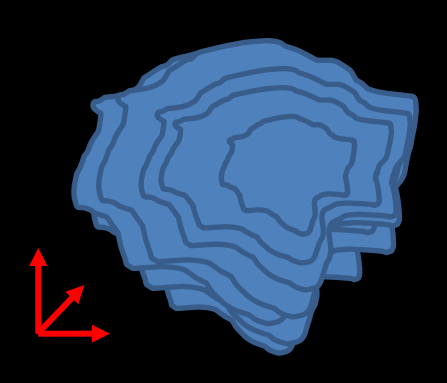
#### 1<sup>er</sup> Ordre



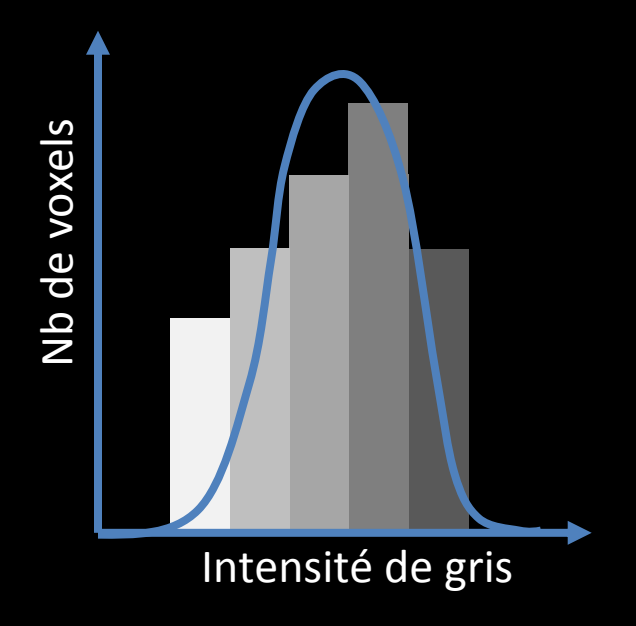
1	2	3	4	5	5	4	3
2	1	1	1	3	5	3	1
1	2	2	4	2	5	3	2
1	1	3	4	3	4	2	1
2	3	4	4	5	3	1	2
2	4	4	5	5	3	2	3
4	3	5	4	5	4	4	2
4	4	5	5	3	4	4	3

2<sup>e</sup> Ordre = TEXTURE

GLCM GLSZM GLRLM NGTDM



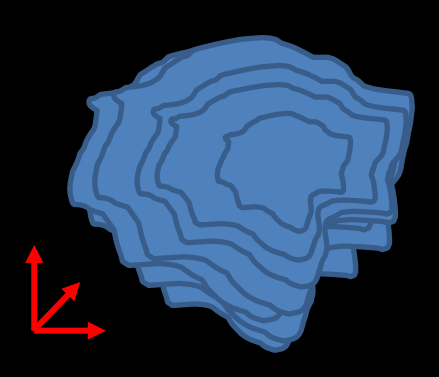
#### 1<sup>er</sup> Ordre



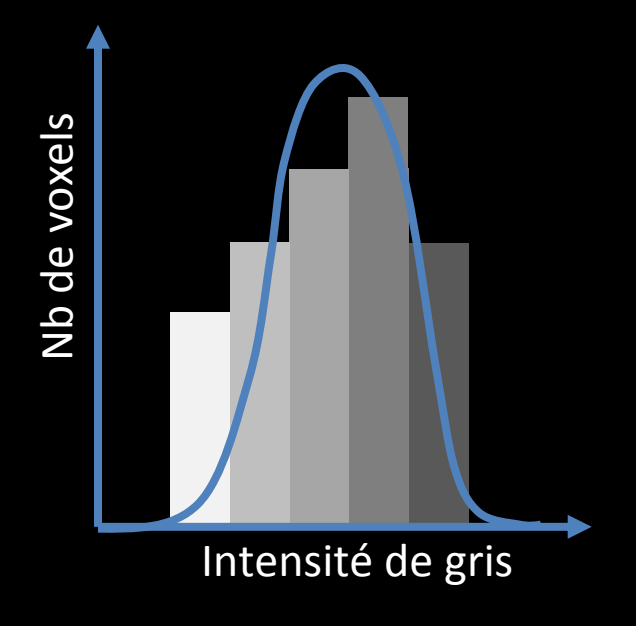
1	2	3	4	5	5	4	3
2	1	1	1	3	5	3	1
1	2	2	4	2	5	3	2
1	1	3	4	3	4	2	1
2	3	4	4	5	3	1	2
2	4	4	5	5	3	2	3
4	3	5	4	5	4	4	2
4	4	5	5	3	4	4	3

2<sup>e</sup> Ordre = TEXTURE

GLCM GLSZM GLRLM NGTDM GLDM



#### 1<sup>er</sup> Ordre



1	2	3	4	5	5	4	3
2	1	1	1	3	5	3	1
1	2	2	4	2	5	3	2
1	1	3	4	3	4	2	1
2	3	4	4	5	3	1	2
2	4	4	5	5	3	2	3
4	3	5	4	5	4	4	2
4	4	5	5	3	4	4	3

2<sup>e</sup> Ordre = TEXTURE

GLCM GLSZM GLRLM NGTDM GLDM



**Ordre Supérieur** 

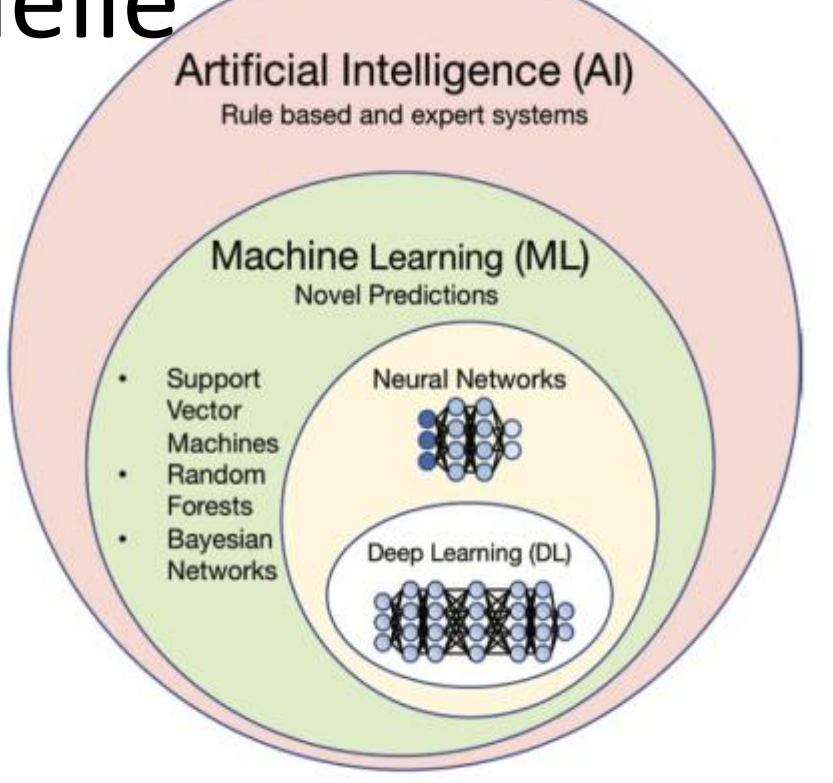
"Intelligence Artificielle"

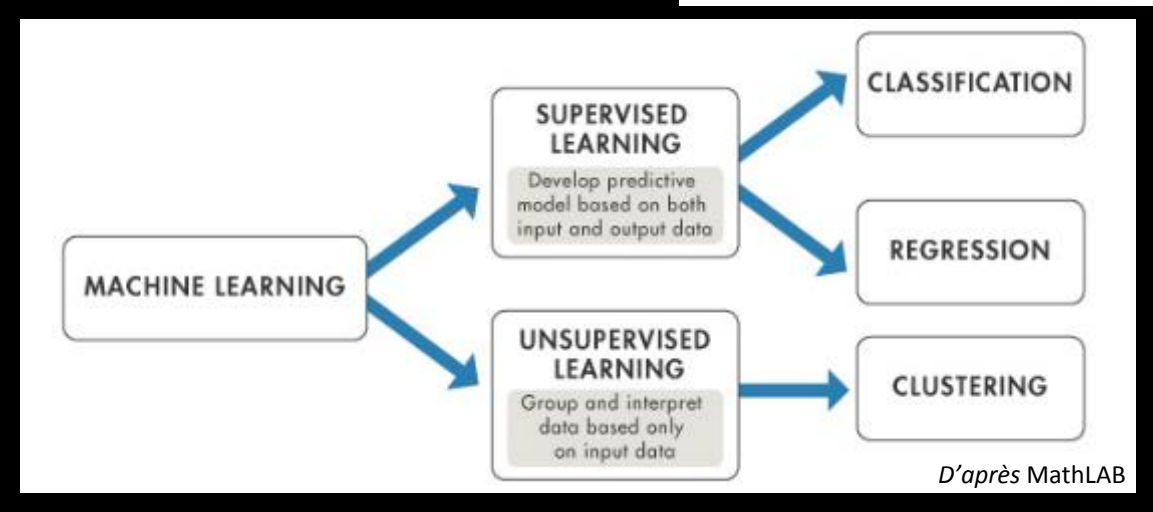
Rudie et al. 2019

Intelligence « Faible »

#### **Machine Learning**

- Ground truth label
- Supervisés vs Non supervisés
- Algorithmes de classification ++
- Training vs Validation sets



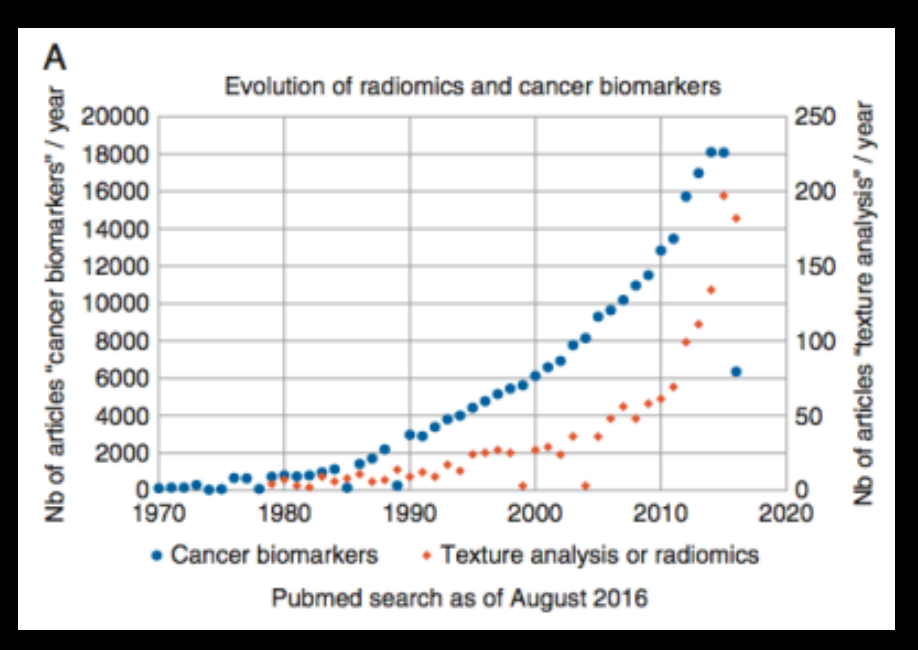


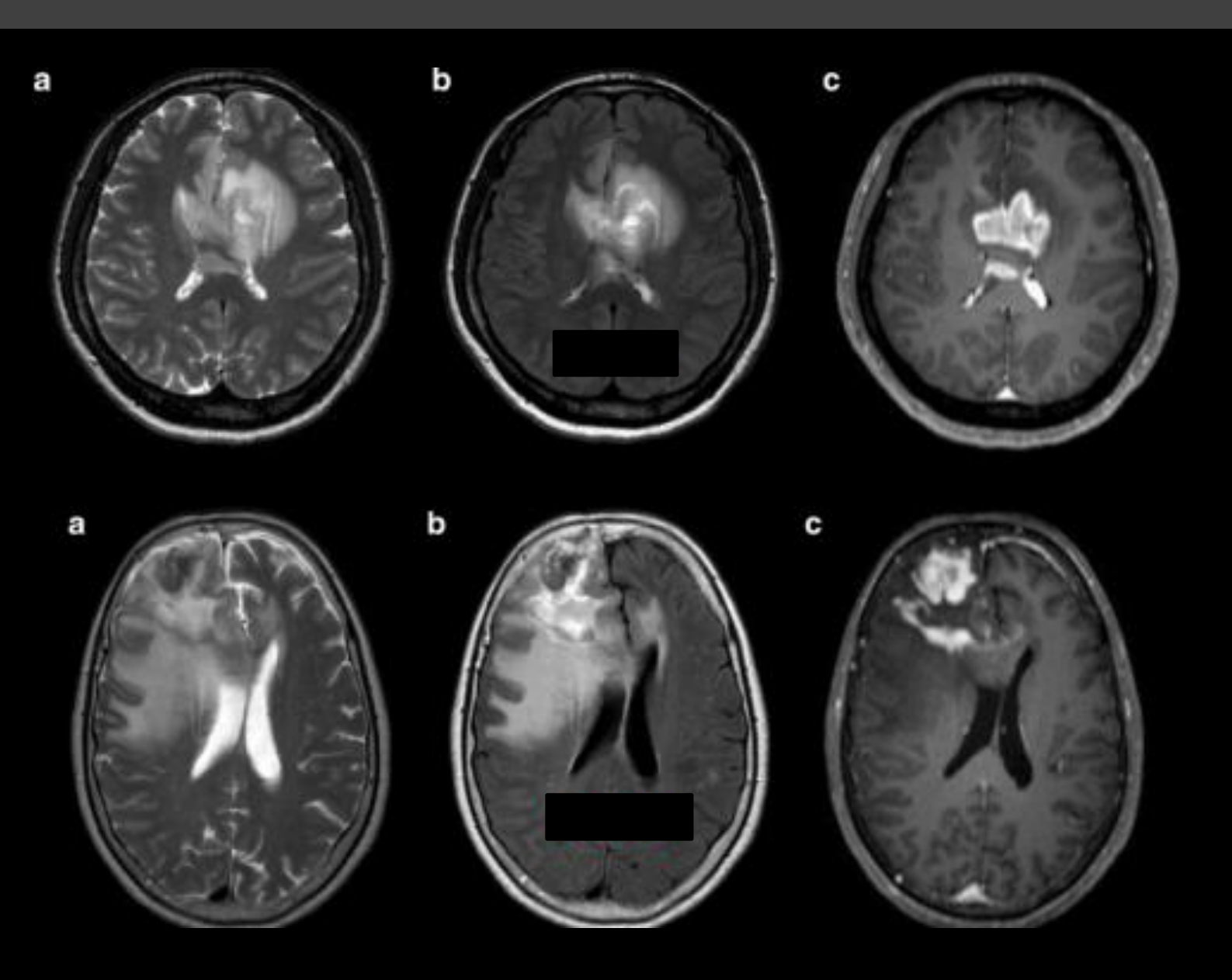
#### Sommaire

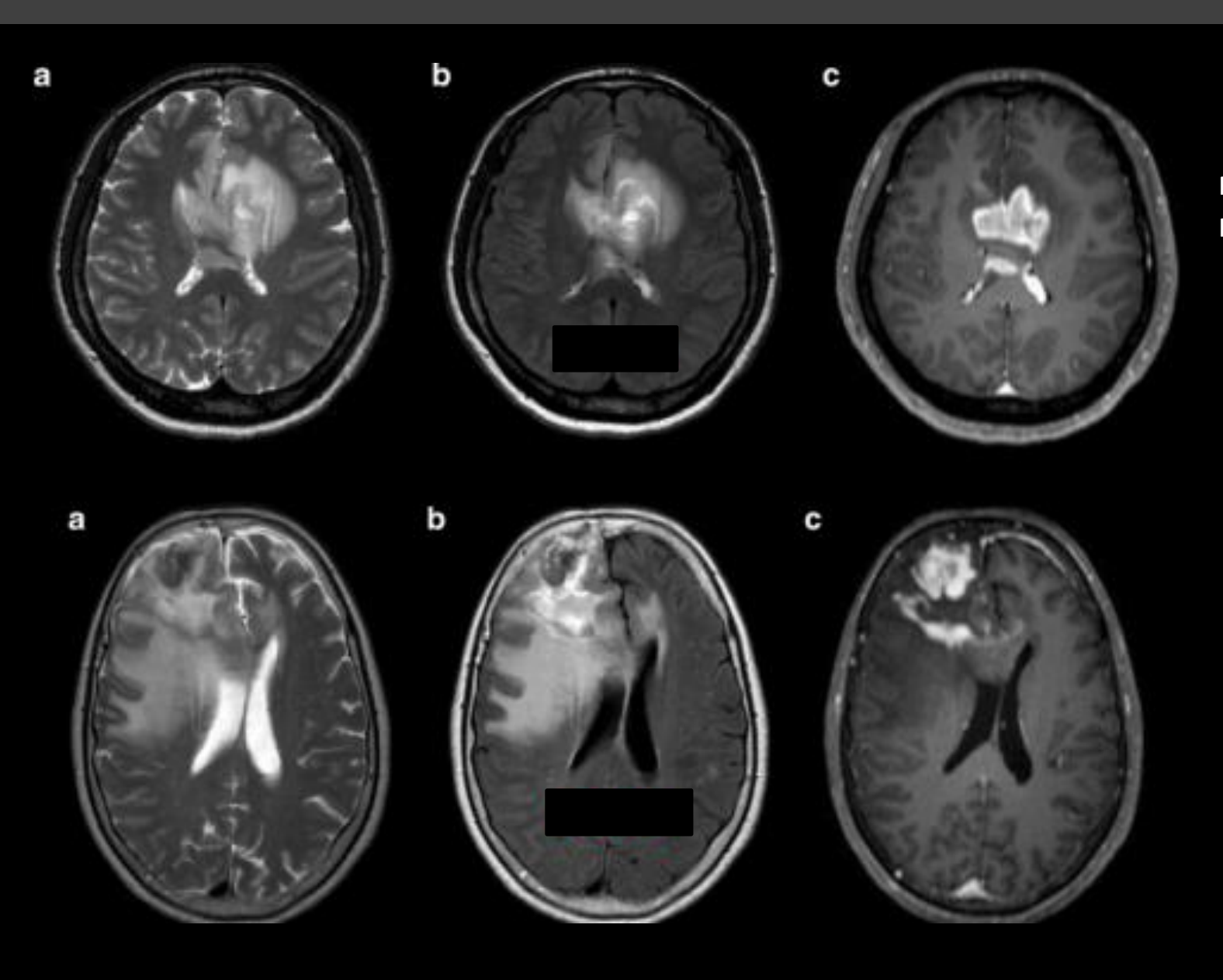
- Contextualisation & Définitions
- Recherche et applications en Neuro-Oncologie
- "Worklow": Limites et solutions
- Synthèse

### "Etat de l'art" en Neuro-Oncologie

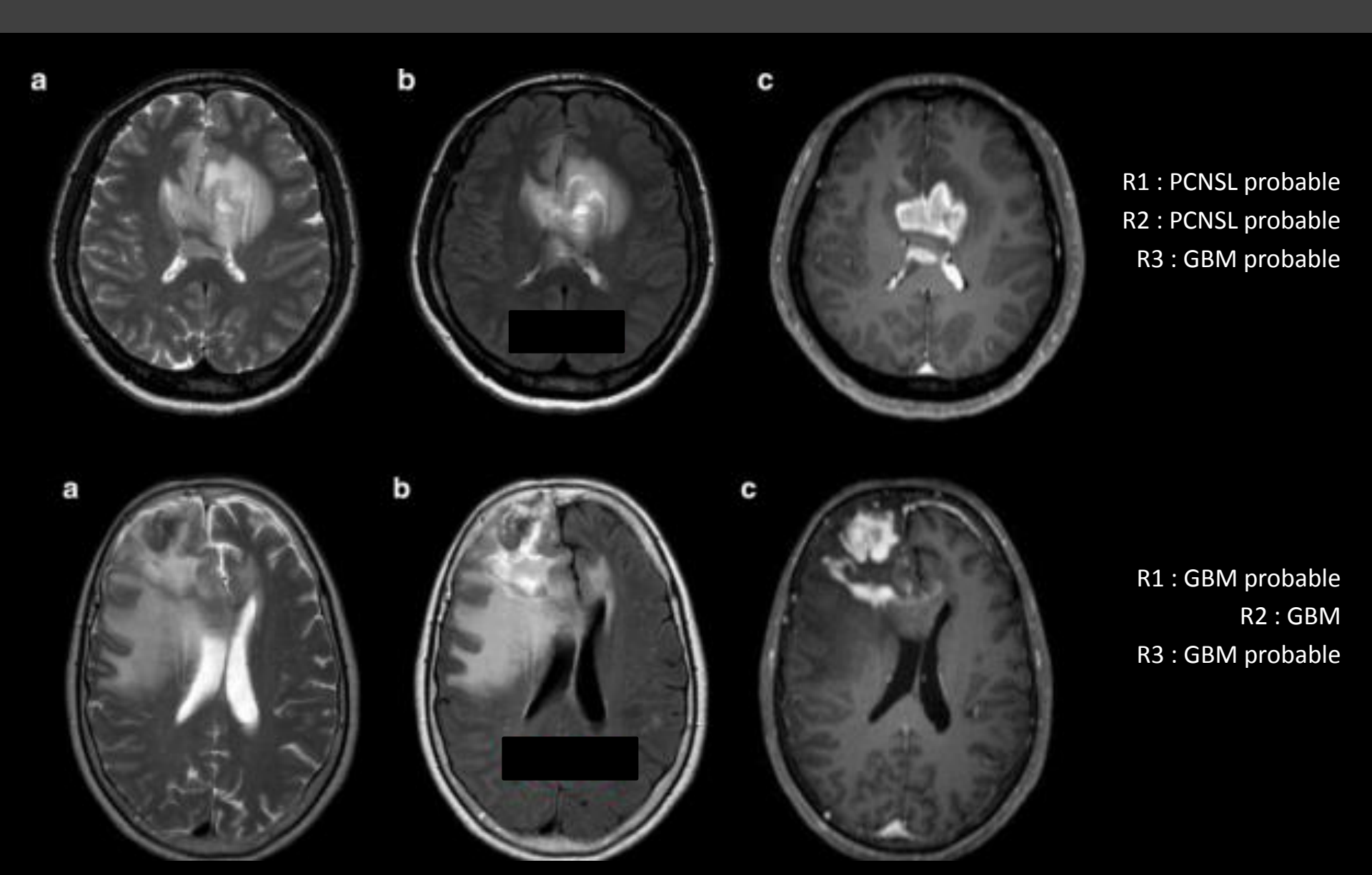
- Intérêt Diagnostique
- Intérêt Pronostique
- Plannification Thérapeutique

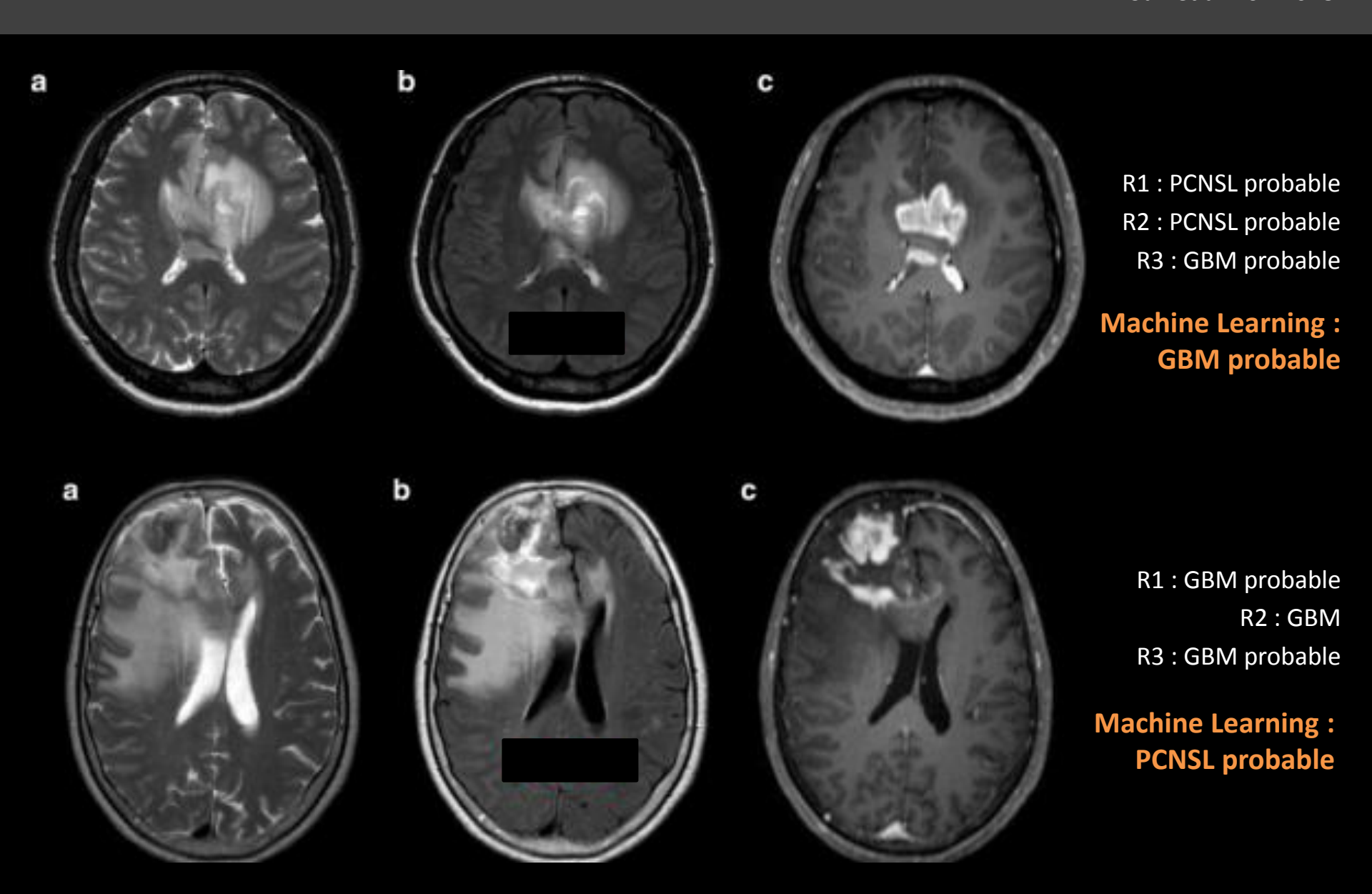


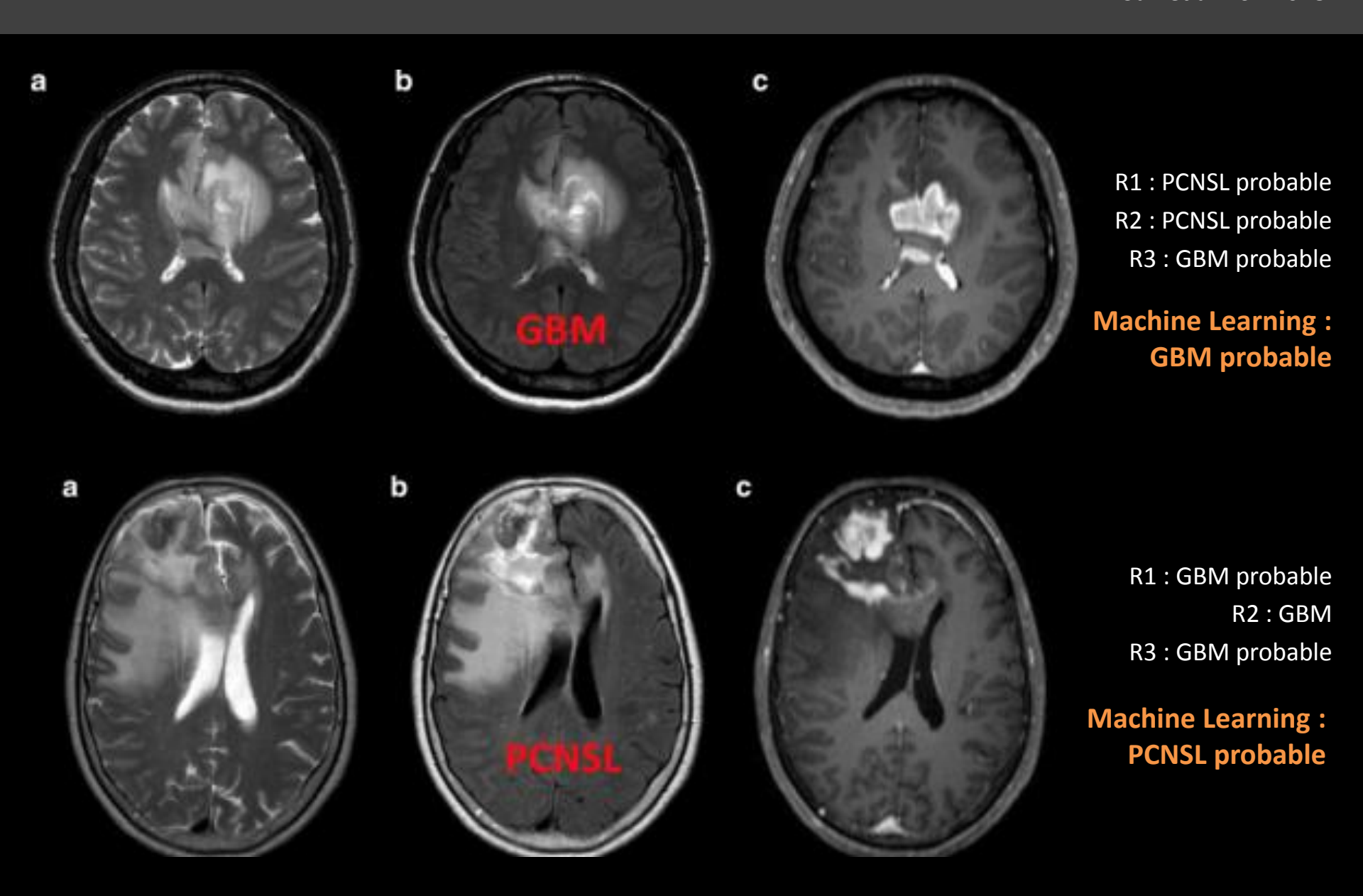


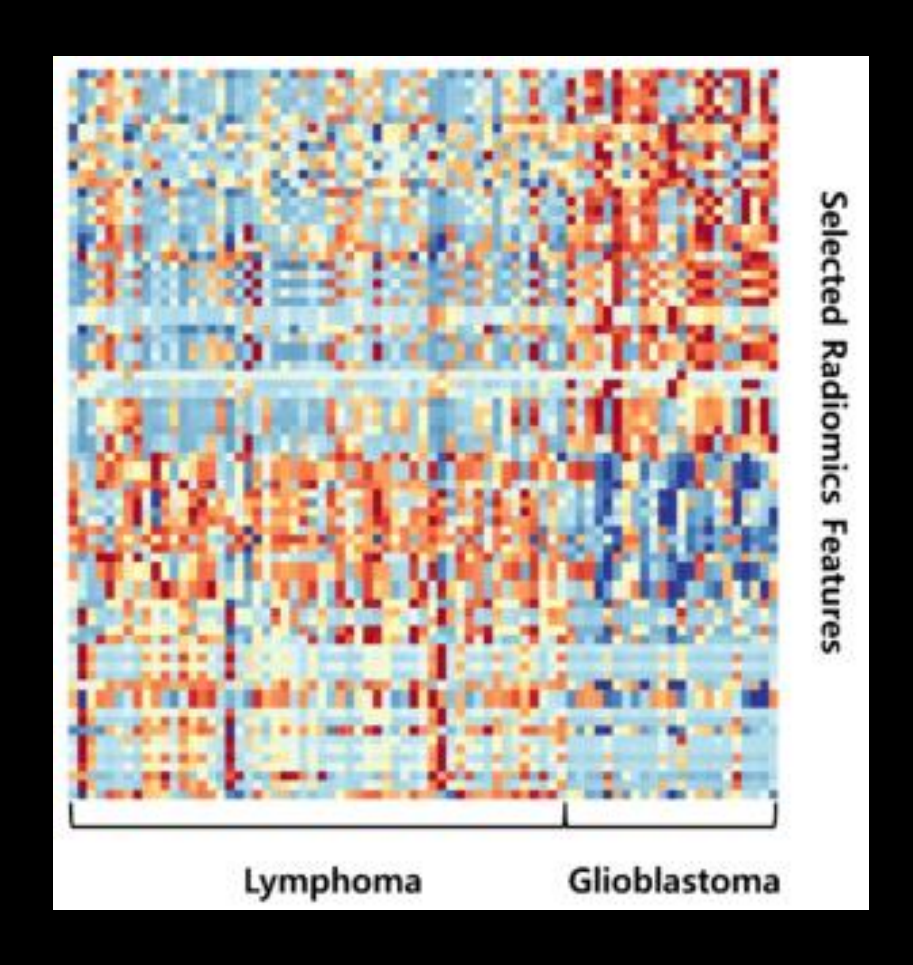


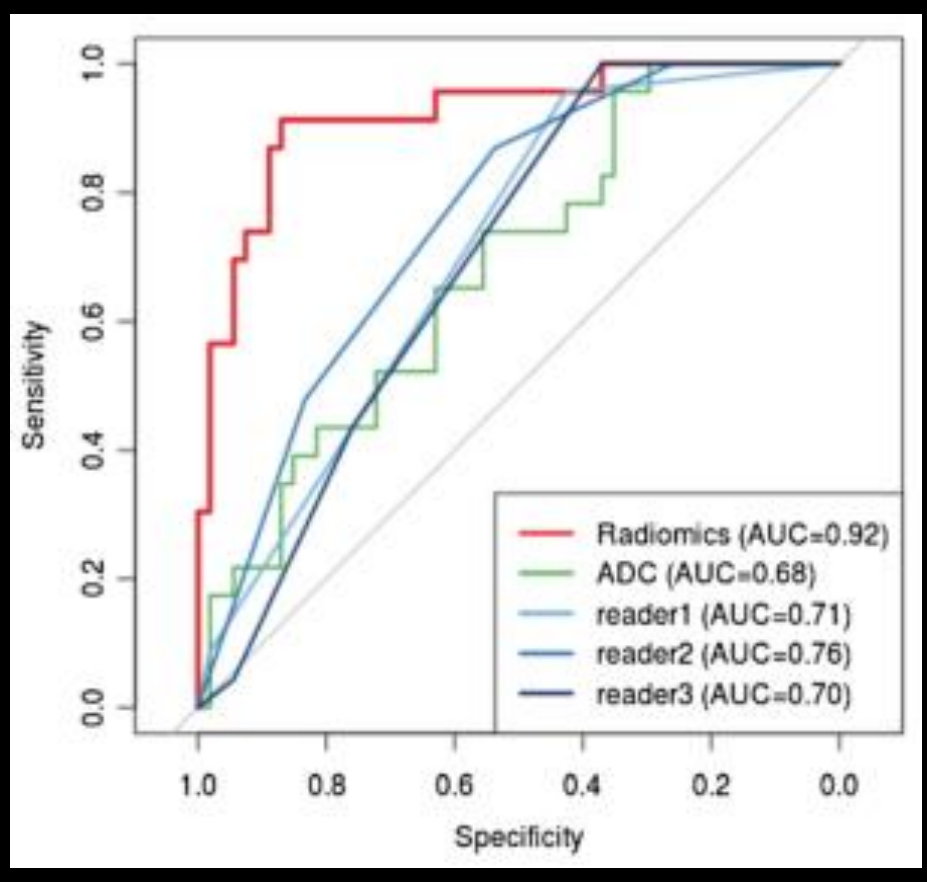
R1 : PCNSL probable R2 : PCNSL probable R3 : GBM probable



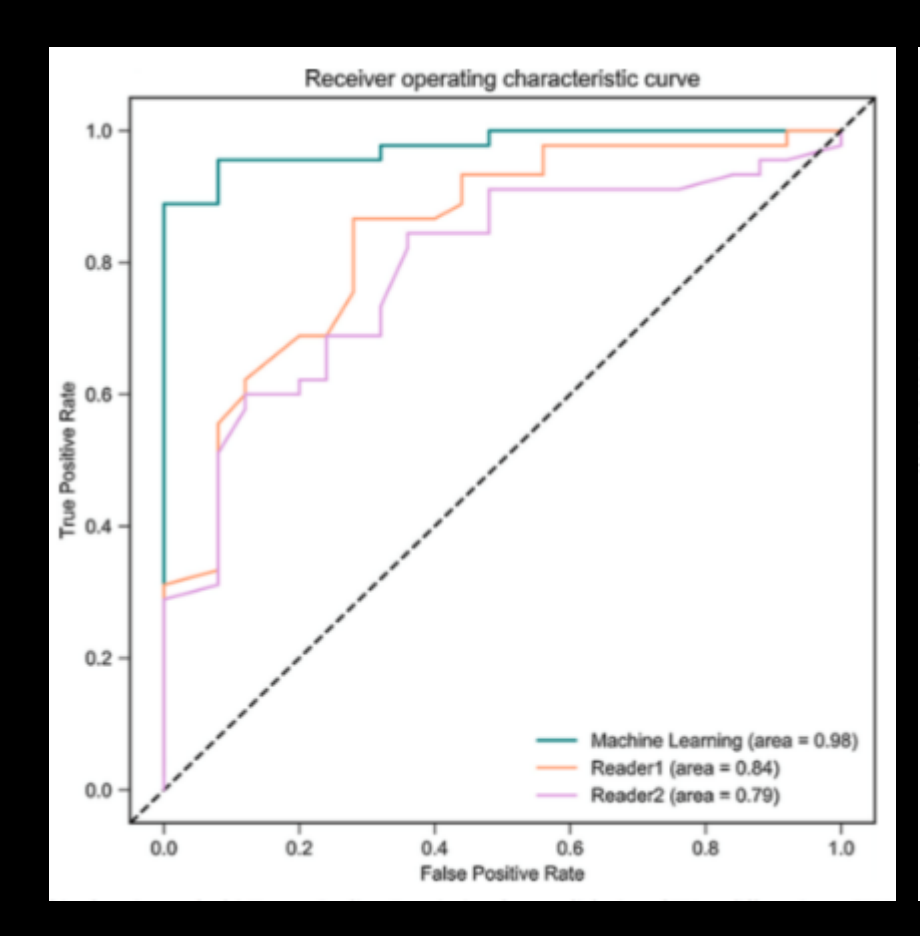


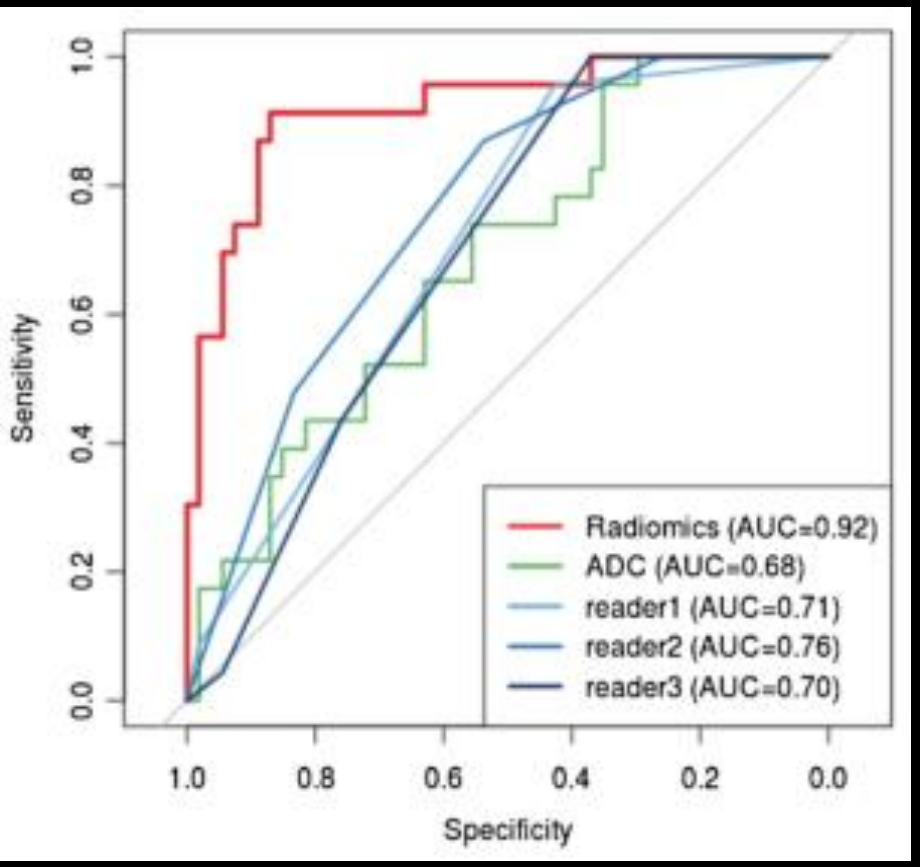




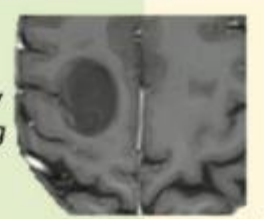


#### Diagnostic initial

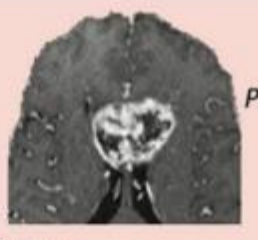








#### Diffuse Gliomas



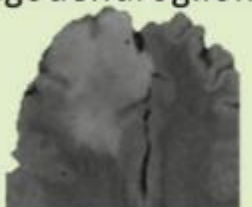
Predominantly enhancing

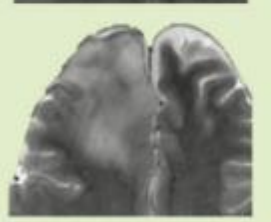
"80% of lower-grade gliomas IDH mutant "10% of GBM

IDH wild-type ~90% of GBM

1p19q codeletion + (~30%)

Oligodendroglioma





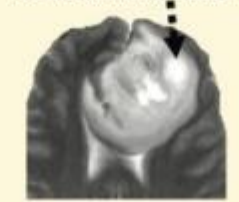
Poorly circumscribed margins

1p19q codeletion -(~70%)

Astrocytoma (IDH mutant)



T2-FLAIR mismatch



Circumscribed margins

Secondary **GBM** (IDH mutant)



New area of enhancement within lower-grade astrocytoma

(Astrocytoma, Oligodendroglioma NOS)

Lower-grade gliomas

1° GBM EGFR +/-

1° GBM MGMT methyl. +/-

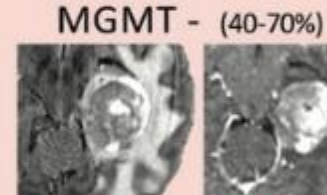
MGMT + (30-60%)



"Mass-like edema"



"Nodular enhancement"

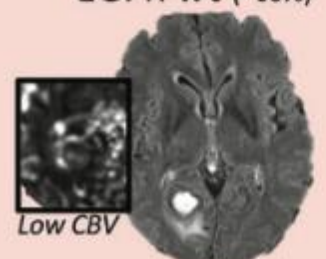


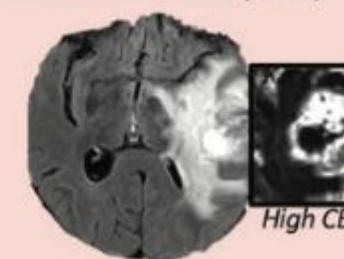
"Infiltrative edema"



"thick enhancement"

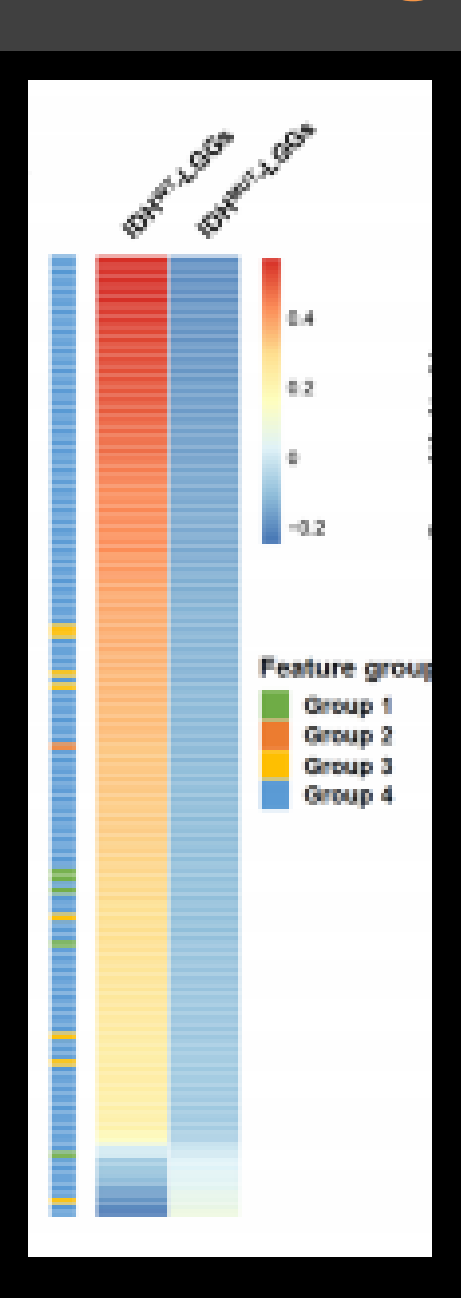
EGFR wt (~60%) EGFR mutant (~40%)

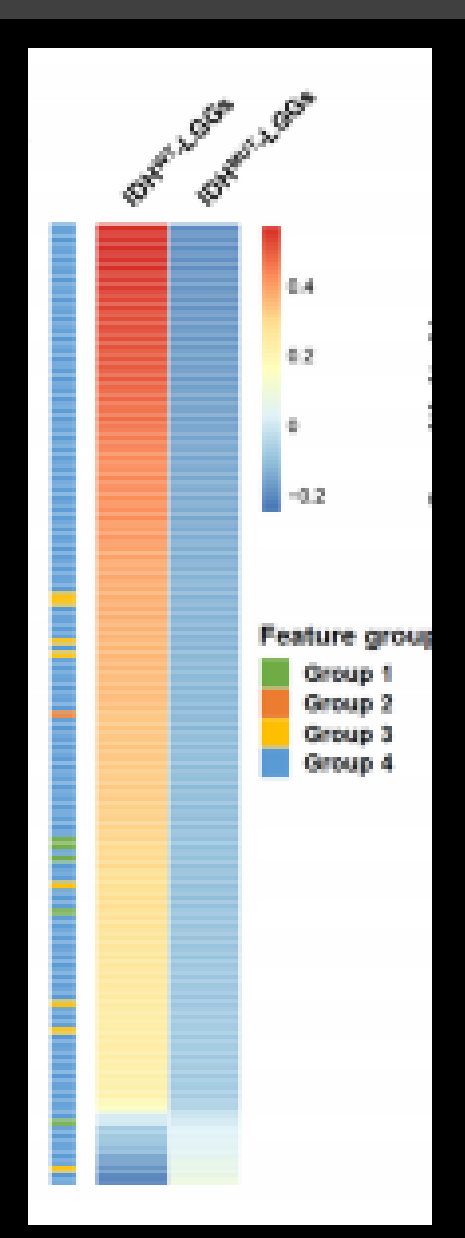


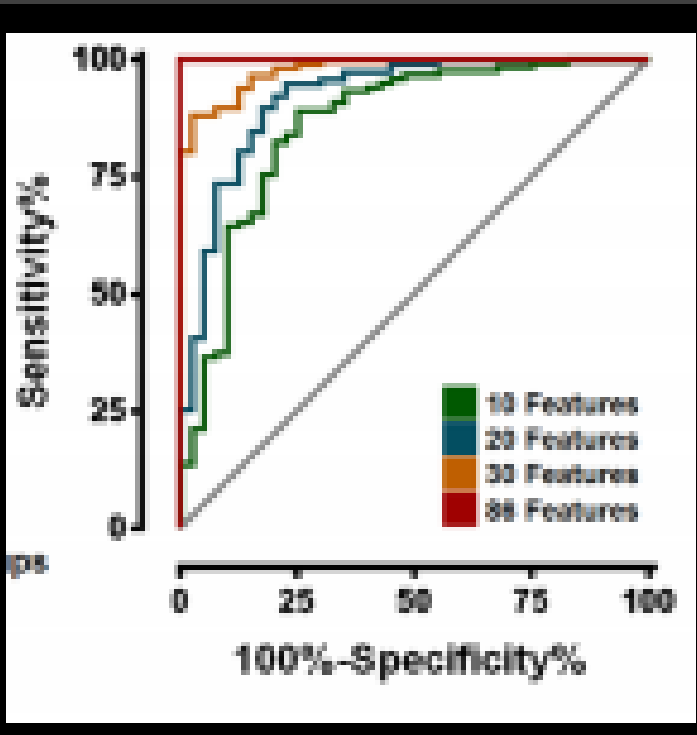


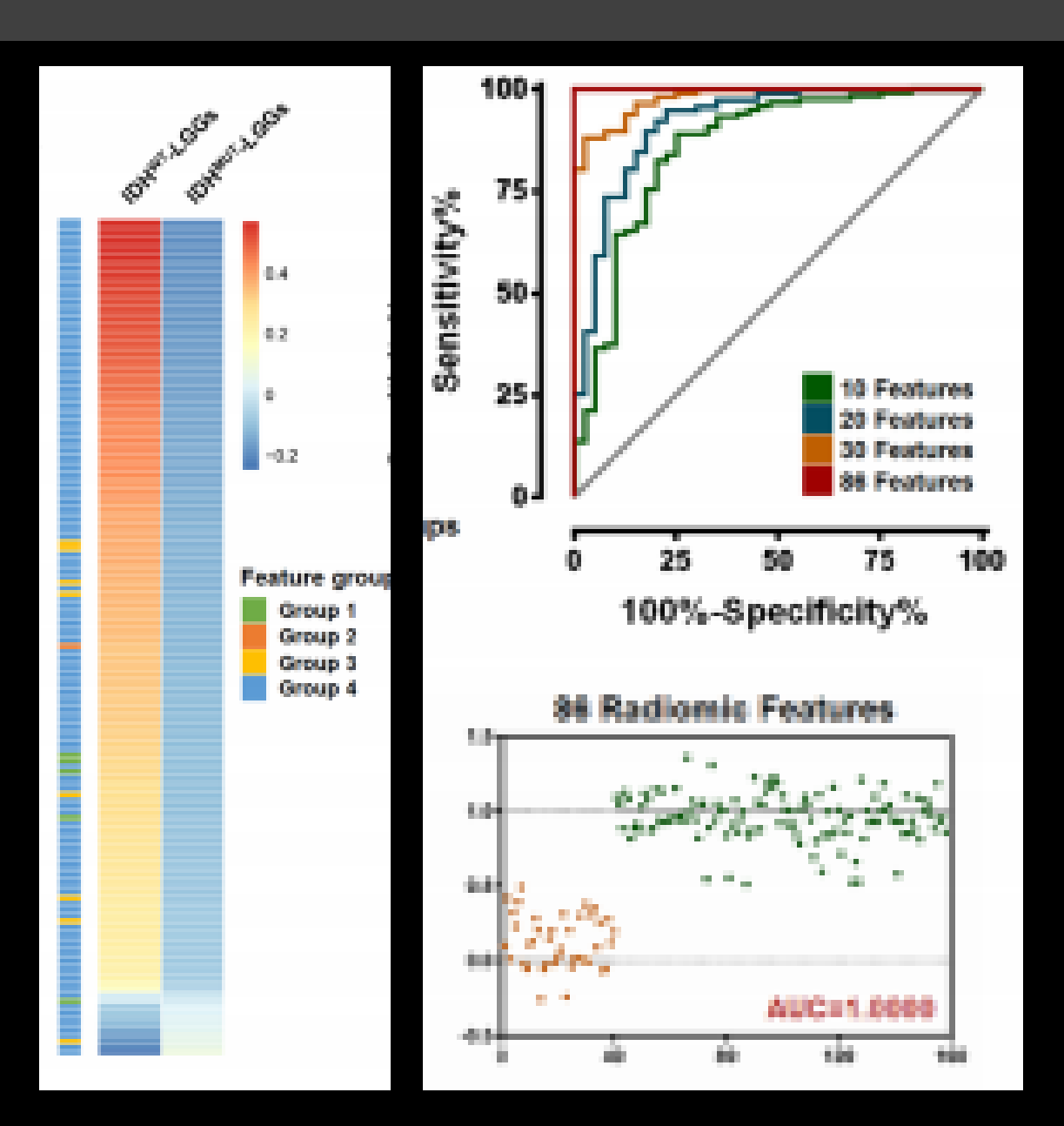
## "Etat de l'art" en Neuro-Oncologie

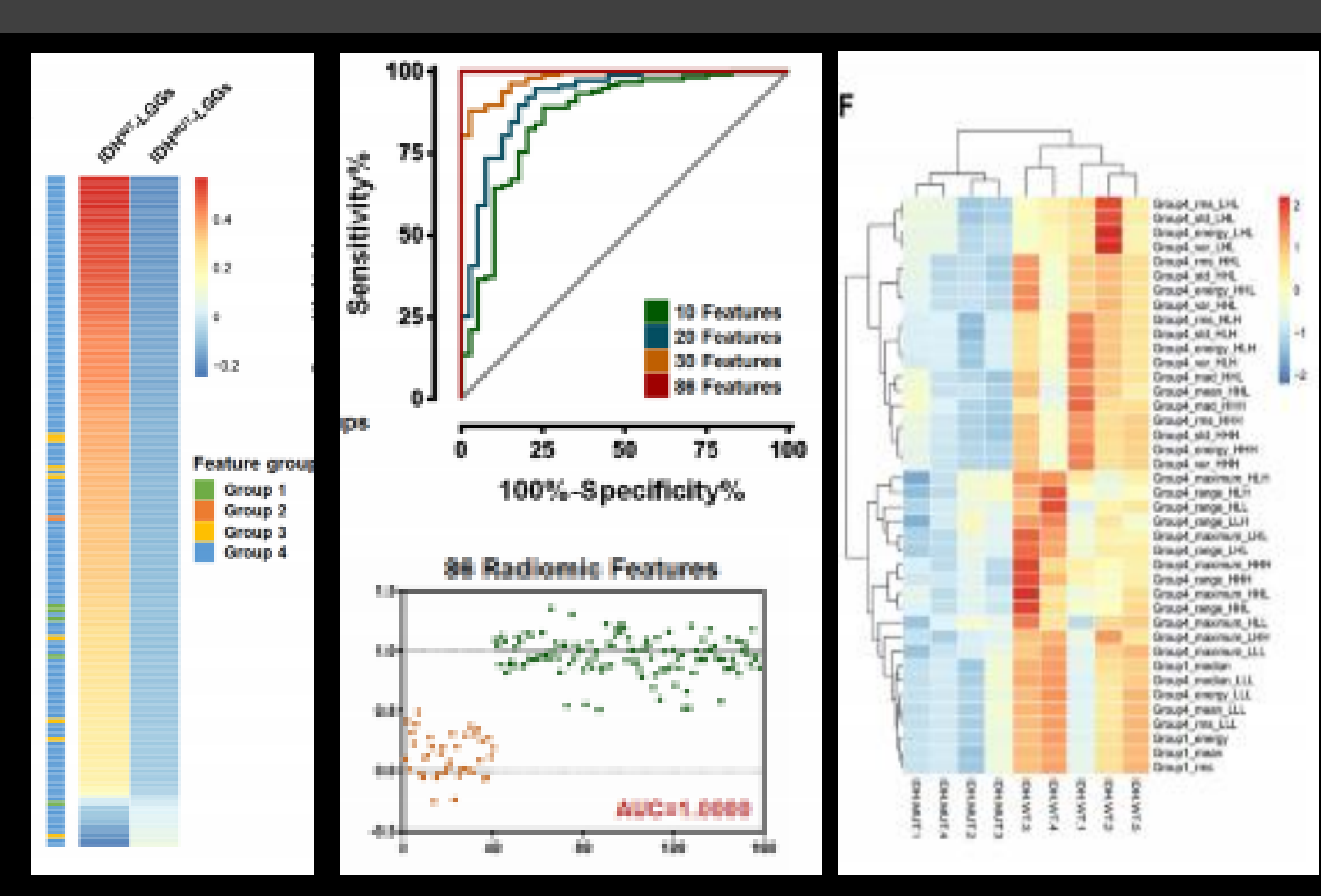
- Intérêt Diagnostique
- Intérêt Pronostique
  - Corrélations Radiogénomiques
  - Signatures Pronostiques indépendantes
- Plannification Thérapeutique

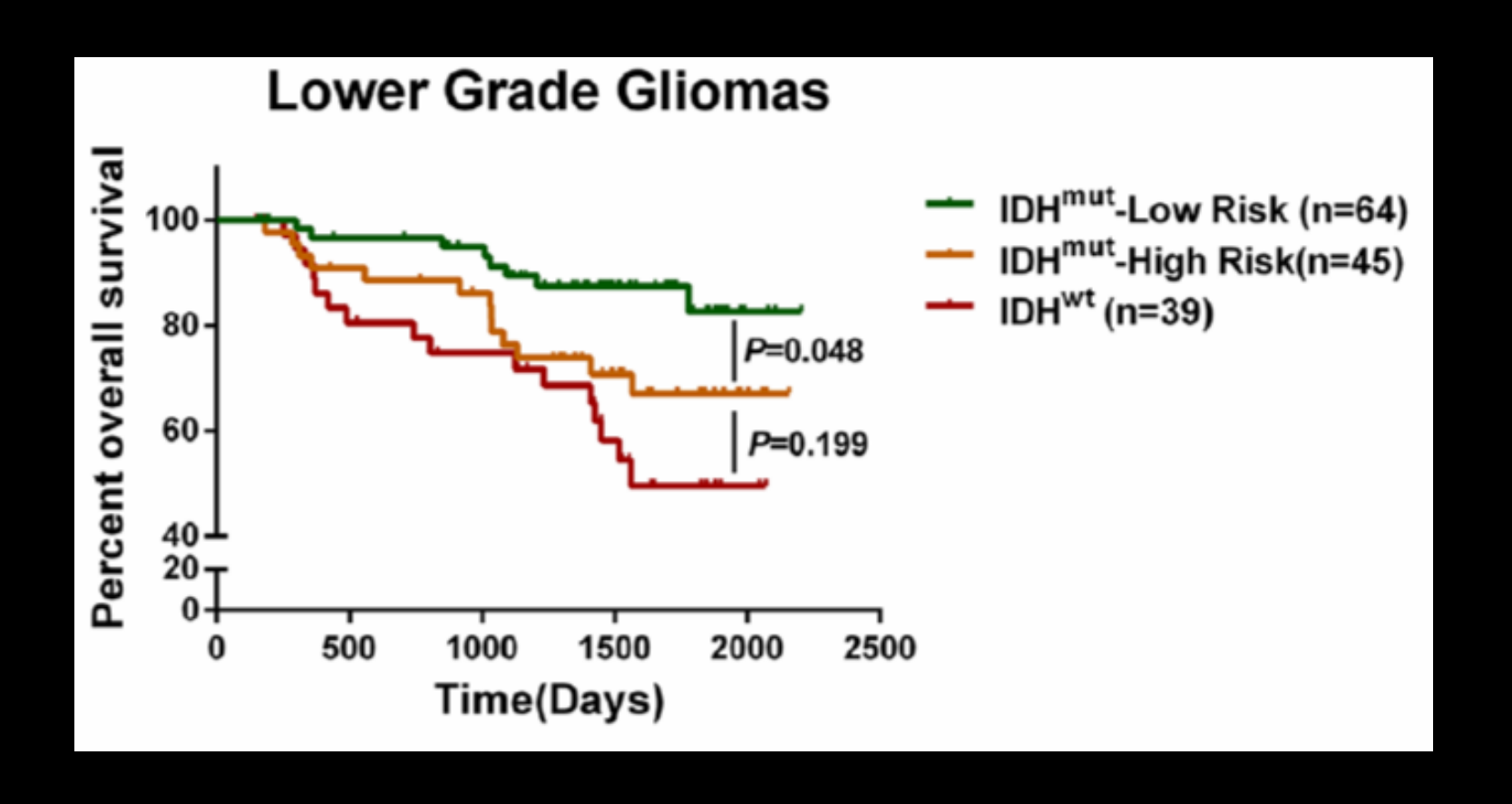


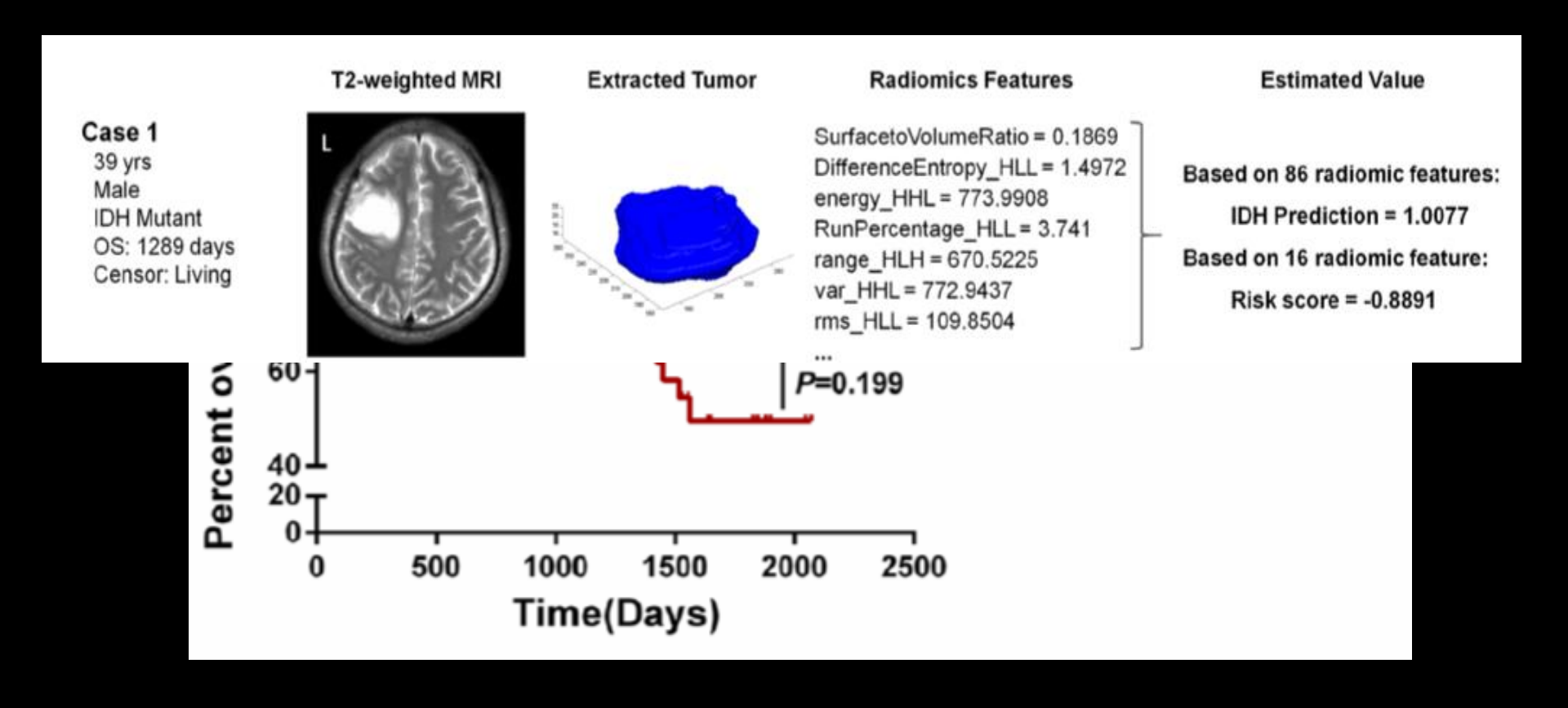


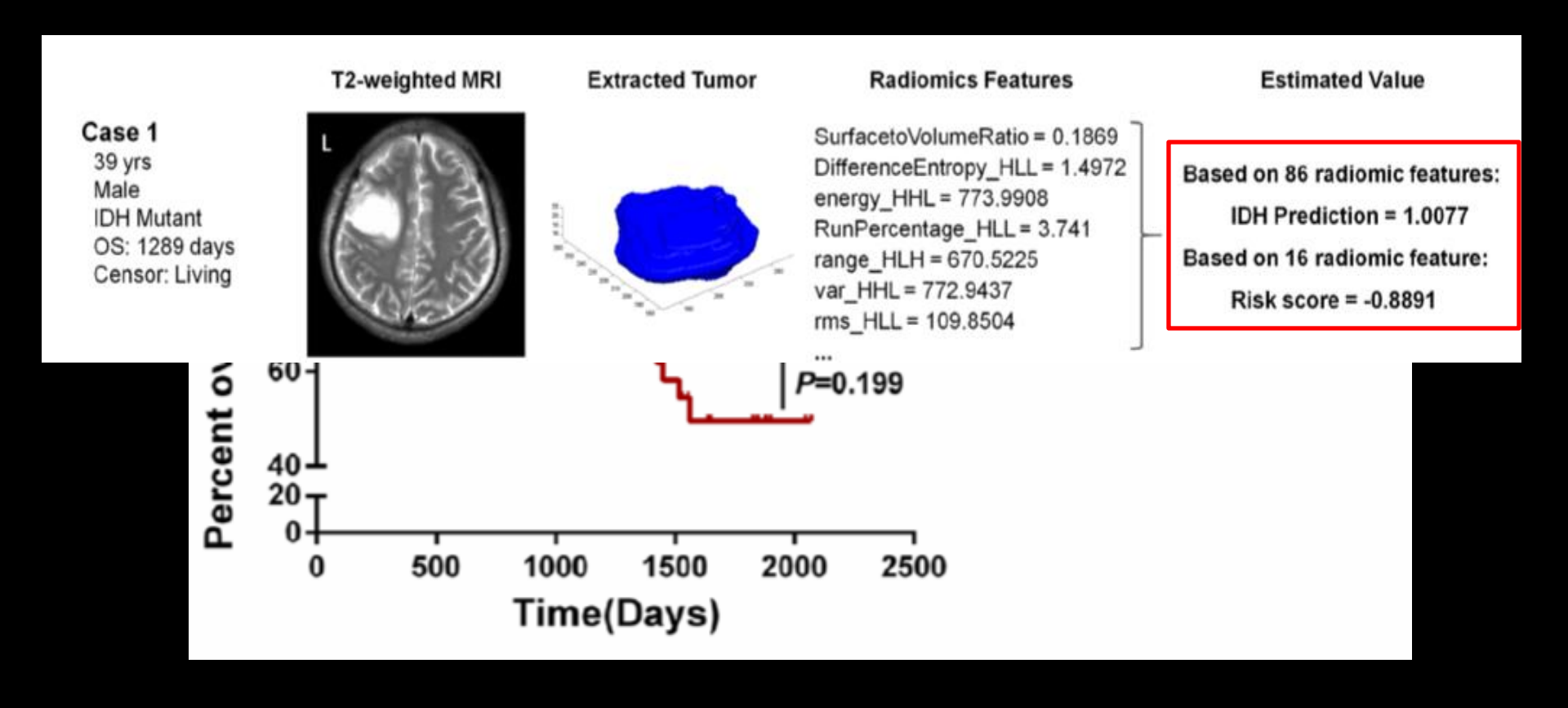












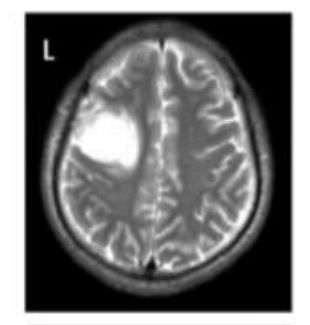
#### Case 1

39 yrs Male IDH Mutant OS: 1289 days Censor: Living

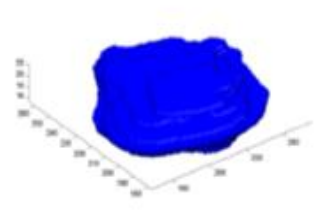
#### Case 2

46 yrs Male IDH Wildtype OS: 1121 days Censor: Dead

#### T2-weighted MRI

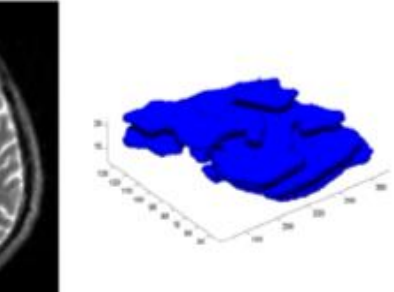


#### **Extracted Tumor**



#### Radiomics Features

SurfacetoVolumeRatio = 0.1869 DifferenceEntropy\_HLL = 1.4972 energy\_HHL = 773.9908 RunPercentage\_HLL = 3.741 range\_HLH = 670.5225 var\_HHL = 772.9437 rms\_HLL = 109.8504



SurfacetoVolumeRatio =0.4516 DifferenceEntropy\_HLL = 2.1369 energy\_HHL = 5664.8545 RunPercentage\_HLL = 9.3052 range\_HLH = 785.578 var\_HHL = 5631.1454

rms HLL = 326.7327

...

#### **Estimated Value**

Based on 86 radiomic features:

IDH Prediction = 1.0077

Based on 16 radiomic feature:

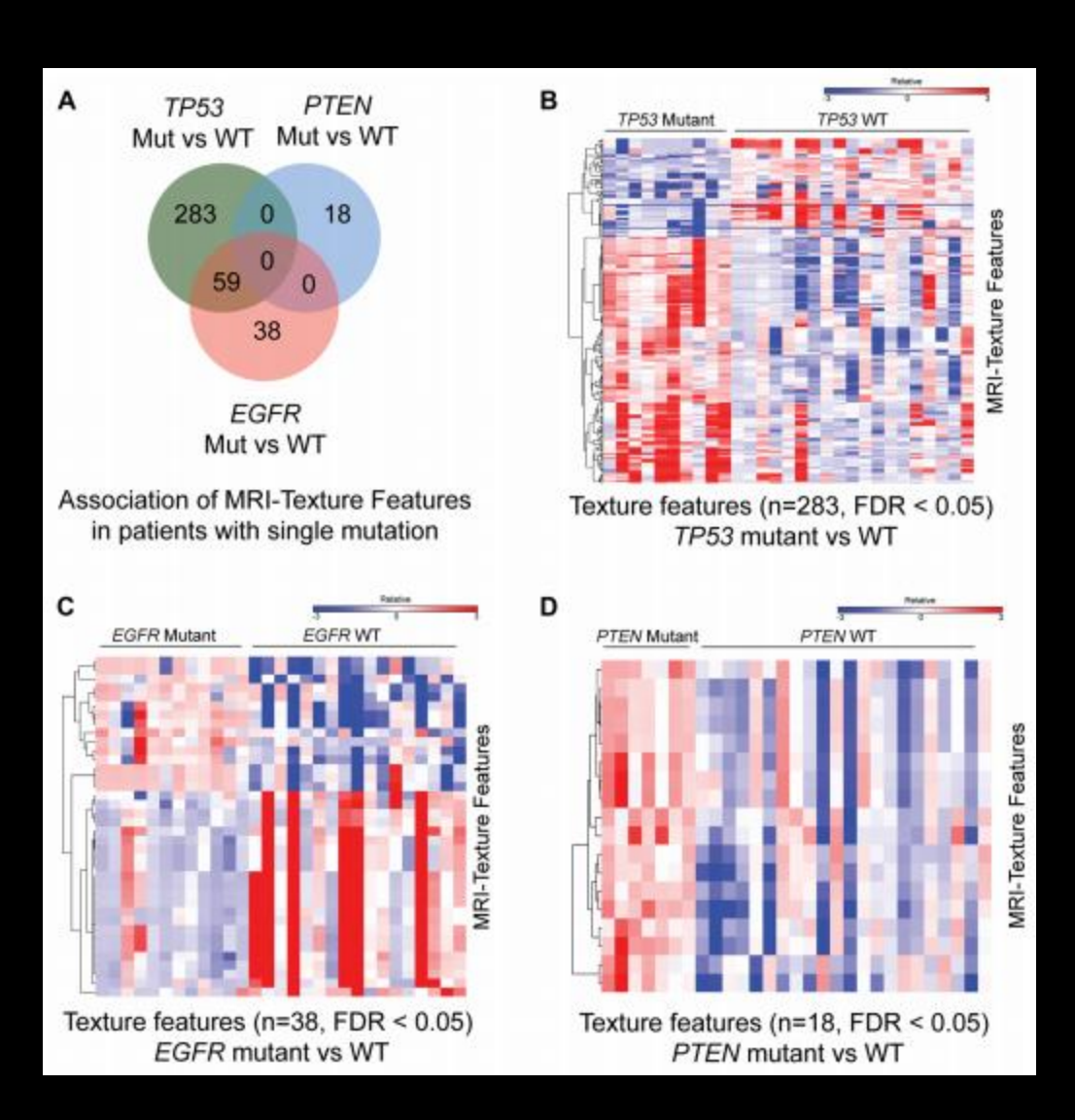
Risk score = -0.8891

Based on 86 radiomic features:

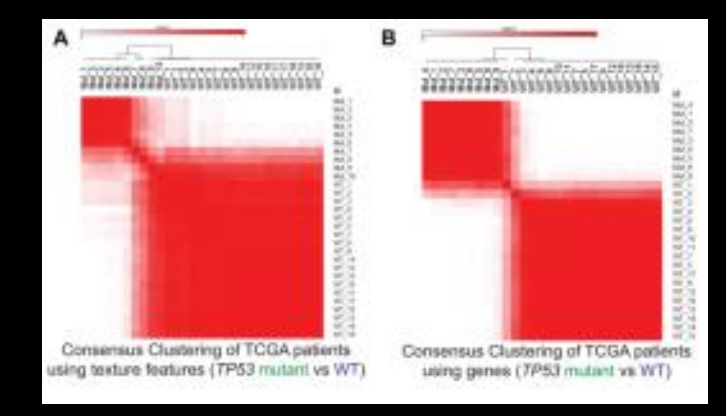
IDH Prediction = -0.0575

Based on 16 radiomic feature:

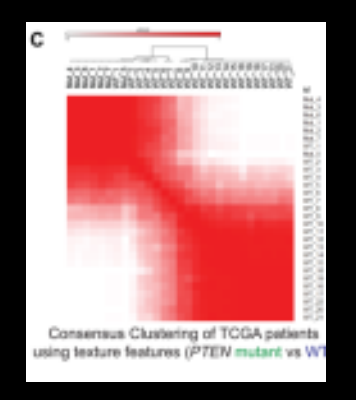
Risk score = 11.3116

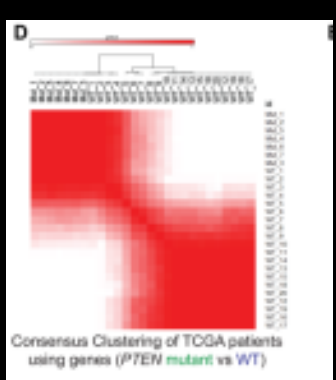


#### Statut TP53



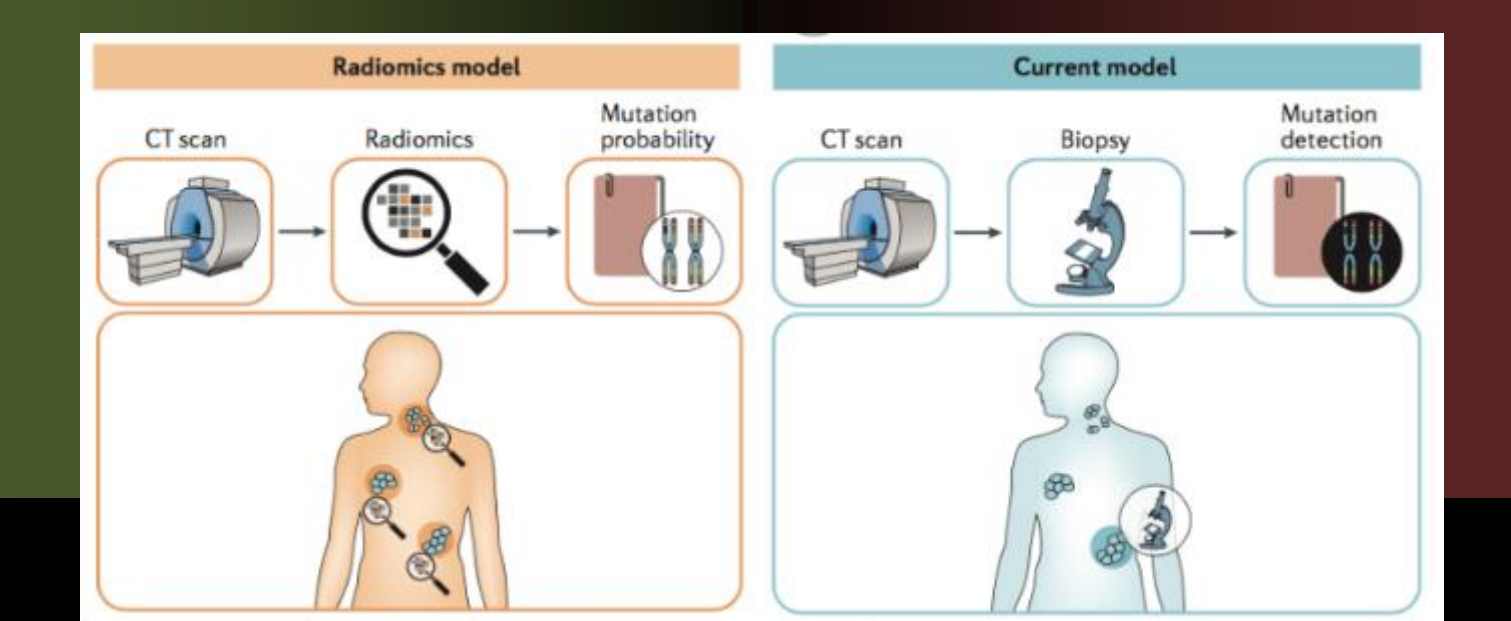
#### Statut EGFR





# Radiopsy?

Sample errors
Non representative
Contraintes techniques,
spatiales
Morbidity



# Radiopsy?

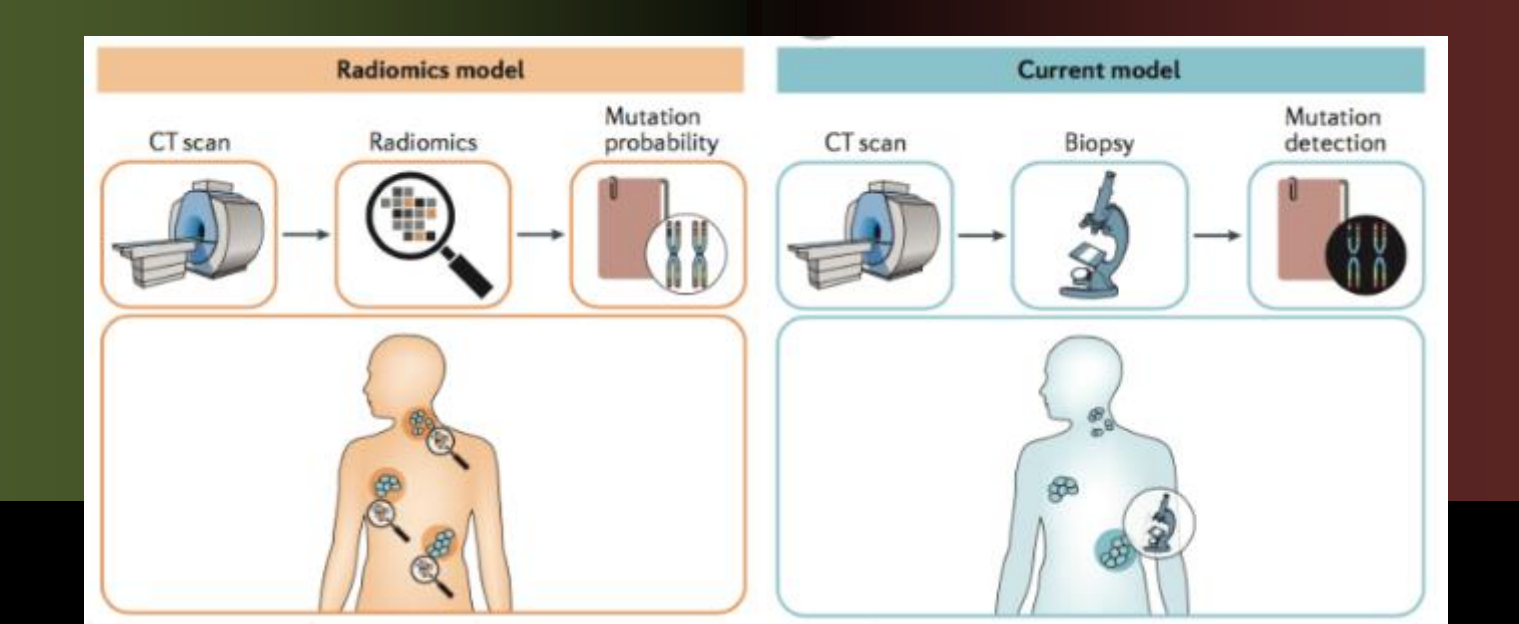
#### Whole tumor heterogeneity

- In space
- Over time

Non invasive: iterative

Low cost

Sample errors
Non representative
Contraintes techniques,
spatiales
Morbidity



## "Etat de l'art" en Neuro-Oncologie

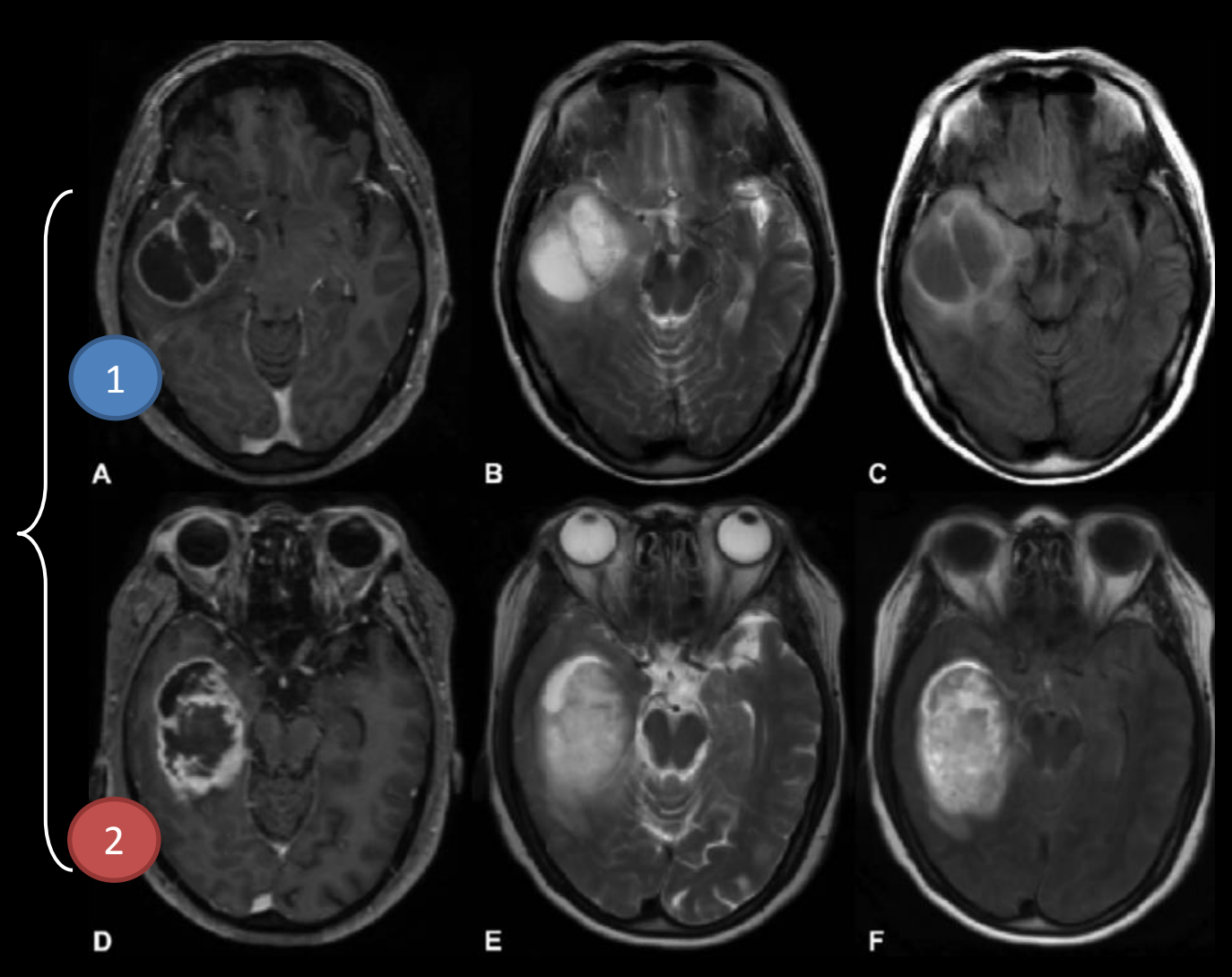
- Intérêt Diagnostique
- Intérêt Pronostique
  - Corrélations Radiogénomiques
  - Signatures Pronostiques indépendantes
- Plannification Thérapeutique

### Signature Pronostique

70 yo W KPS 70 Subtotal resection Adj radioTTT

Wild-t IDH Unmeth MGMT

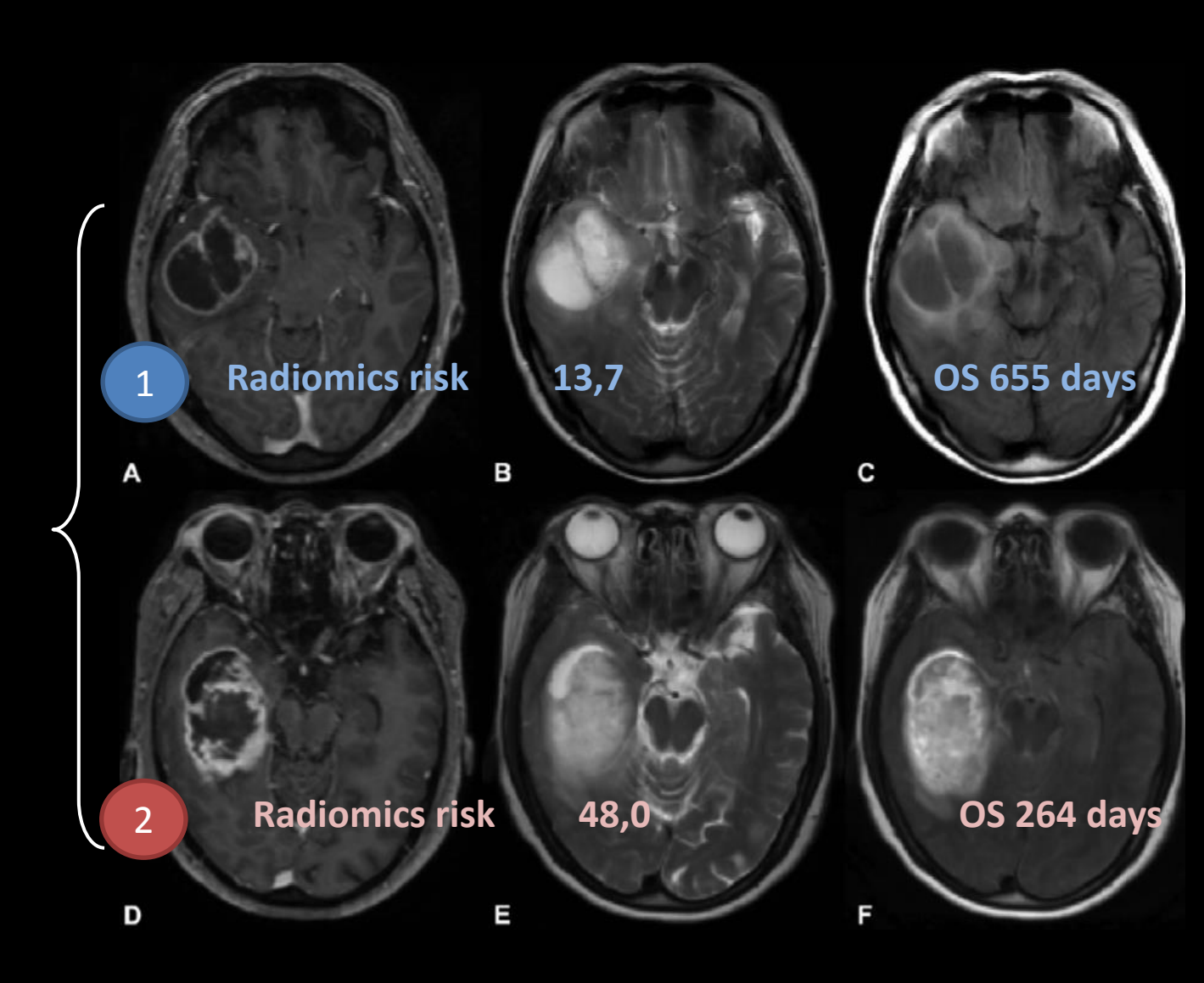
Radiologie conventionnelle?

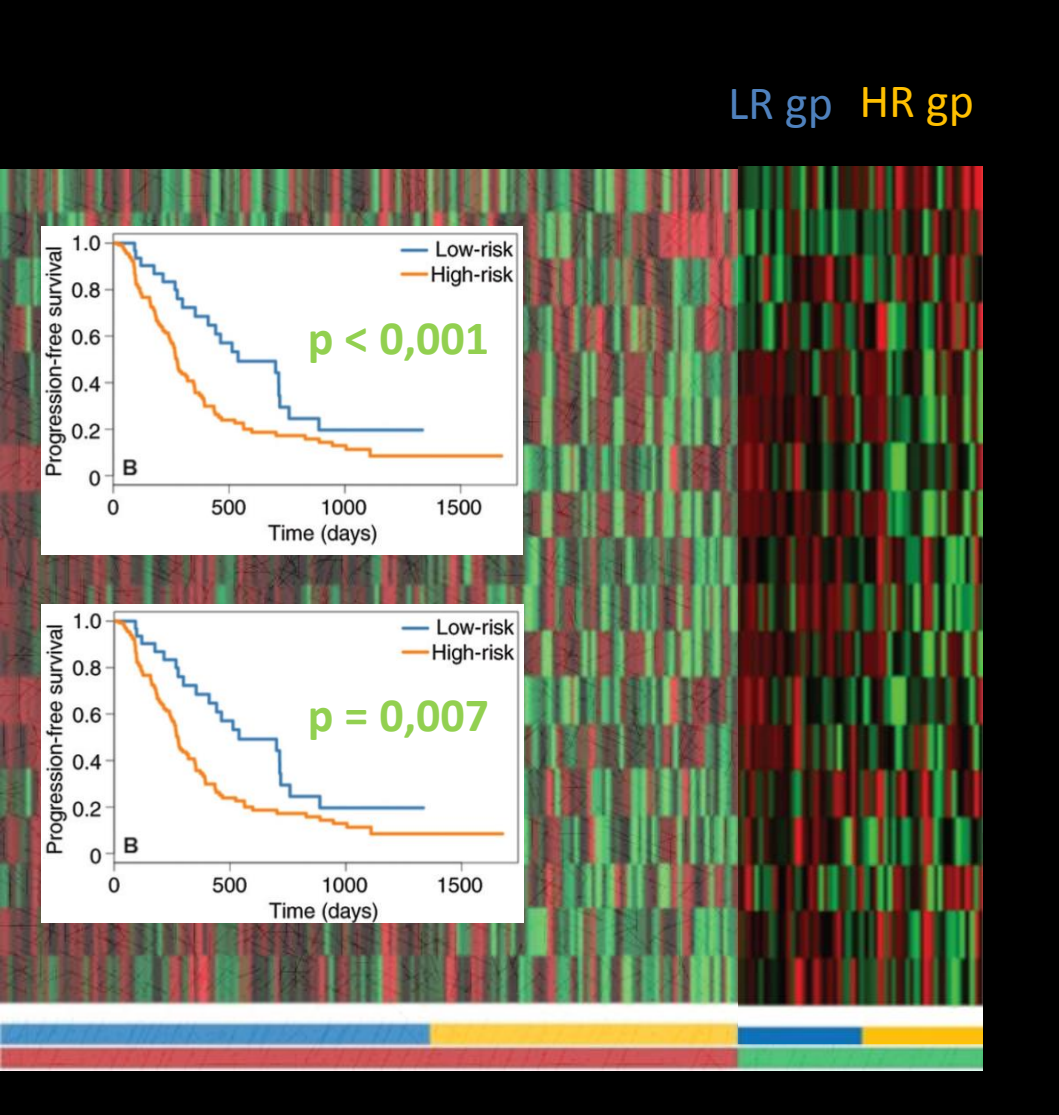


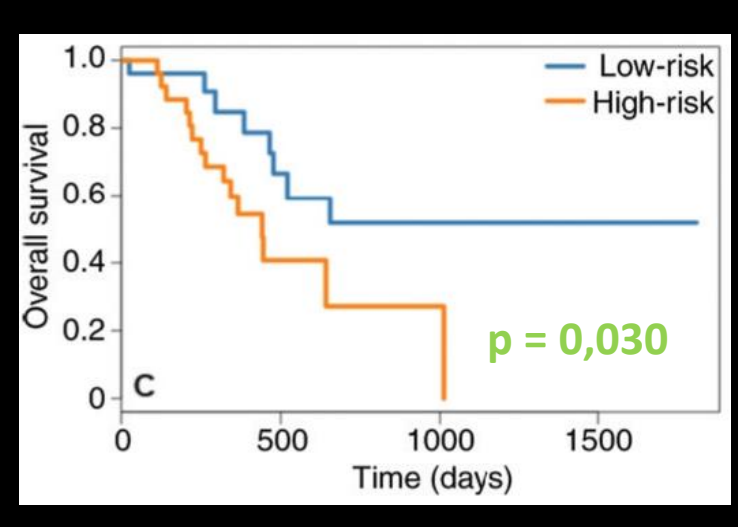
#### Signature Pronostique

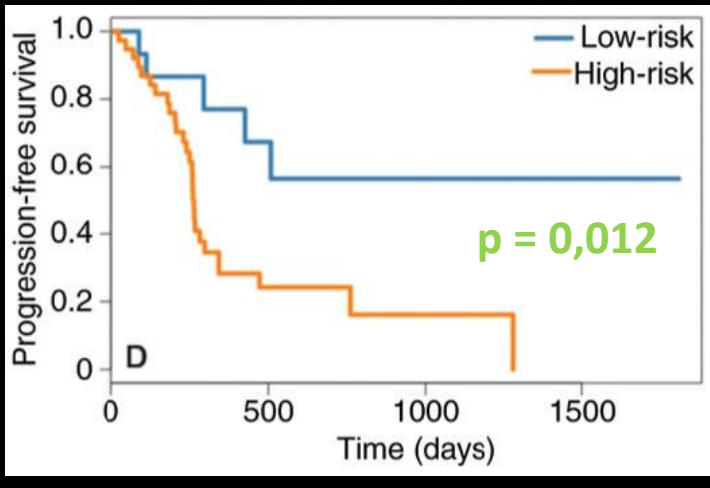
70 yo W KPS 70 Subtotal resection Adj radioTTT

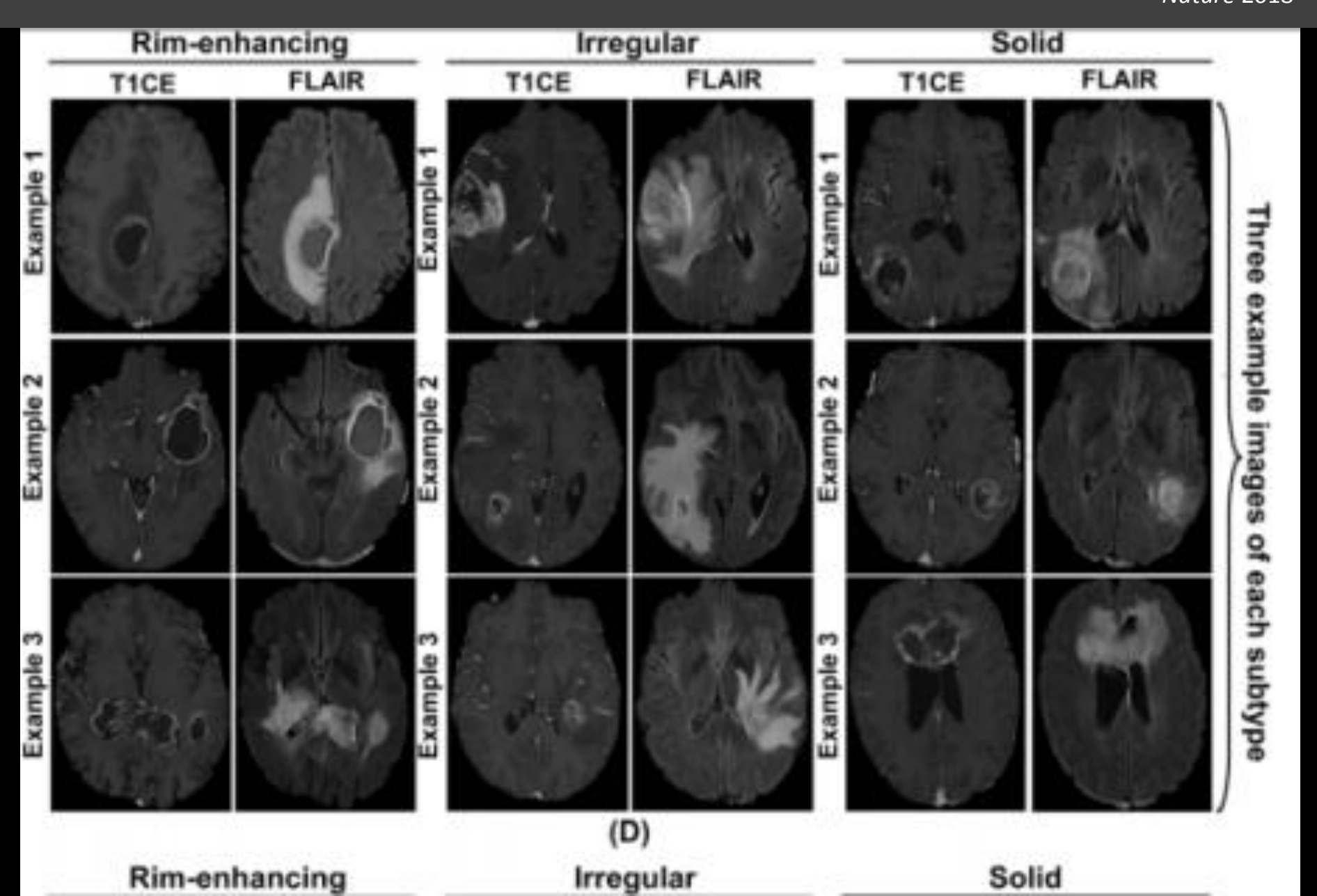
Wild-t IDH Unmeth MGMT



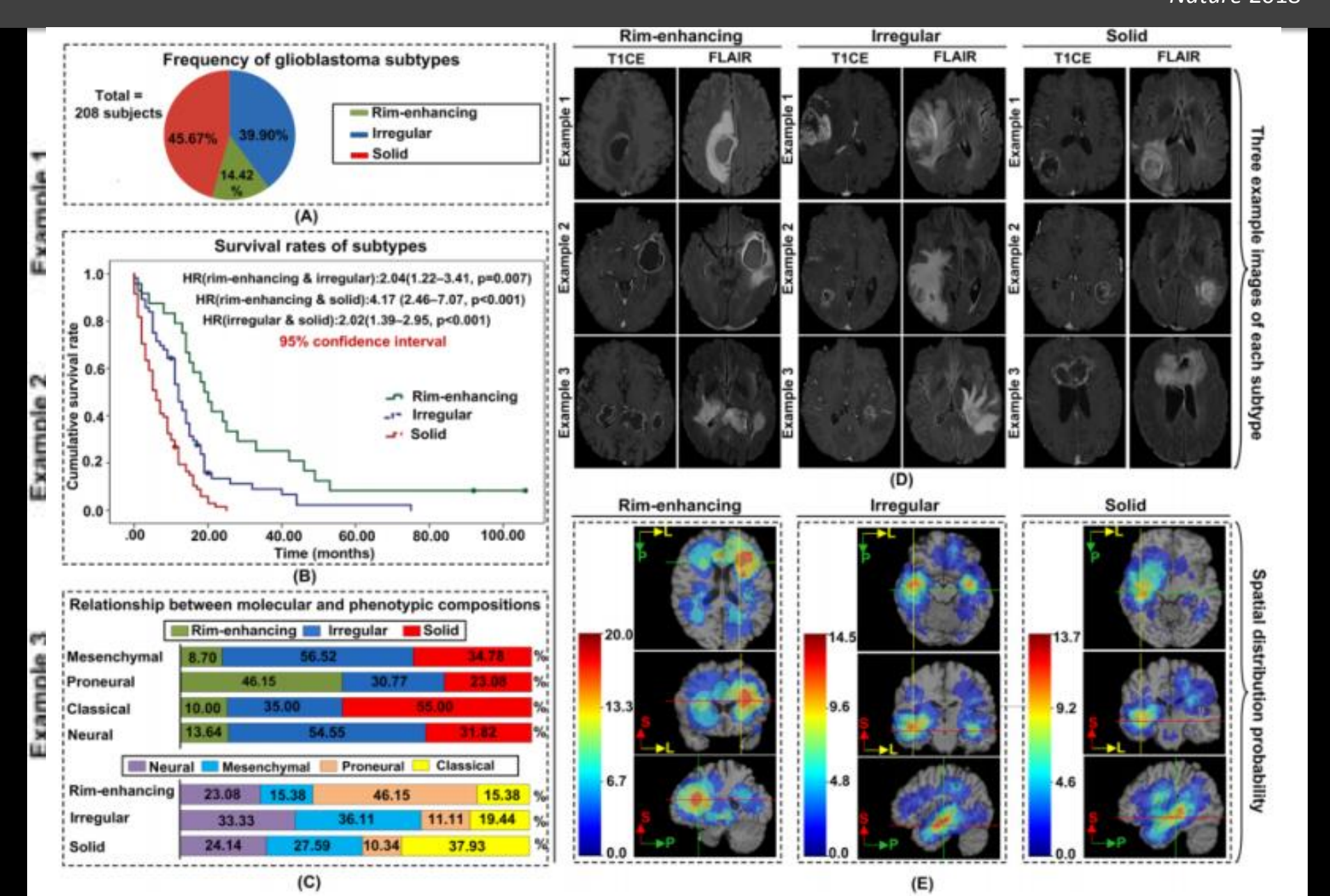




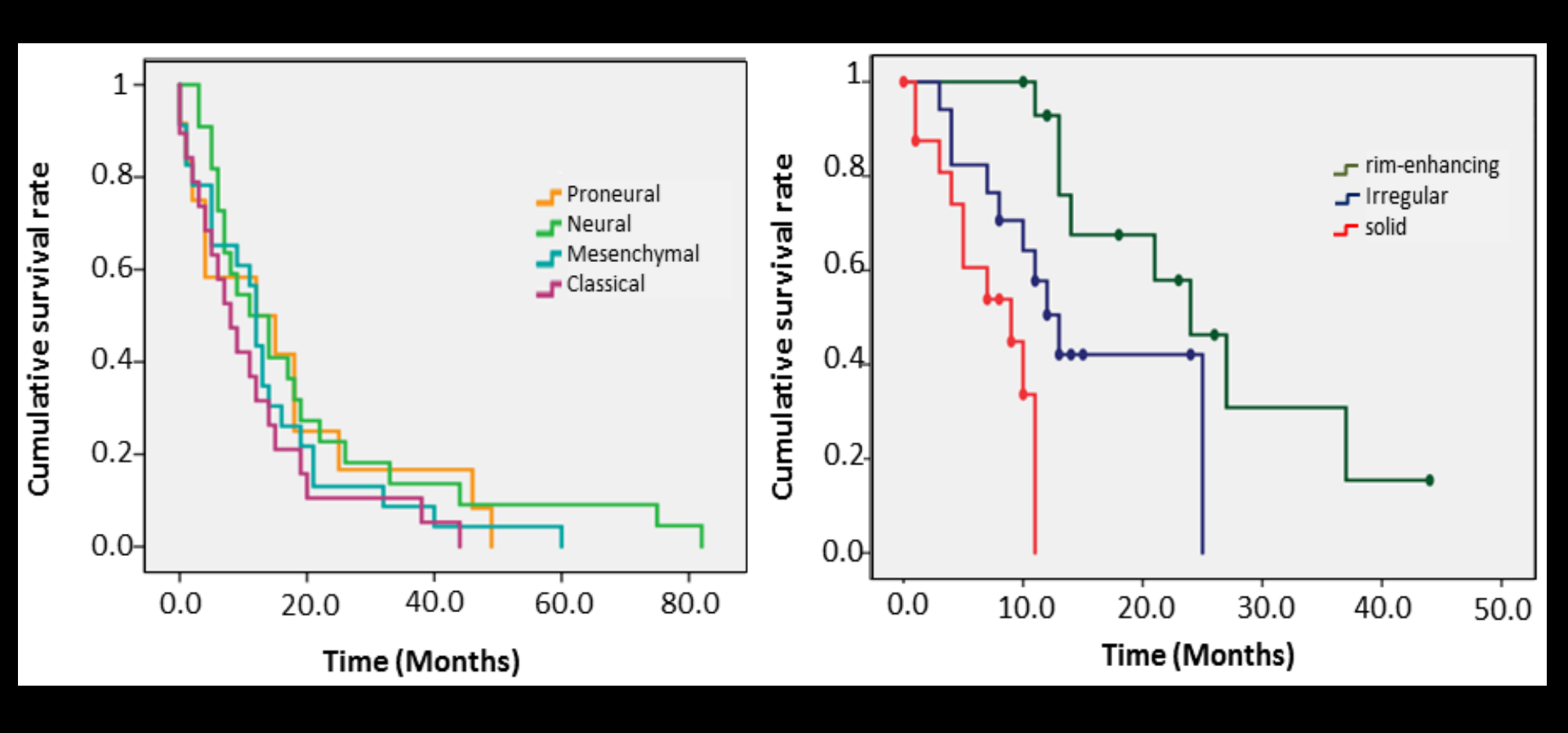




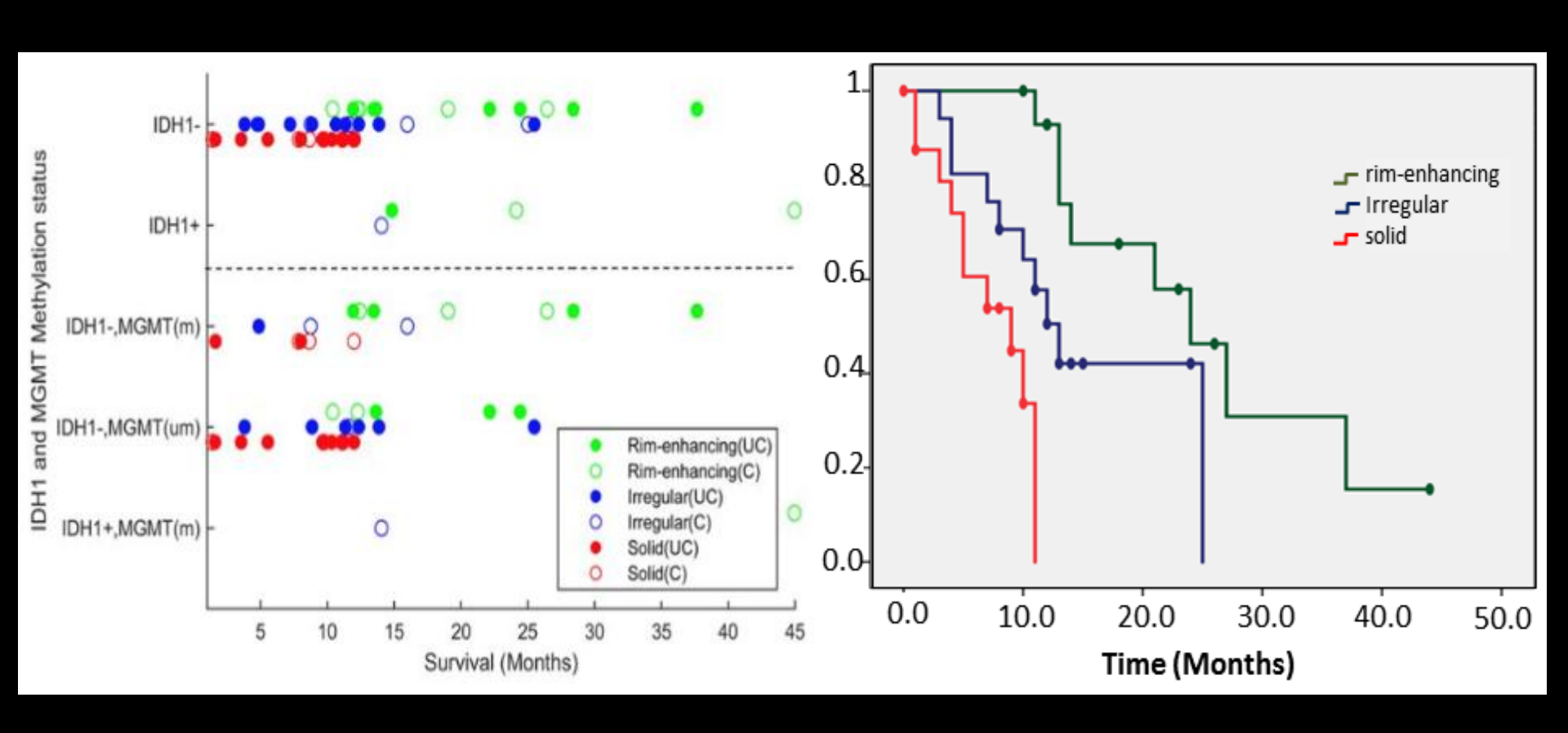
Rathore et al., *Nature* 2018



### Approche pronostique Globale



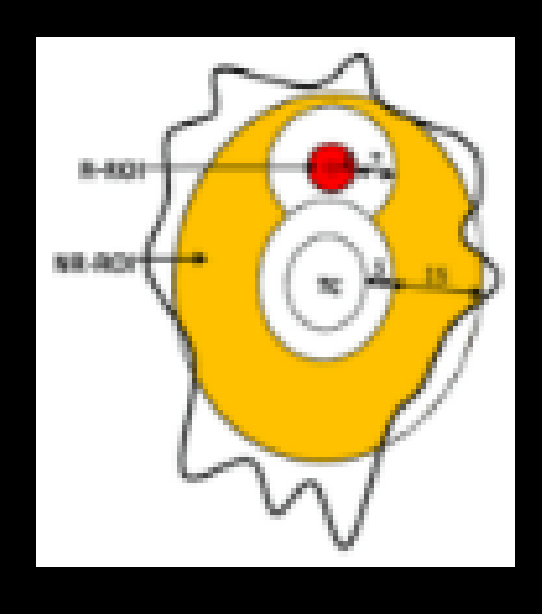
### Approche pronostique Globale



## "Etat de l'art" en Neuro-Oncologie

- Intérêt Diagnostique
- Intérêt Pronostique
  - Corrélations Radiogénomiques
  - Signatures Pronostiques indépendantes
- Plannification Thérapeutique

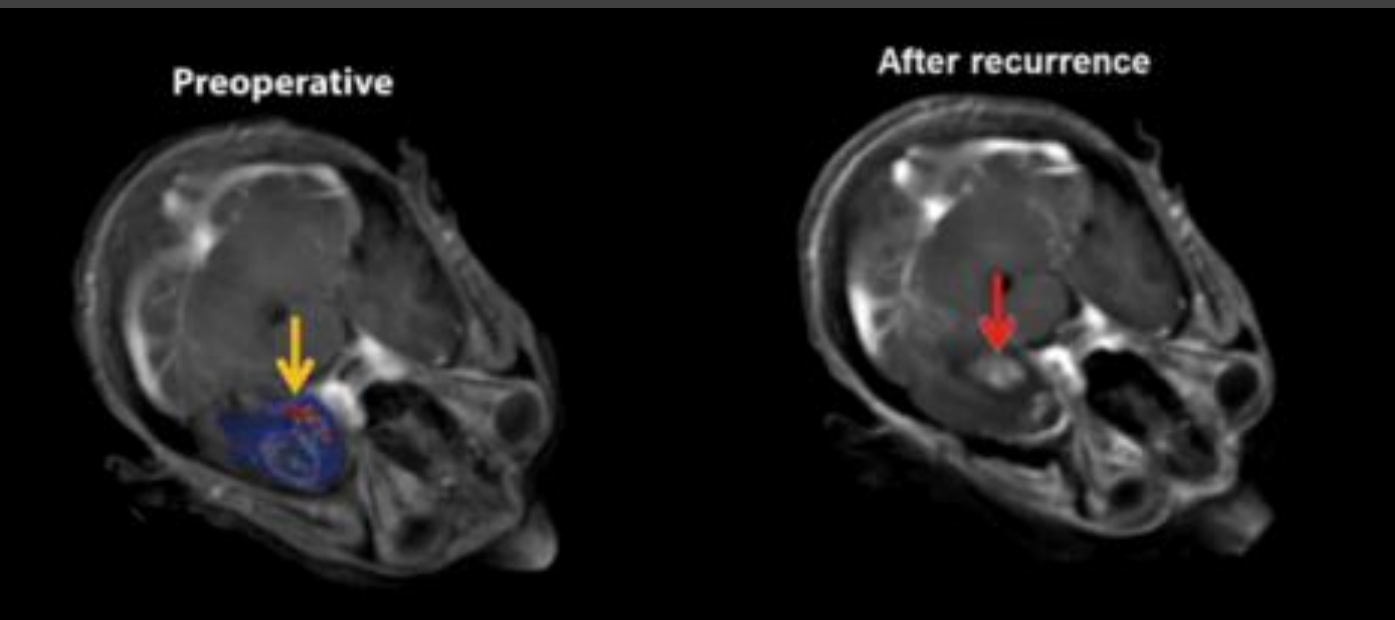
#### Plannification Thérapeutique





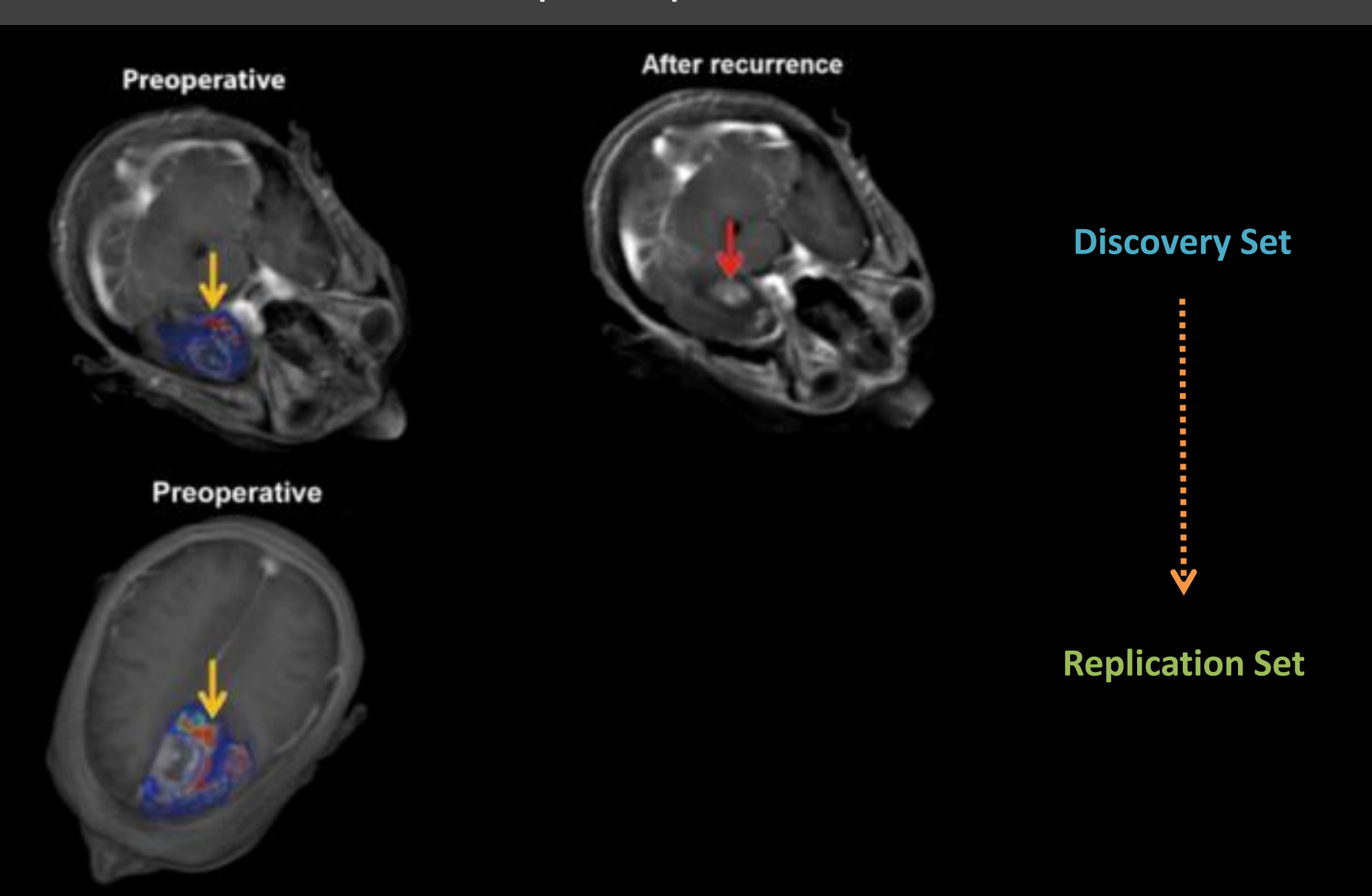
Plannification Thérapeutique

Akbari et al. 2016 Rathore et al. 2017

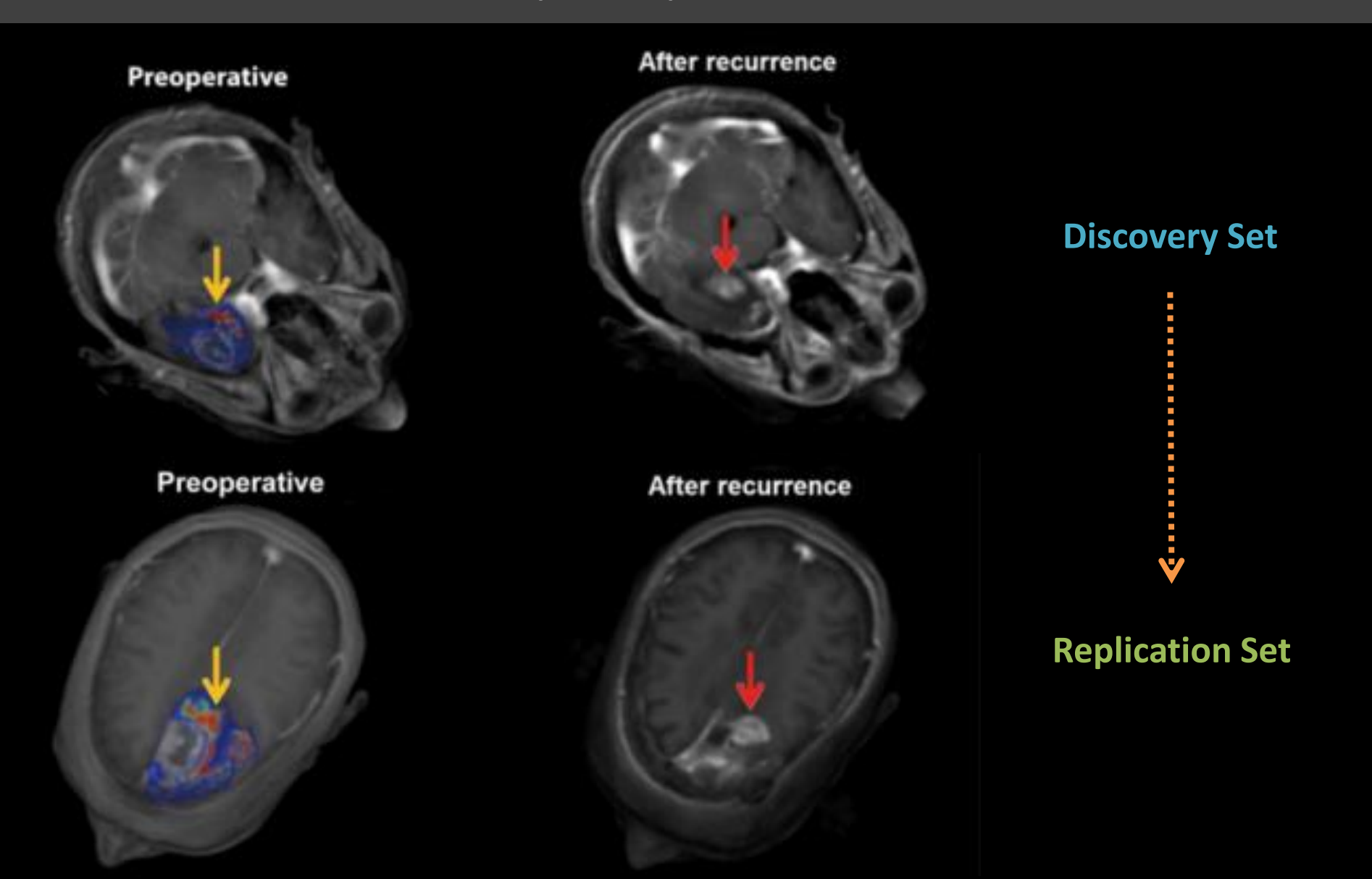


**Discovery Set** 

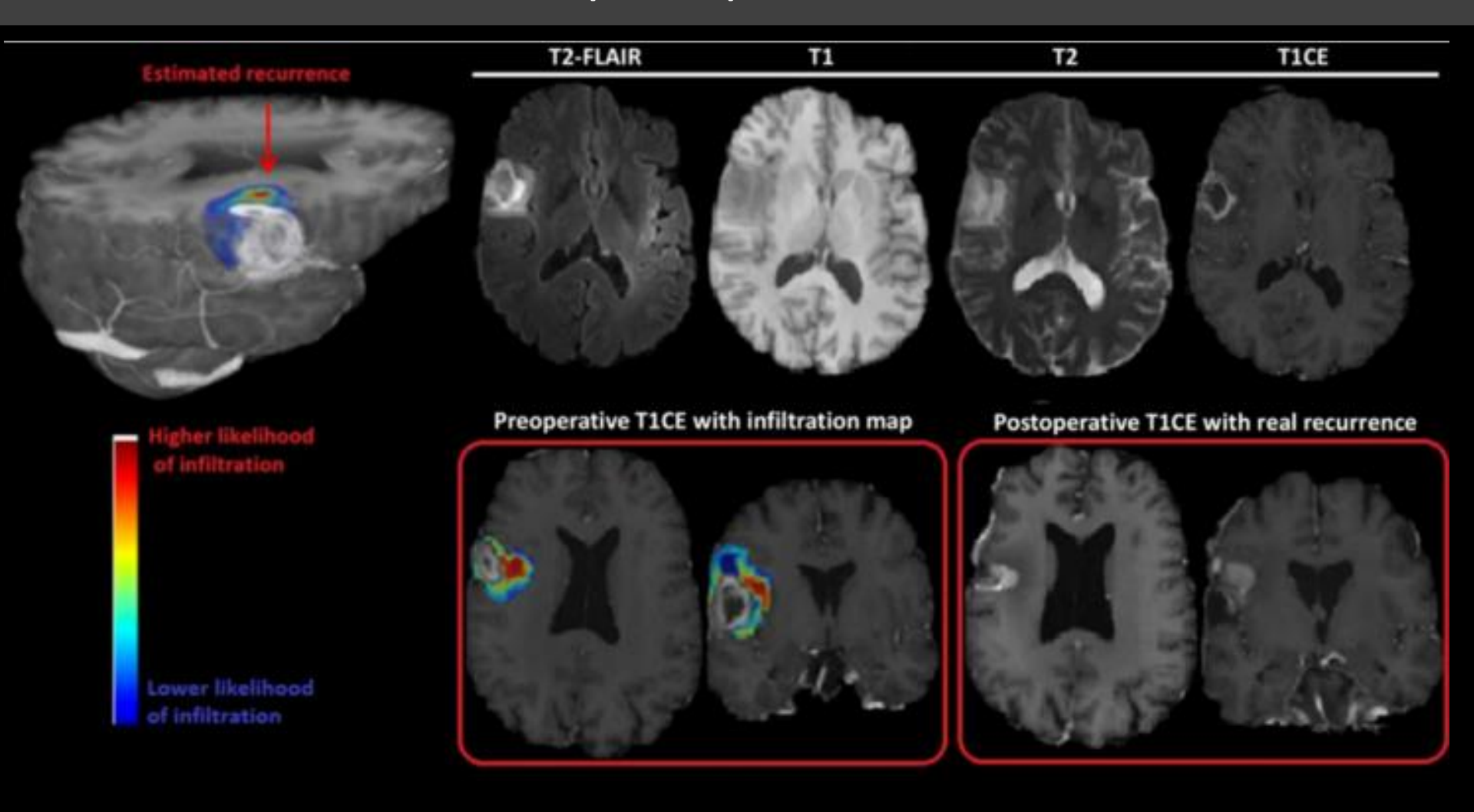
Plannification Thérapeutique



Plannification Thérapeutique



#### Plannification Thérapeutique



#### Théranostique

#### Exemple du Bevacizumab

- Bevacizumab
- Phase III (AVAglio, RTOG-0825, EORTC-26101)
- Absence de bénéfice sur population non sélectionnée
- Hétérogénéité des réponses
- AVAglio et RTOG 0825 : sous-type proneural ?
- Biomarqueur prédictif : sélection des patients

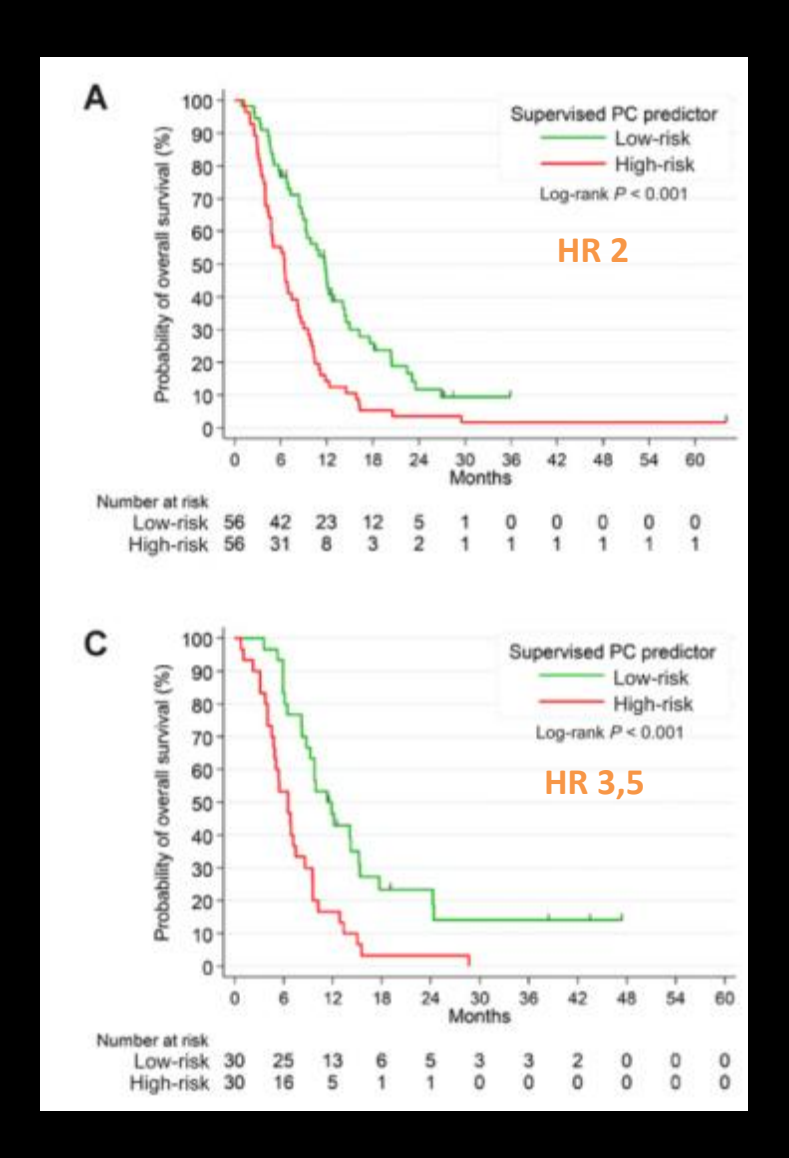
#### Théranostique

#### Exemple du Bevacizumab

Kickingereder et al. *Clin Cancer* 2016 Grossmann et al. *Neuro-Oncology* 2017

Absence =/= critères cliniques

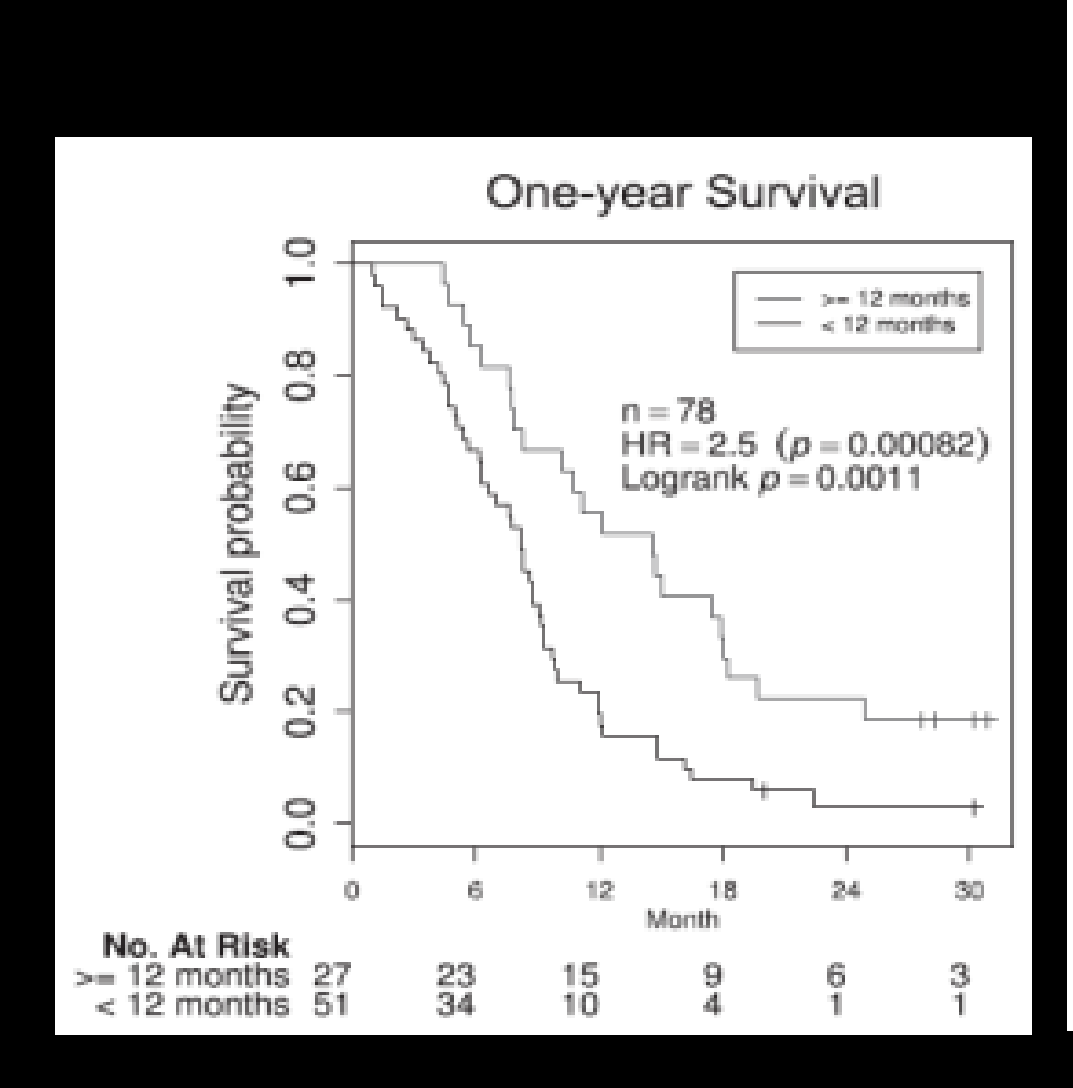
- Discovery vs validation
- H-R vs L-R
- Signature radiomique indépendante
- Bio-information nouvelle

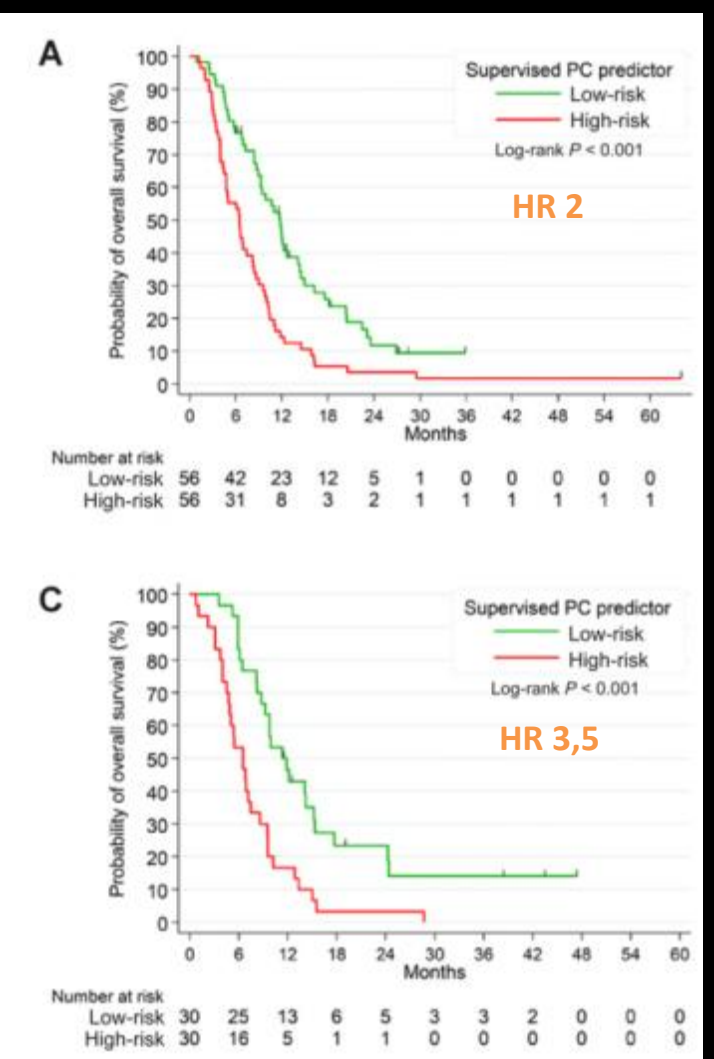


#### Théranostique

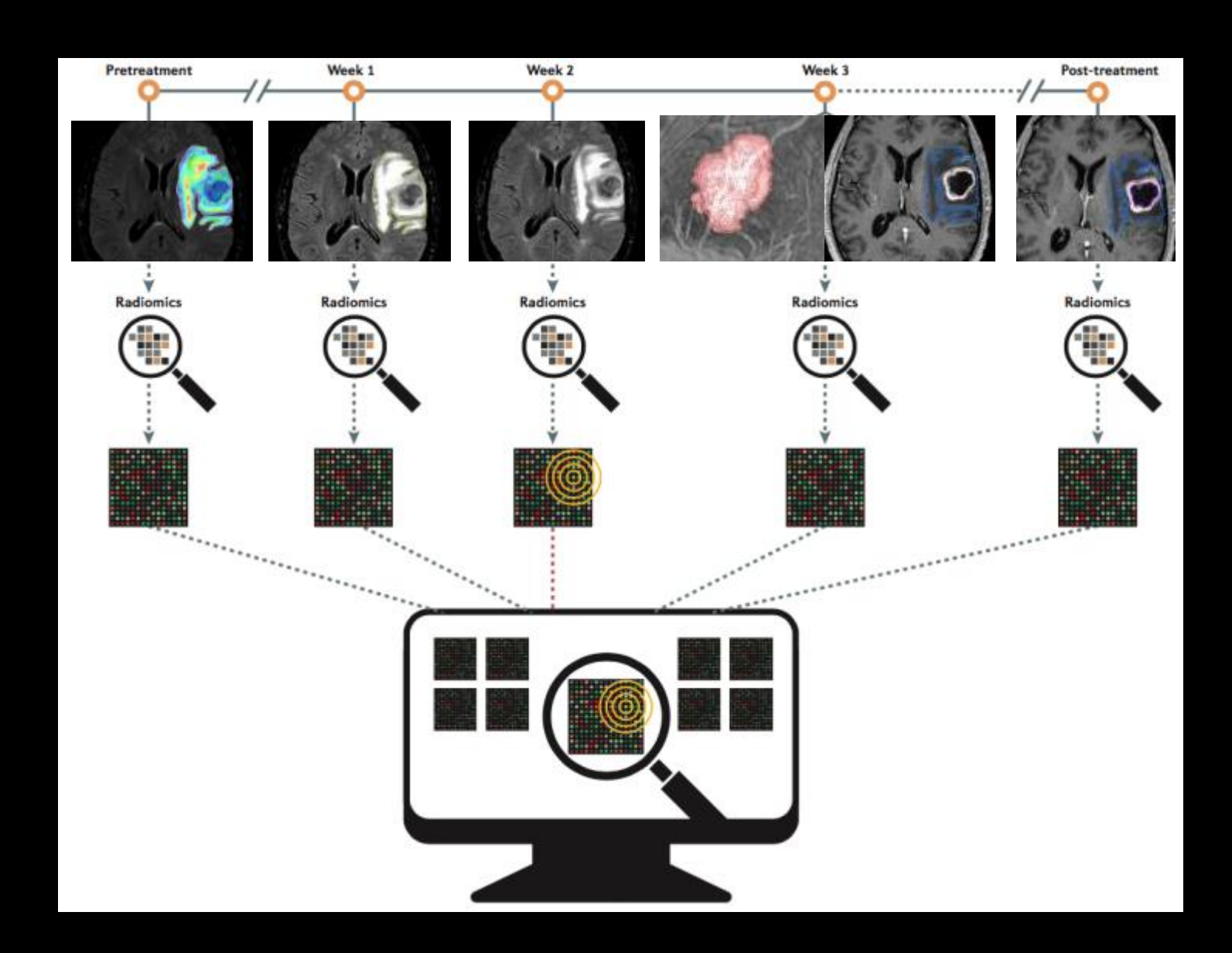
#### Exemple du Bevacizumab

Kickingereder et al. *Clin Cancer* 2016 Grossmann et al. *Neuro-Oncology* 2017





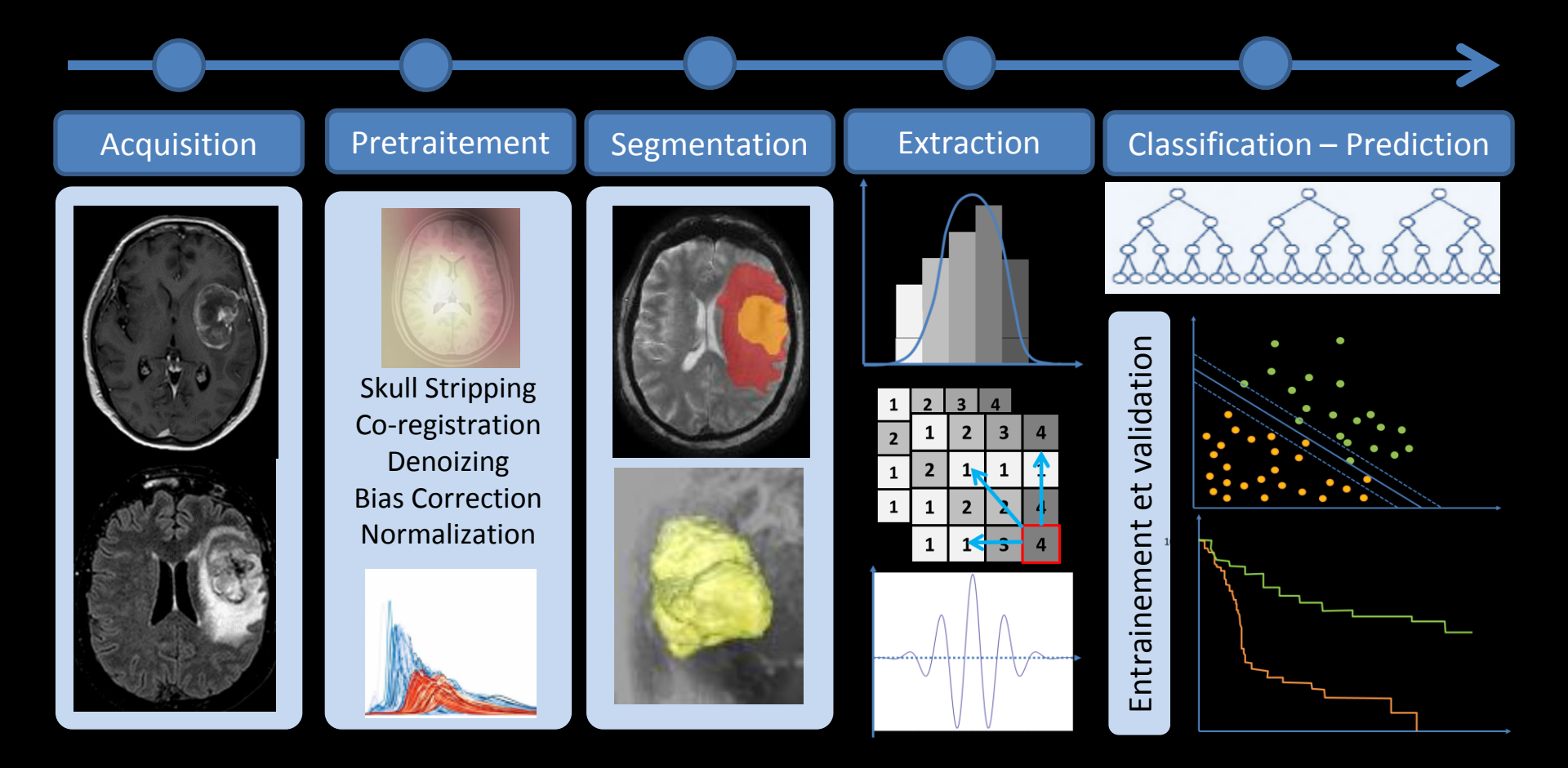
# **Δ-Radiomics**



#### Sommaire

- Contextualisation & Définitions
- Recherche et applications en Neuro-Oncologie
- "Worklow": Limites et solutions
- Synthèse

# General Worklow

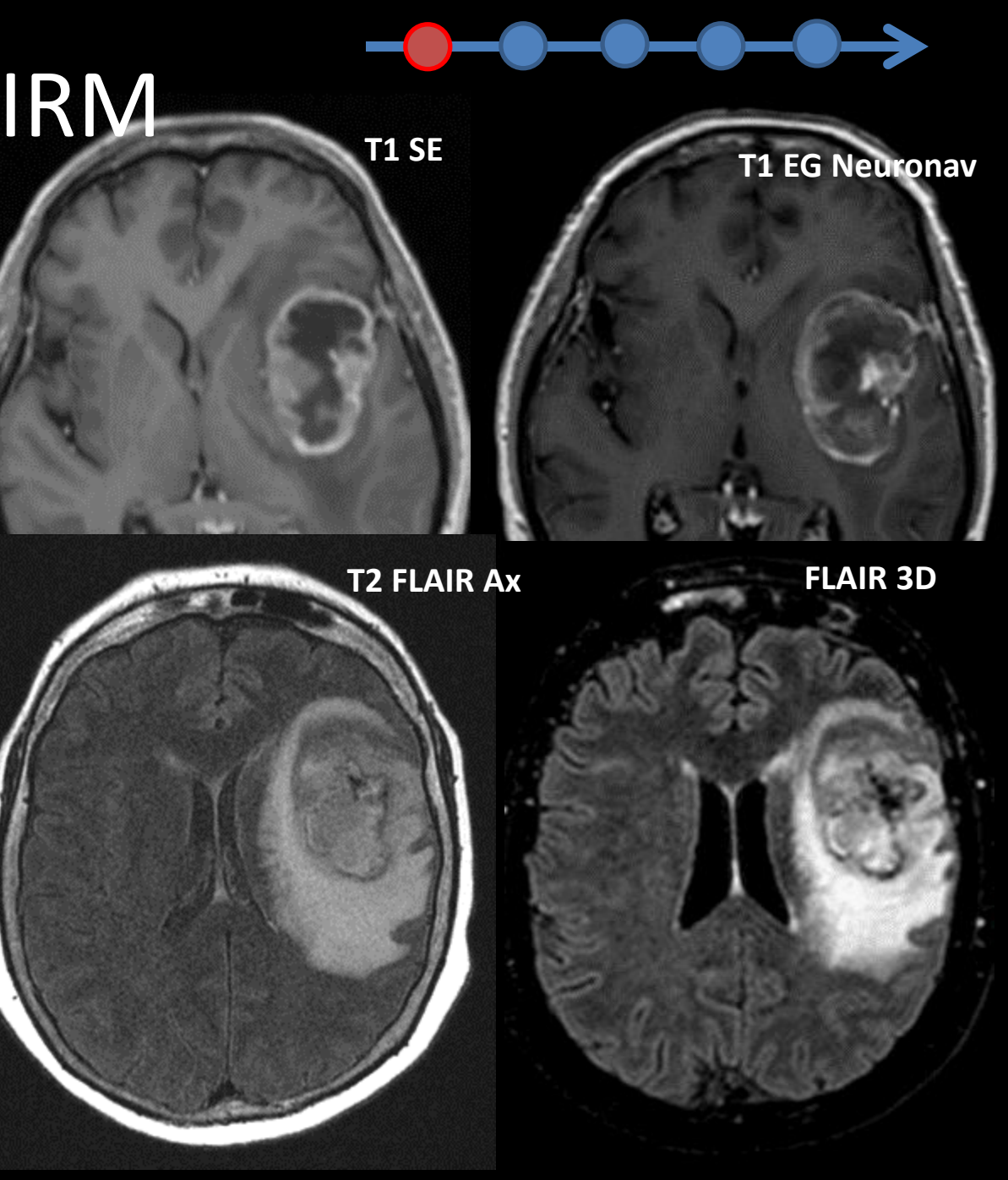


Acquisition: IRM

 Hétérogénéités de protocoles : standard, DSC, DWI, DTI ...

 Paramètres des séquences : TE, TR, FOV, angle, épaisseur de coupe...

 Intensité de champ magnétique





## Acquisition: IRM

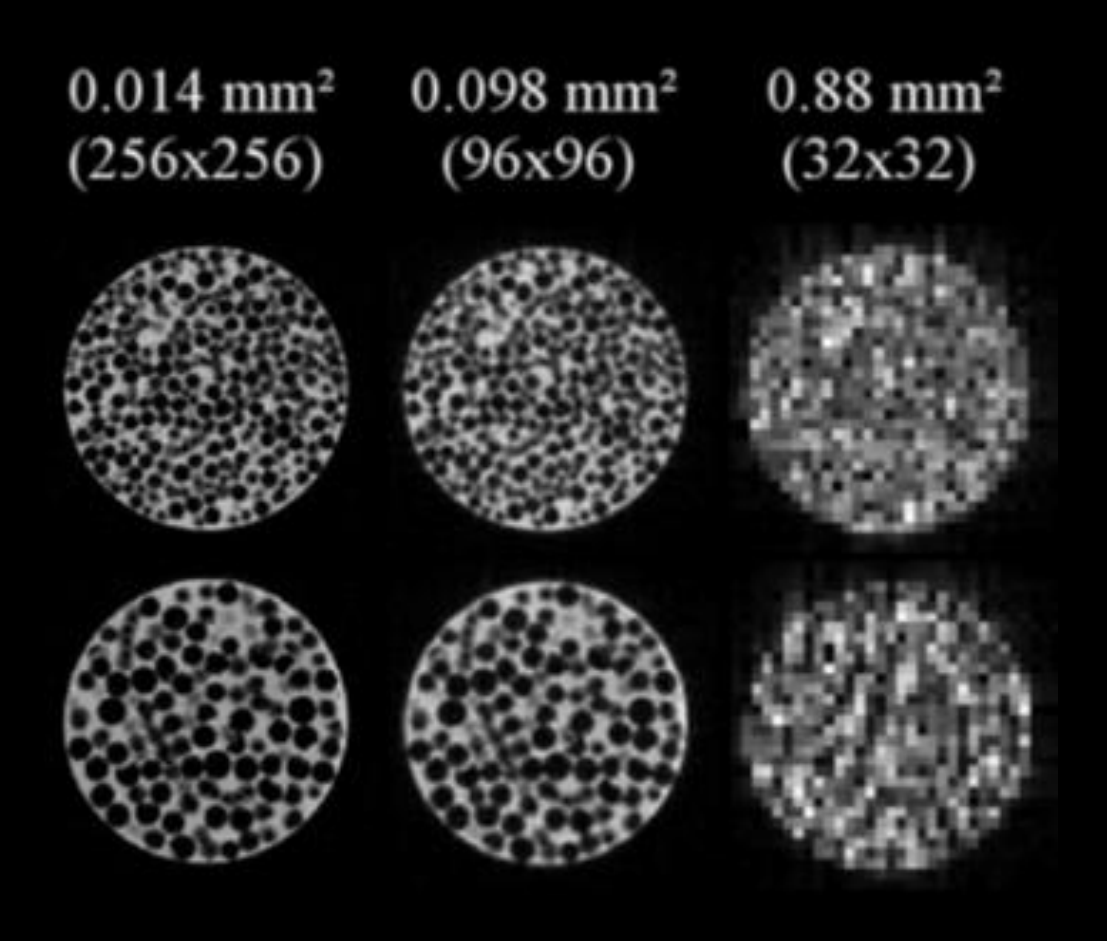
- Hétérogénéités de protocoles : standard, DSC, DWI, DTI ...
- Paramètres des séquences : TE, TR, FOV, angle, épaisseur de coupe...
- Intensité de champ magnétique



#### Acquisition: IRM

- Hétérogénéités de protocoles : standard, DSC, DWI, DTI ...
- Paramètres des séquences : TE, TR, FOV, angle, épaisseur de coupe... taille voxel
- Intensité de champ magnétique

# Pixel size (matrix size)



#### Acquisition: IRM



Hétérogénéités de

protocoles: standard,

DSC, DWI, DTI ...

Consensus recommendations for a standardized Brain Tumor Imaging
Protocol in clinical trials
2015

Paramètres des

séquences: TE, TR,

FOV, angle, épaisseur de

coupe... taille voxel

 Intensité de champ magnétique

Intensités arbitraires



**Normalisation** 

Distorsion spatiale

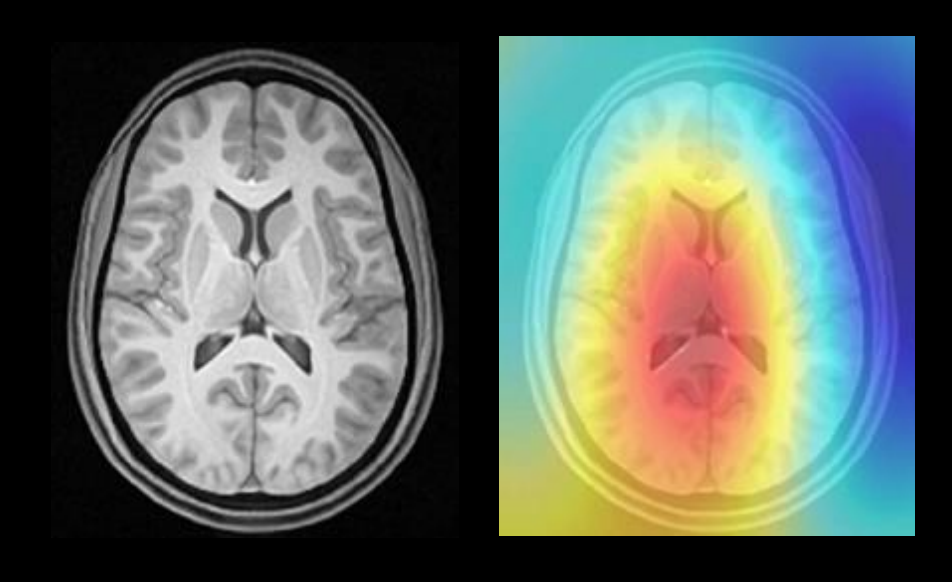


Coregistration

#### Pre-Processing



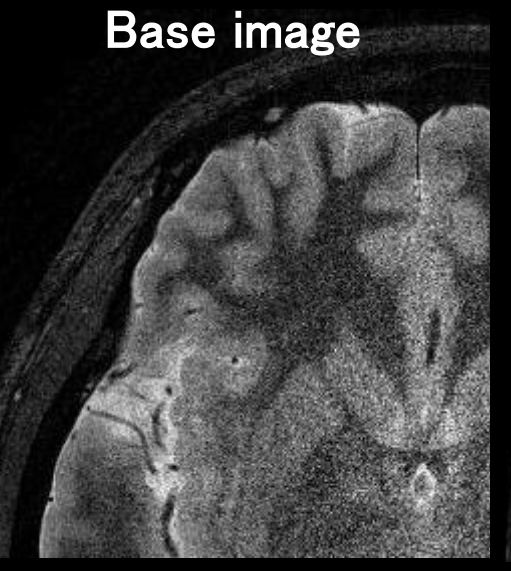
- Skull-stripping
- Co-registration
- Bias Correction (N4ITK)
- Denoizing
- Normalization
   (White Stripe ++)

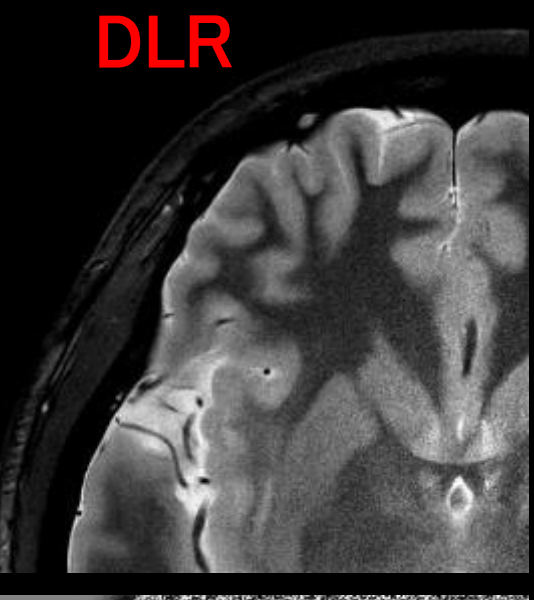




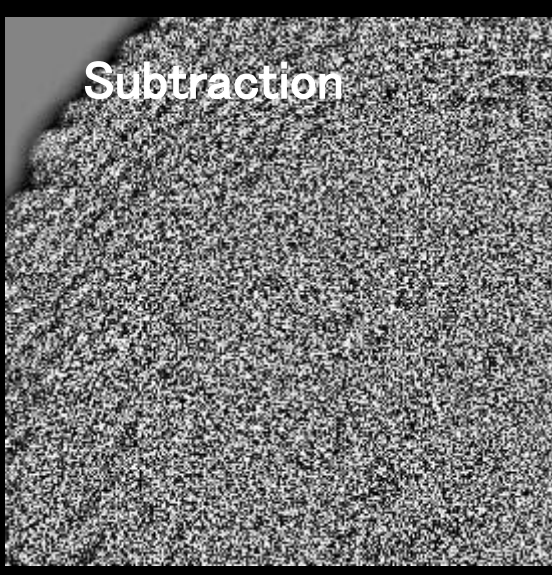
#### Pre-Processing

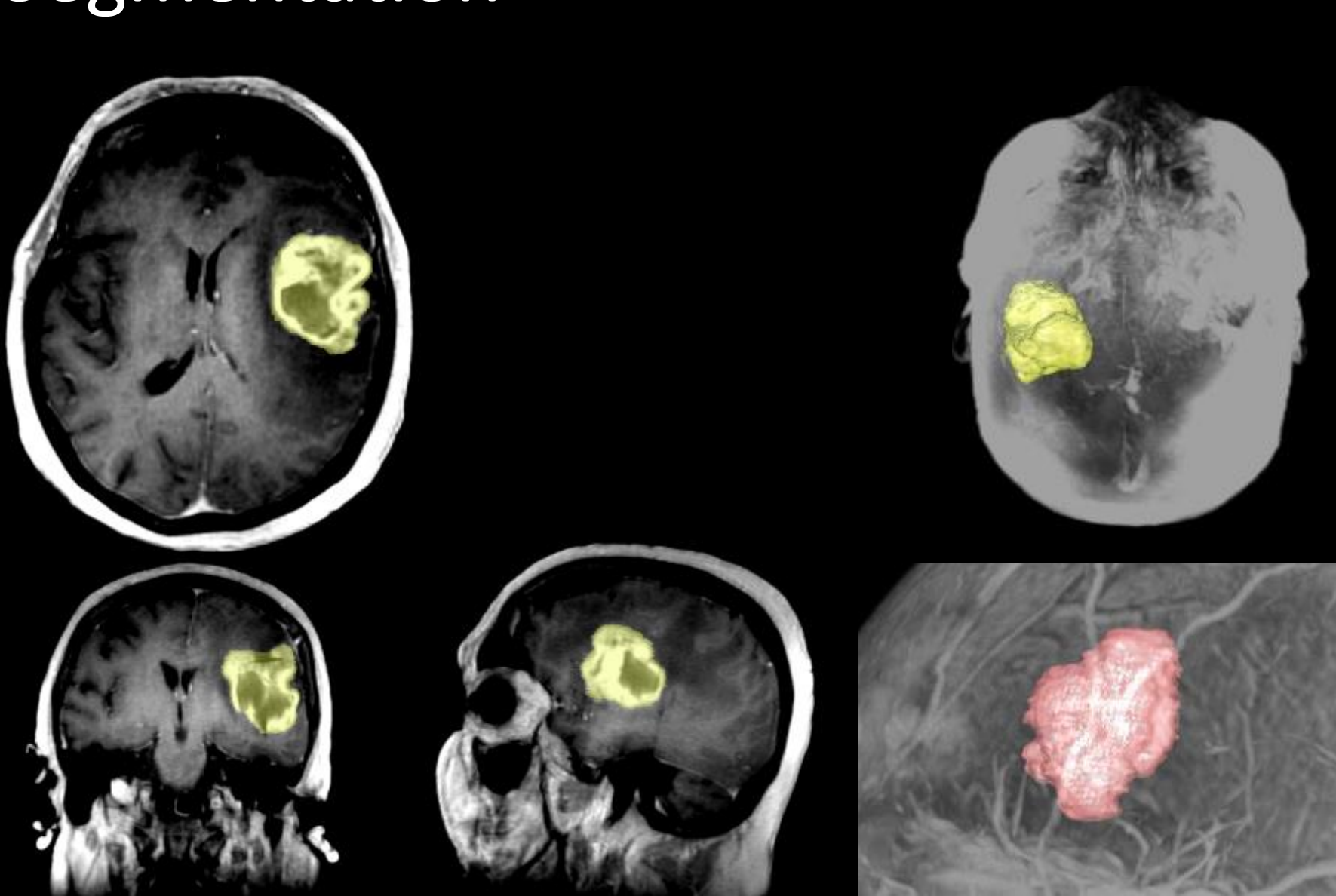
- Skull-stripping
- Co-registration
- Bias Correction (N4ITK)
- Denoizing
- Normalization(White Stripe ++)

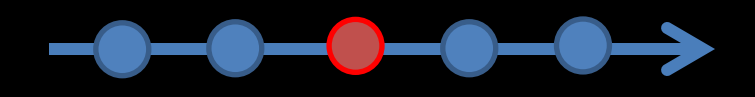


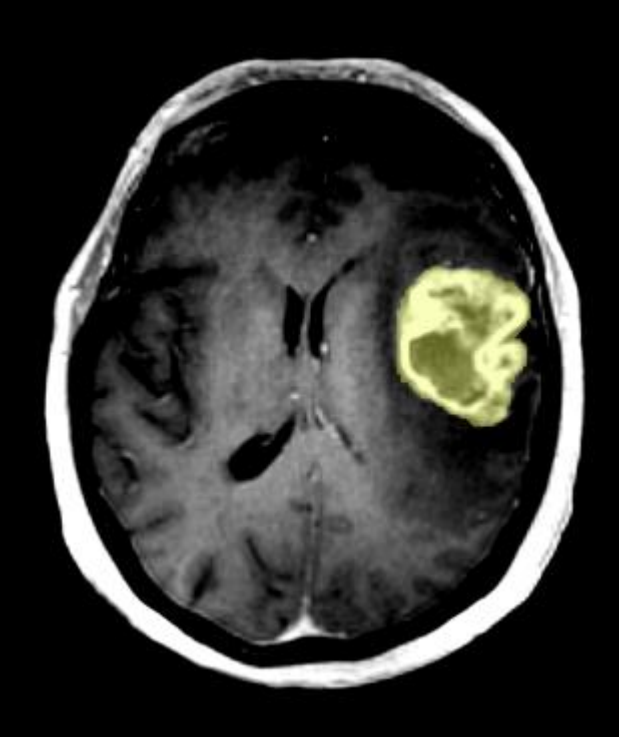


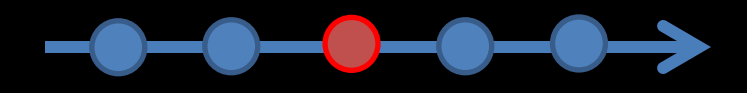


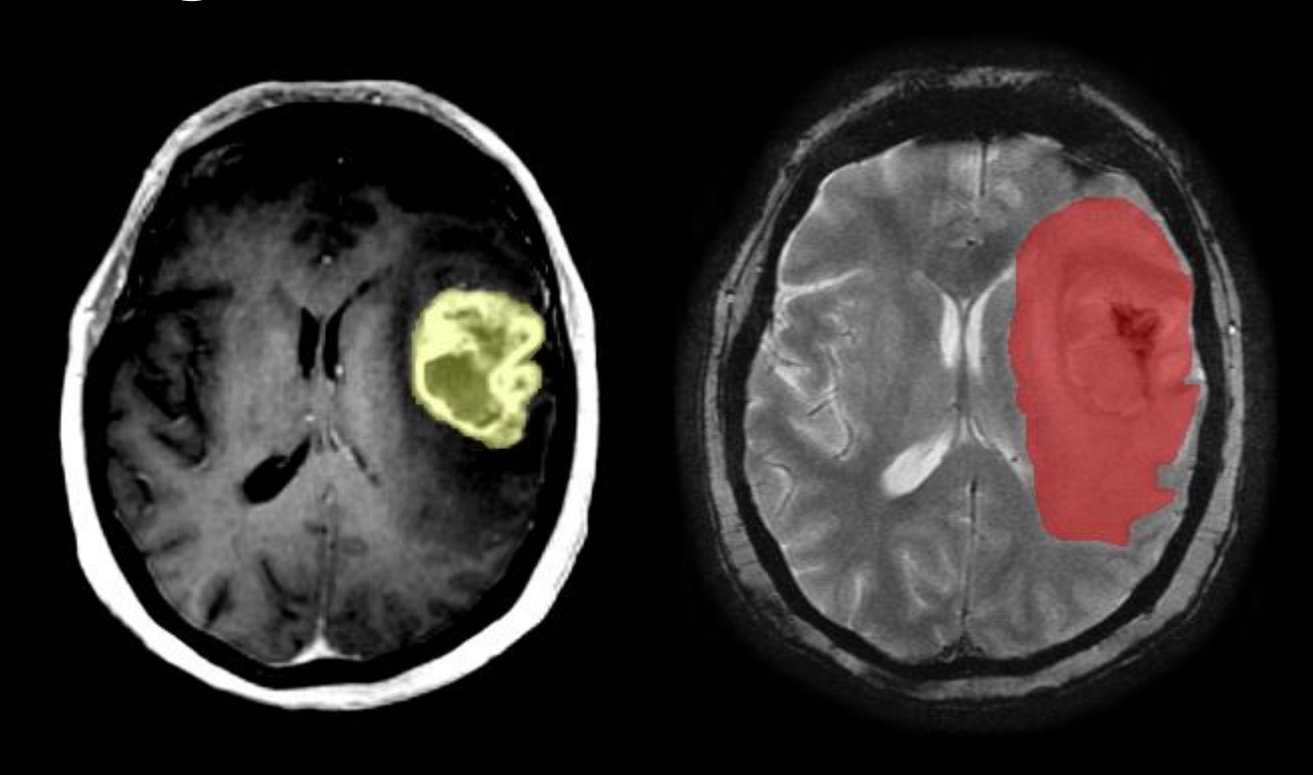


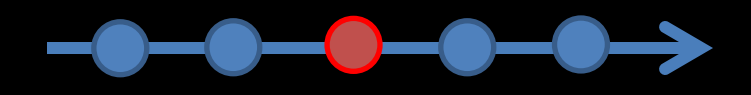


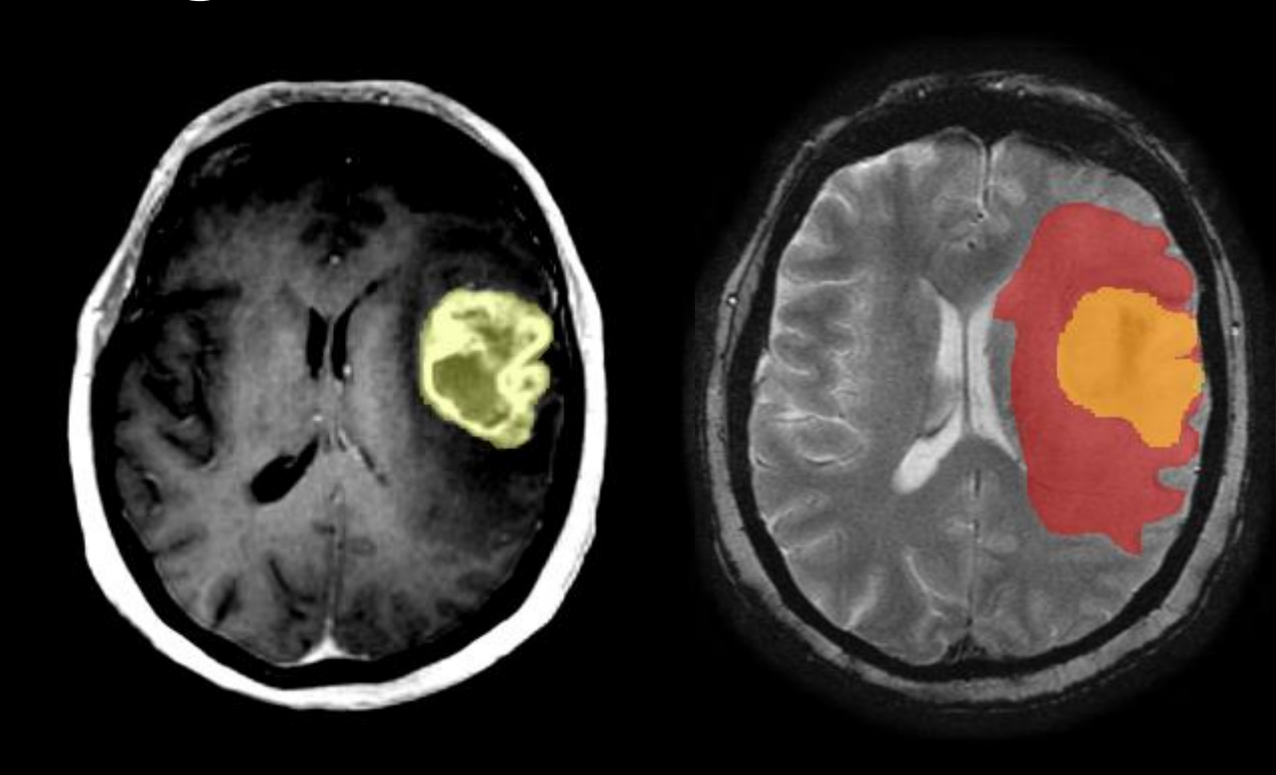


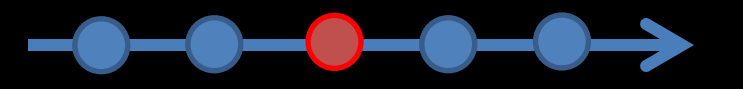


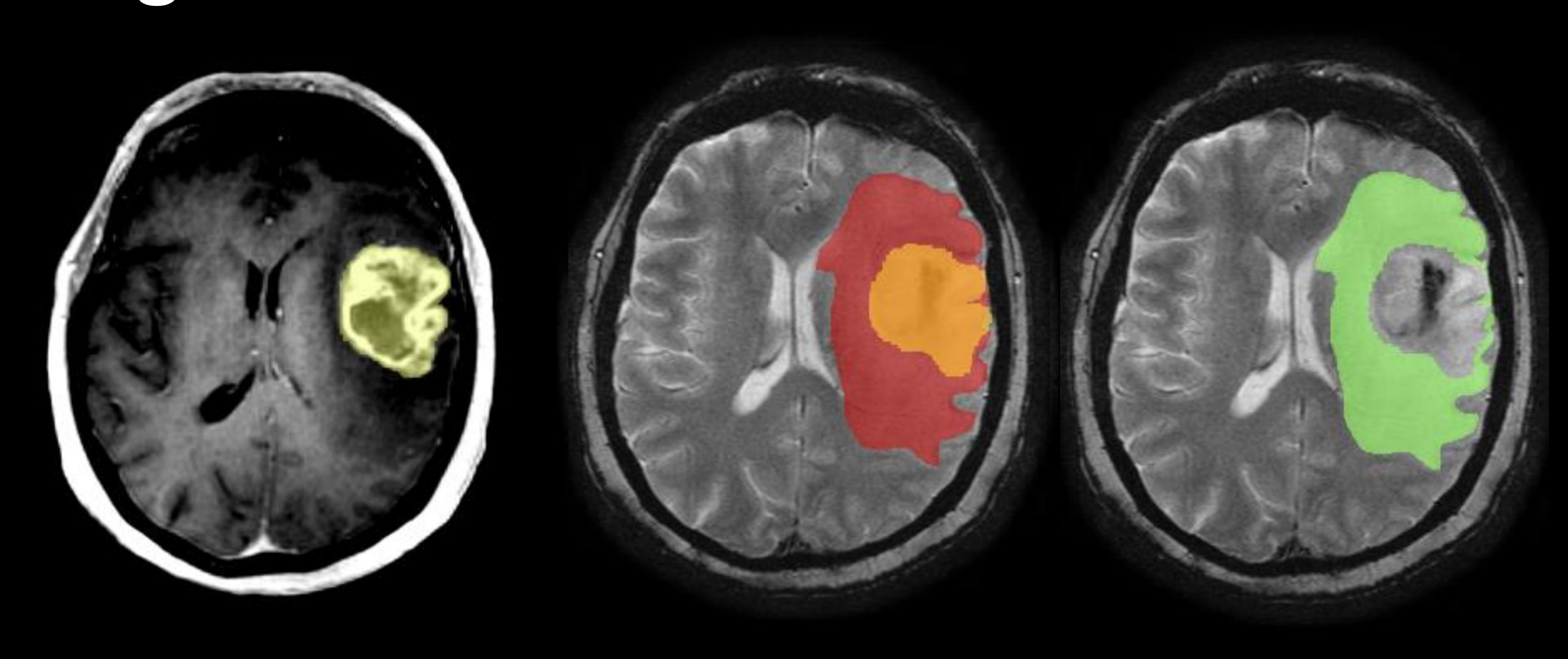












- Manuelle
- Automatique
- Semi-automatique

	50% SUVmax 40% SUVmax		JVmax	FLAB	
		C		C	)
PET feature	Value	Value	Change	Value	Change
Volume	26.59	34.61	+30%	40.36	+51%
Entropy	3.64	3.89	+7%	3.98	+10%
Total energy	4.72 · 104	5.28 · 10 <sup>4</sup>	+12%	5.57 - 104	+18%
Homogeneity	0.29	0.25	-12%	0.24	-17%
Dissimilarity	2.97	3.60	+21%	3.95	+33%
Zone percentage	0.35	0.39	+9%	0.39	+10%
Size-zone variability	0.36	0.38	+6%	0.38	+4%
Intensity variability	0.09	0.08	-15%	0.07	-18%

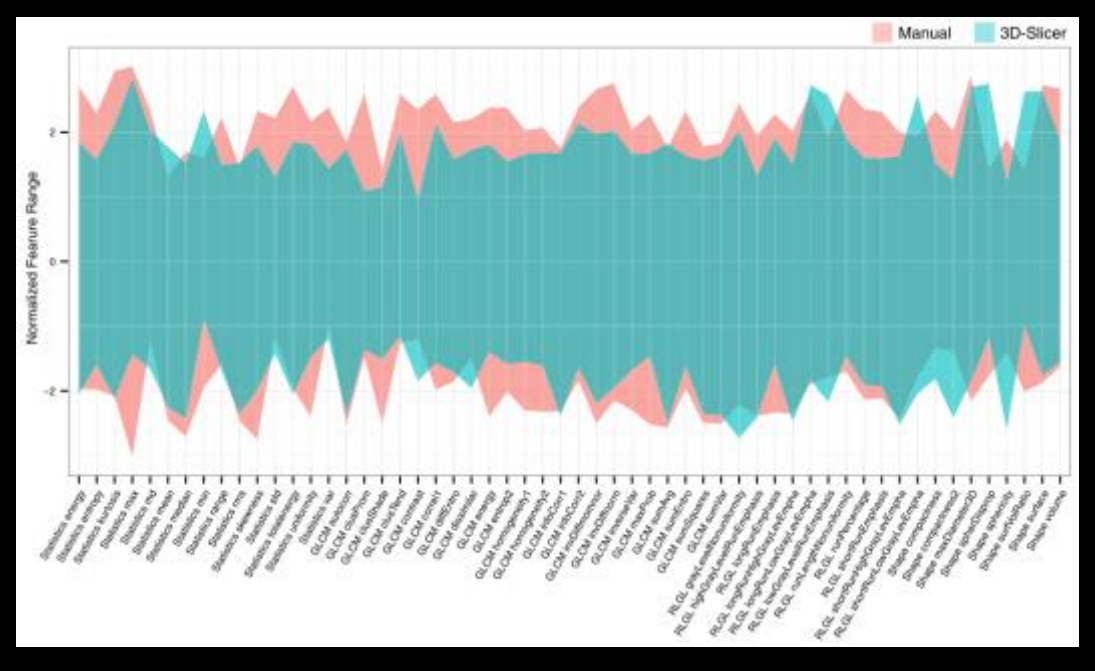
Lerue et Defraene. 2017

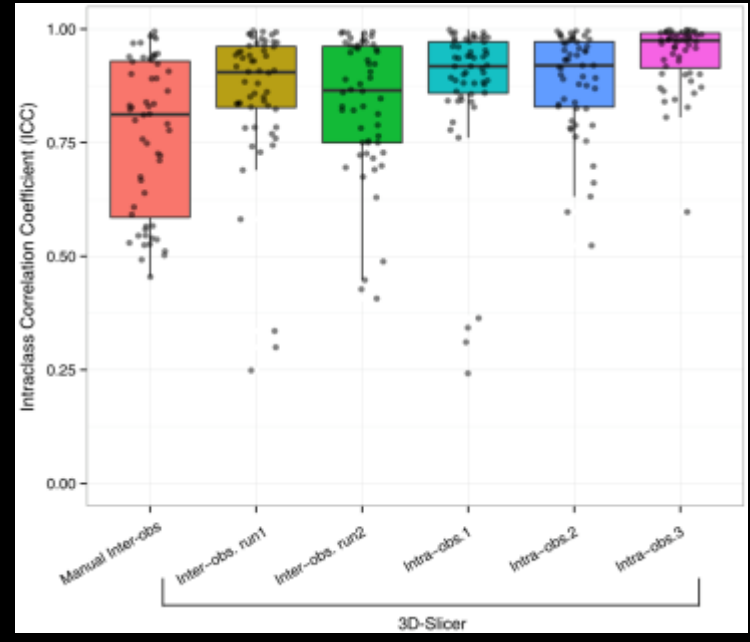
- Manuelle
- Automatique
- Semi-automatique

	50% SUVmax	40% SUVmax		FLAB	
		C		C	
PET feature	Value	Value	Change	Value	Change
Volume	26.59	34.61	+30%	40.36	+51%
Entropy	3.64	3.89	+7%	3.98	+10%
Total energy	4.72 · 104	5.28 · 10 <sup>4</sup>	+12%	5.57 - 104	+18%
Homogeneity	0.29	0.25	-12%	0.24	-17%
Dissimilarity	2.97	3.60	+21%	3.95	+33%
Zone percentage	0.35	0.39	+9%	0.39	+10%
Size-zone variability	0.36	0.38	+6%	0.38	+4%
Intensity variability	0.09	0.08	-15%	0.07	-18%

Lerue et Defraene. 2017

Parmar et al. 2014





#### Extraction

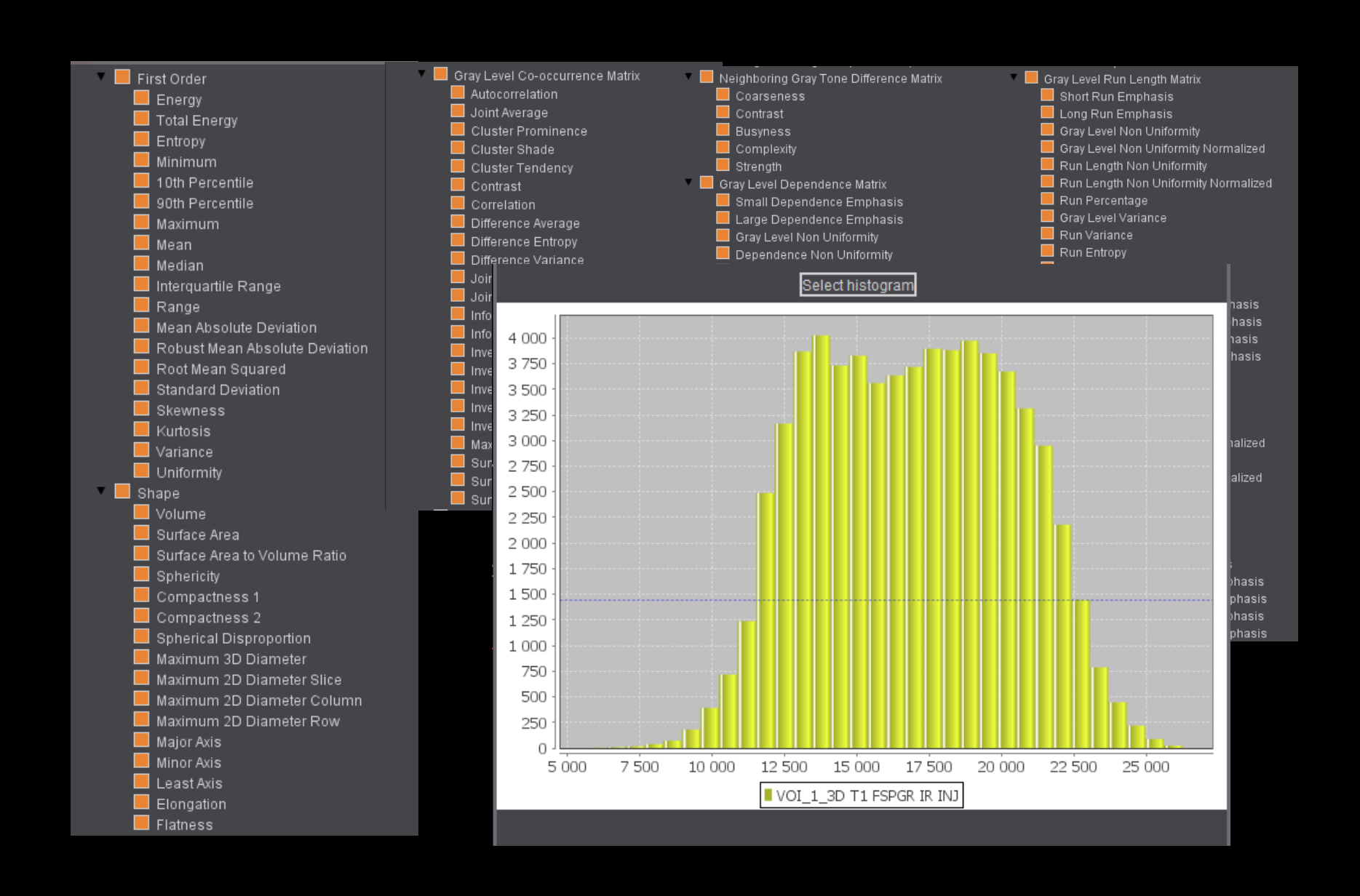
Least Axis
Elongation
Flatness



First Order	Gray Level Co-occurrence Matrix	Neighboring Gray Tone Difference Matrix	. Gray Level Run Length Matrix
Energy	Autocorrelation	Coarseness	Short Run Emphasis
☐ Total Energy	Joint Average	Contrast	Long Run Emphasis
Entropy	Cluster Prominence	Busyness	Gray Level Non Uniformity
Minimum	Cluster Shade	Complexity	Gray Level Non Uniformity Normalized
	Cluster Tendency	Strength	Run Length Non Uniformity
10th Percentile	Contrast	Gray Level Dependence Matrix	Run Length Non Uniformity Normalized
90th Percentile	Correlation	Small Dependence Emphasis	Run Percentage Grav Level Variance
Maximum	Difference Average	Large Dependence Emphasis	Run Variance
Mean	Difference Entropy	Gray Level Non Uniformity	Run Entropy
Median	Difference Variance	<ul> <li>Dependence Non Uniformity</li> <li>Dependence Non Uniformity Normalized</li> </ul>	Low Gray Level Run Emphasis
☐ Interguartile Range	Joint Energy	Gray Level Variance	High Gray Level Run Emphasis
Range	Joint Entropy	Dependence Variance	Short Run Low Gray Level Emphasis
Mean Absolute Deviation	Informal Measure of Correlation 1	Dependence Variance  Dependence Entropy	Short Run High Gray Level Emphasis
_	Informal Measure of Correlation 2	Low Gray Level Emphasis	Long Run Low Gray Level Emphasis
Robust Mean Absolute Deviation	Inverse Difference Moment	High Gray Level Emphasis	Long Run High Gray Level Emphasis
Root Mean Squared	Inverse Difference Moment Normali:	Small Dependence Low Gray Level Emphasis	Gray Level Size Zone Matrix
Standard Deviation	Inverse Difference	Small Dependence High Gray Level Emphasis	Small Area Emphasis
Skewness	Inverse Difference Normalized	Large Dependence Low Gray Level Emphasis	Large Area Emphasis
Kurtosis	Inverse Variance	Large Dependence High Gray Level Emphasis	Gray Level Non Uniformity
Variance	Maximum Probability		Gray Level Non Uniformity Normalized
Uniformity	Sum Average		Size Zone Non Uniformity
Shape	Sum Entropy		<ul> <li>Size Zone Non Uniformity Normalized</li> <li>Zone Percentage</li> </ul>
Volume	Sum of Squares	_	Gray Level Variance
Surface Area			Zone Variance
=			Zone Entropy
Surface Area to Volume Ratio			Low Gray Level Zone Emphasis
Sphericity			Small Area Low Gray Level Emphasis
Compactness 1			Small Area High Gray Level Emphasis
Compactness 2			Large Area Low Gray Level Emphasis
Spherical Disproportion			Large Area High Gray Level Emphasis
Maximum 3D Diameter			
Maximum 2D Diameter Slice			
Maximum 2D Diameter Column			
Maximum 2D Diameter Row			
Major Axis			
Minor Axis			

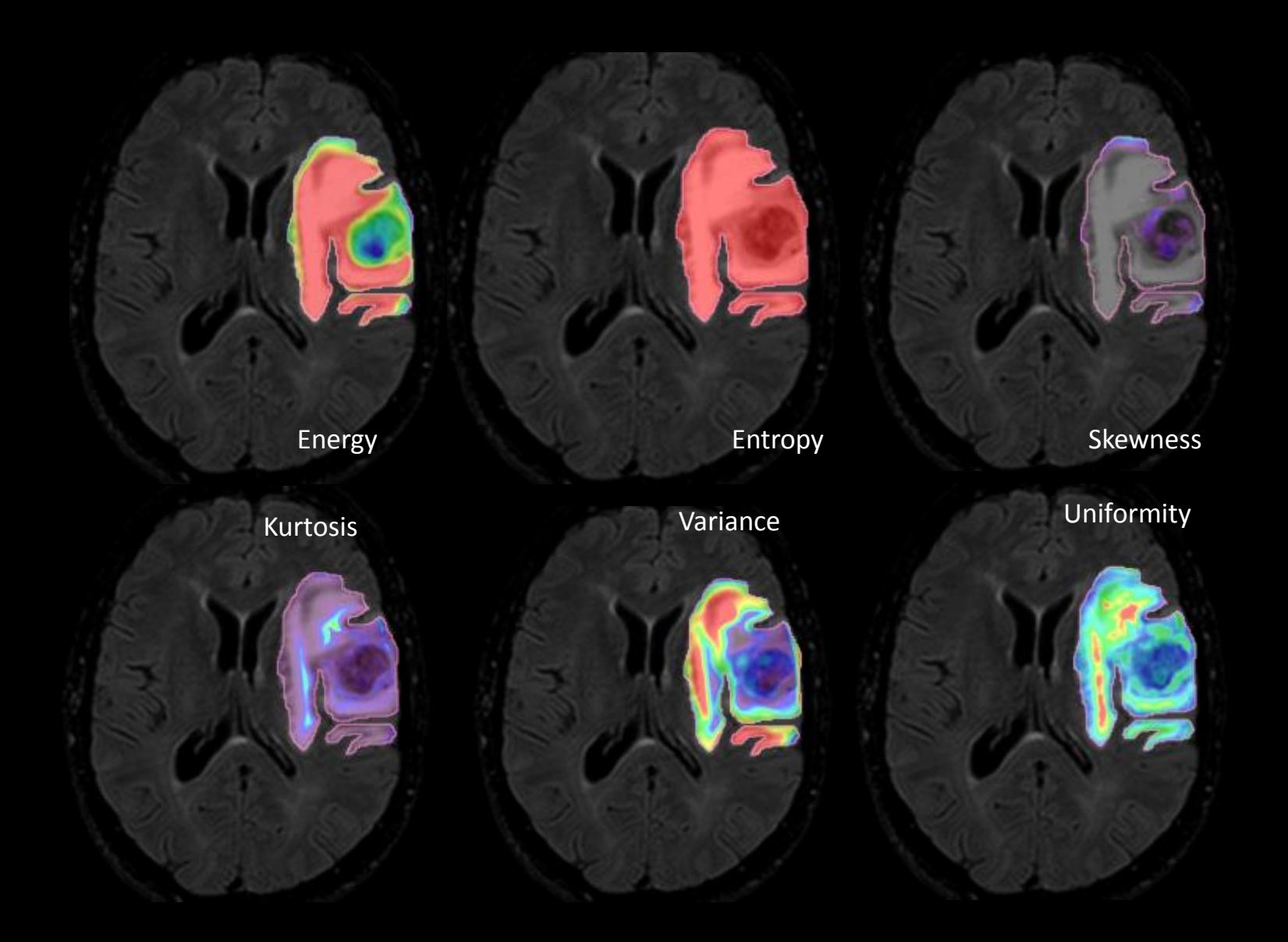
#### Extraction





#### Extraction





### DataManagement

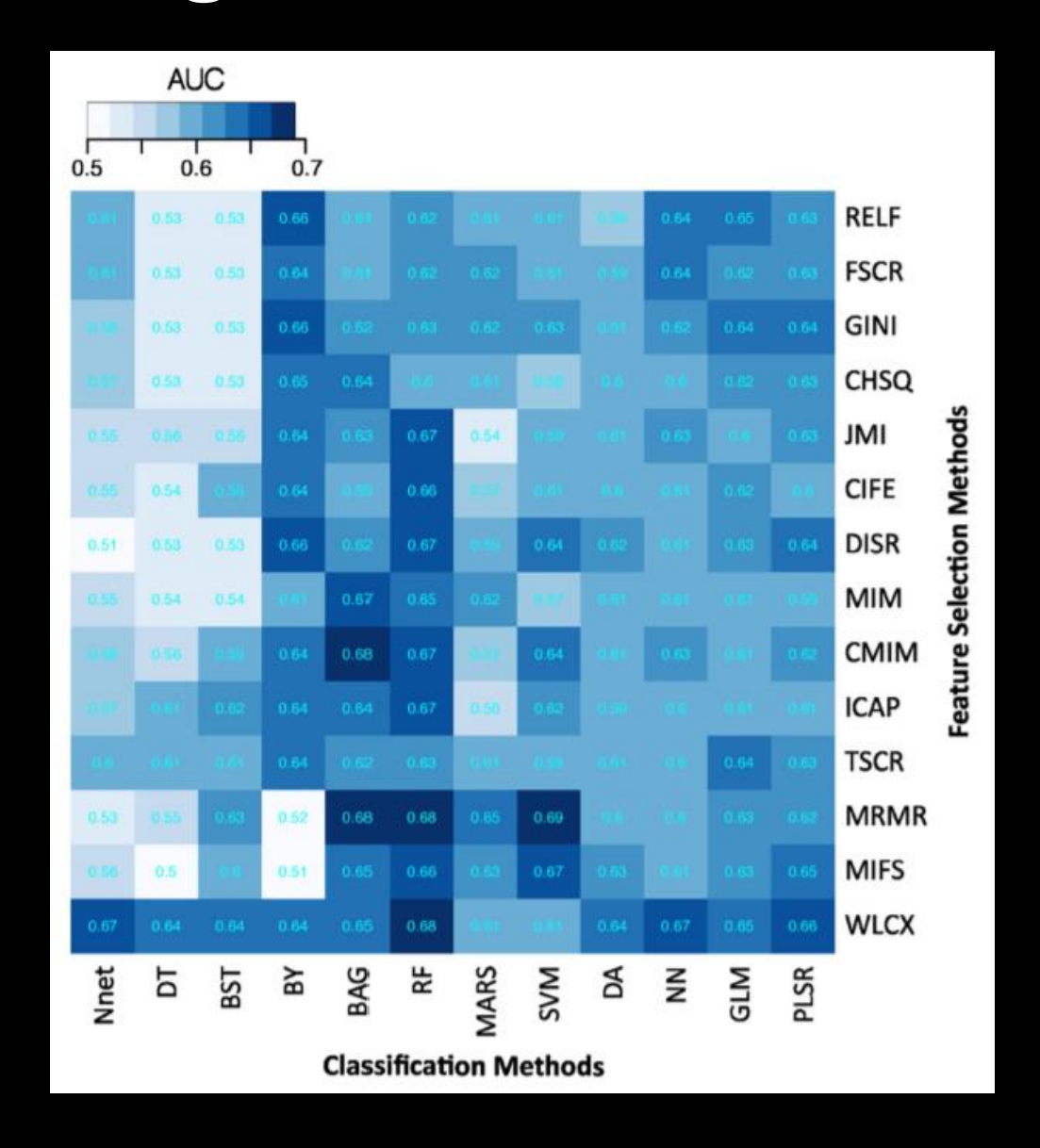


Feature Selection method acronym	Feature selection method name
RELF	Relief
FSCR	Fisher score
GINI	Gini index
CHSQ	Chi-square score
JMI	Joint mutual information
CIFE	Conditional infomax feature extraction
DISR	Double input symmetric relevance
MIM	Mutual information maximization
CMIM	Conditional mutual information maximization
ICAP	Interaction capping
TSCR	T-test score
MRMR	Minimum redundancy maximum relevance
MIFS	Mutual information feature selection
WLCX	Wilcoxon

Classification method acronym	Classification method name
Nnet	Neural network
DT	Decision Tree
BST	Boosting
BY	Bayesian
BAG	Bagging
RF	Random Forset
MARS	Multi adaptive regression splines
SVM	Support vector machines
DA	Discriminant analysis
NN	Neirest neighbour
GLM	Generalized linear models
PLSR	Partial least squares and prinicipal componenet regression

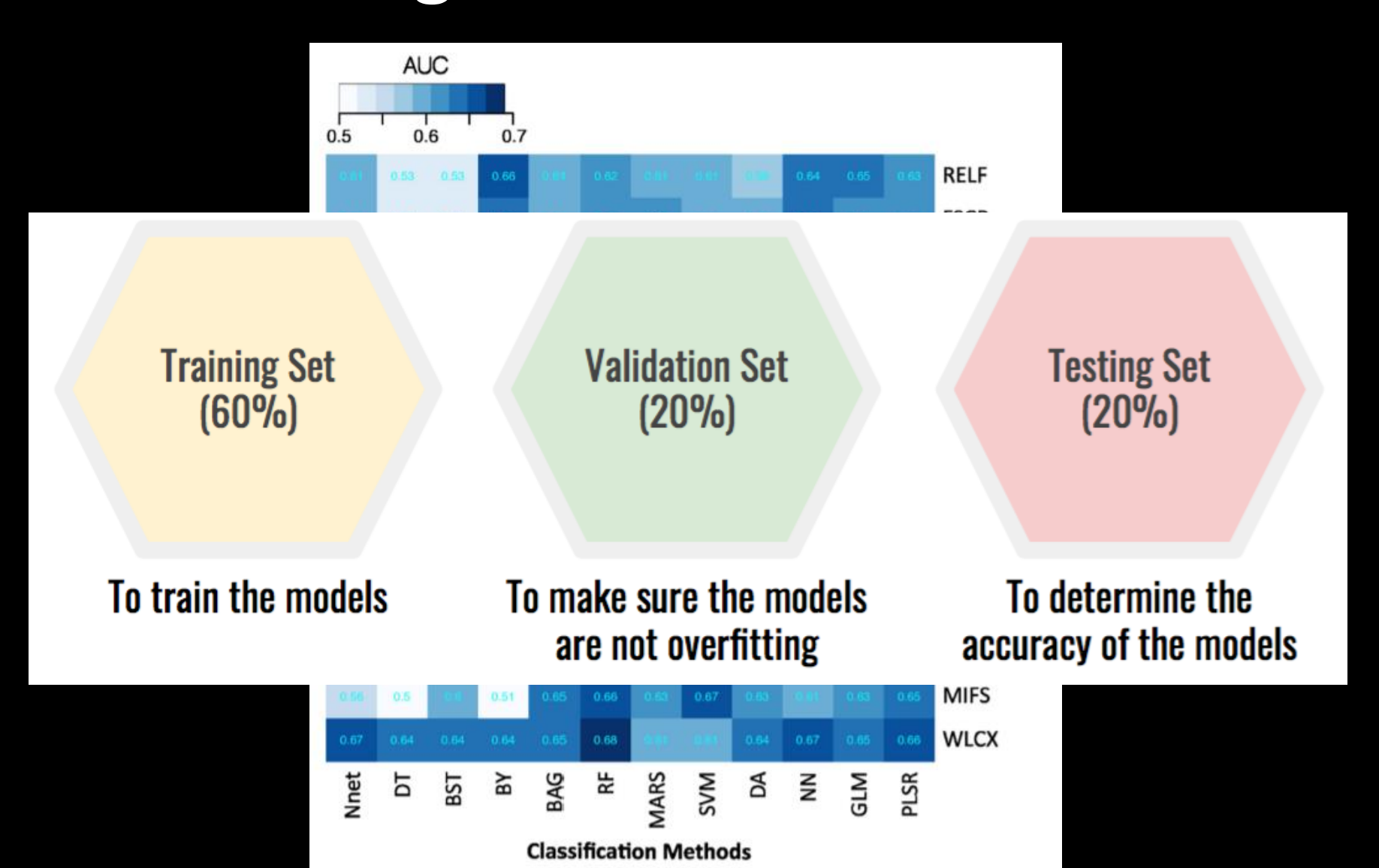
### DataManagement



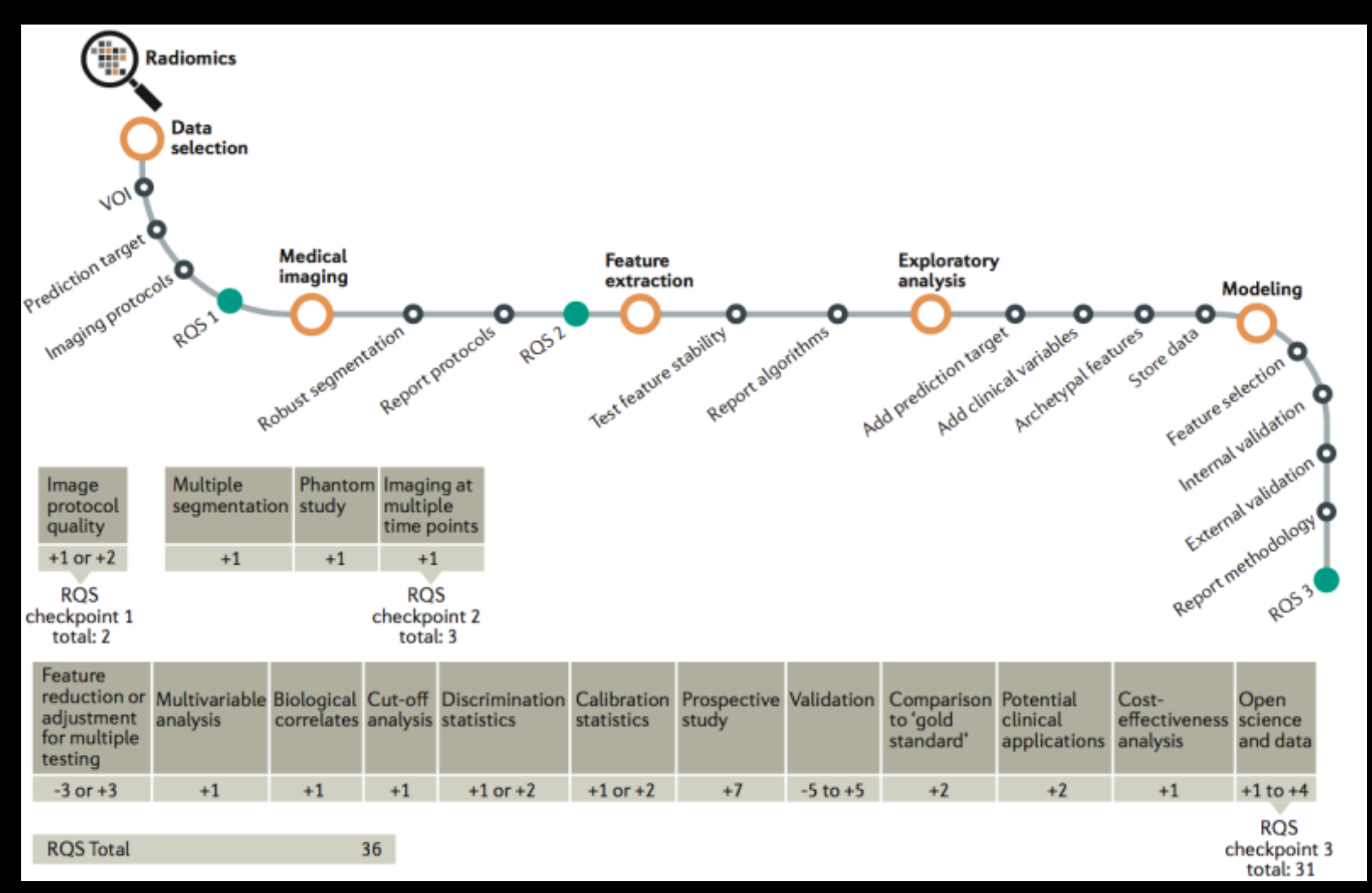


#### DataManagement





#### Limites?



## Radiomics

## HYPE or HOPE?

## Radiomics

## HYPE or HOPE?

